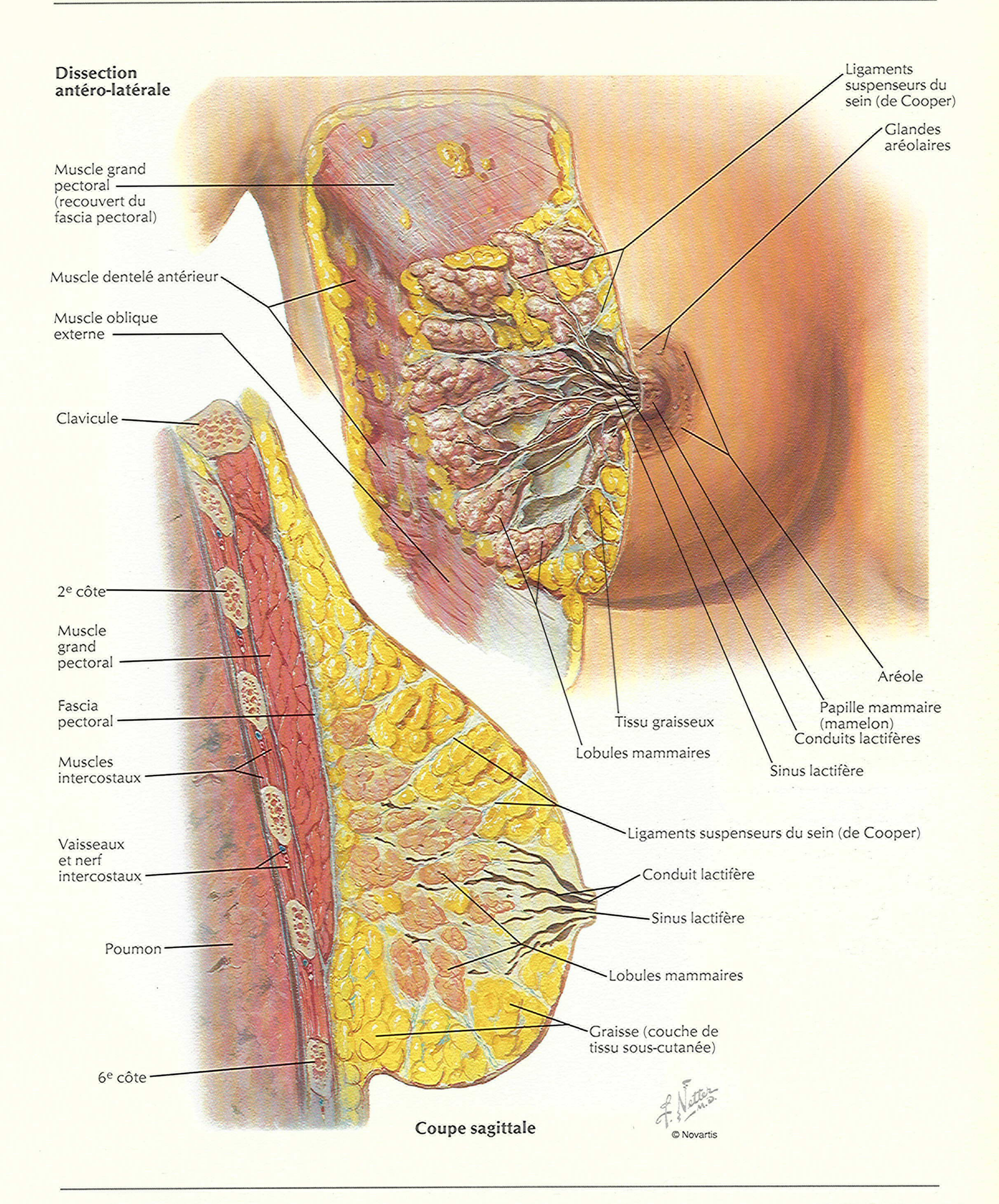
Section III

THORAX

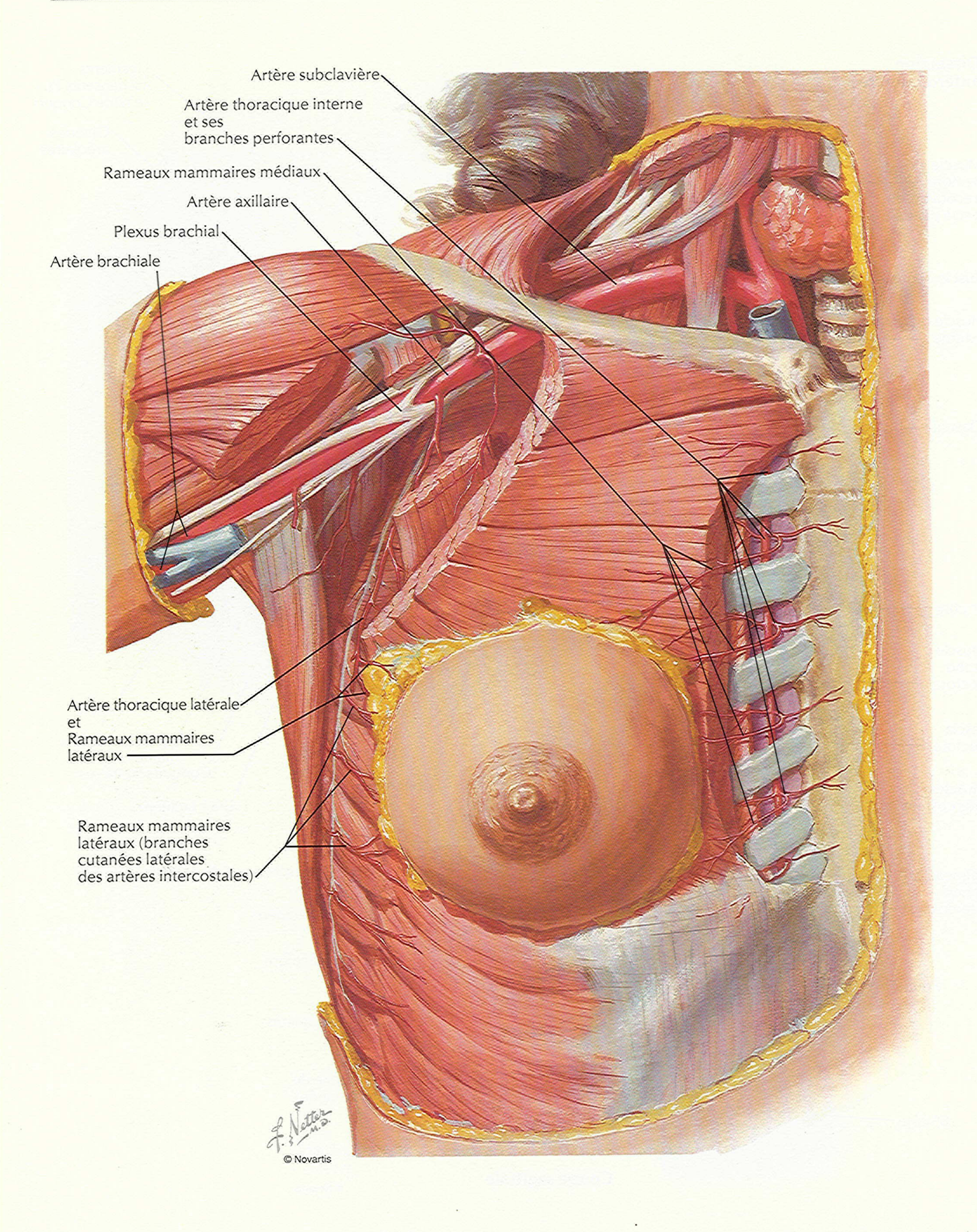
Pour accéder à la page 170 par exemple, tapez 170 - 164 = 6 dans la fenêtre du bas où figurent le N° de page et Validez

CŒUR
Planches 200 – 217

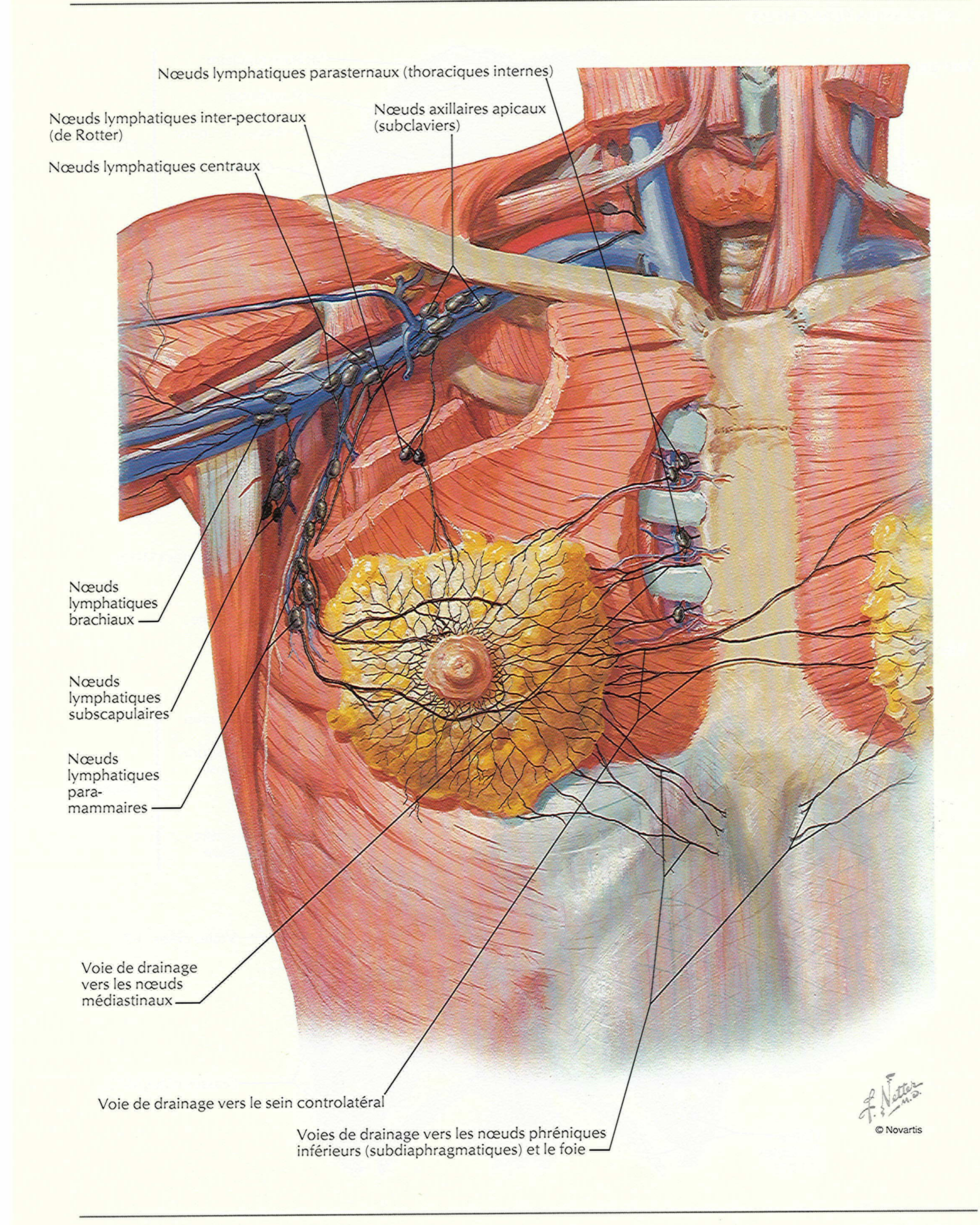
MÉDIASTIN
Planches 218 – 230


Dissection antéro-latérale
Muscle grand pectoral (recouvert du fascia pectoral)
Muscle dentelé antérieur
Muscle oblique externe
Clavicule
Ligaments suspenseurs du sein (de Cooper)
Glandes aréolaires
Aréole
Papille mammaire (mamelon)
Conduits lactifères
Sinus lactifère
Tissu graisseux
Lobules mammaires
2e côte
Muscle grand pectoral
Fascia pectoral
Muscles intercostaux
Vaisseaux et nerf intercostaux
Poumon
6e côte
Ligaments suspenseurs du sein (de Cooper)
Conduit lactifère
Sinus lactifère
Lobules mammaires
Graisse (couche de tissu sous-cutanée)
Coupe sagittale
F. Netter M.D.
© Novartis

Artères de la glande mammaire

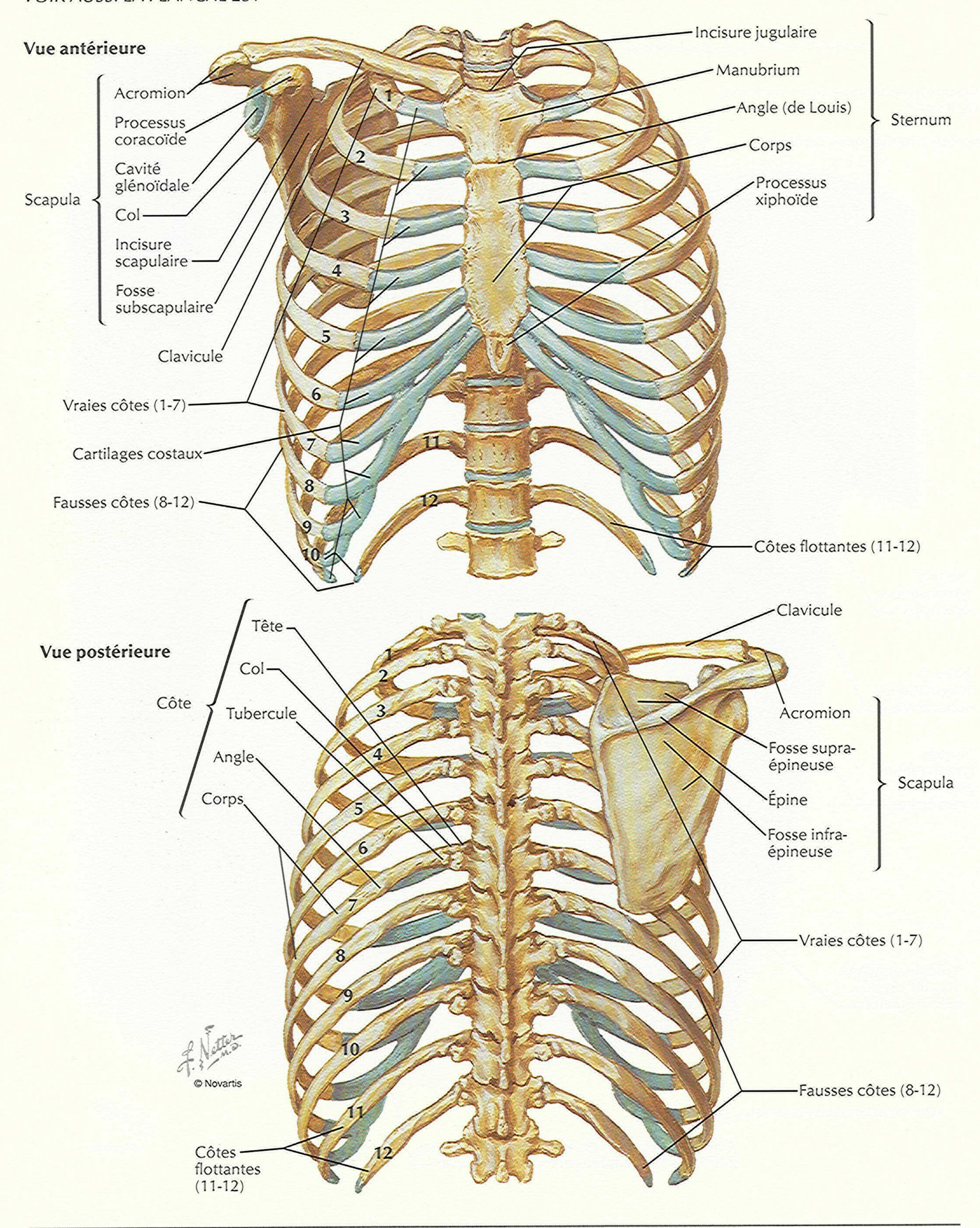


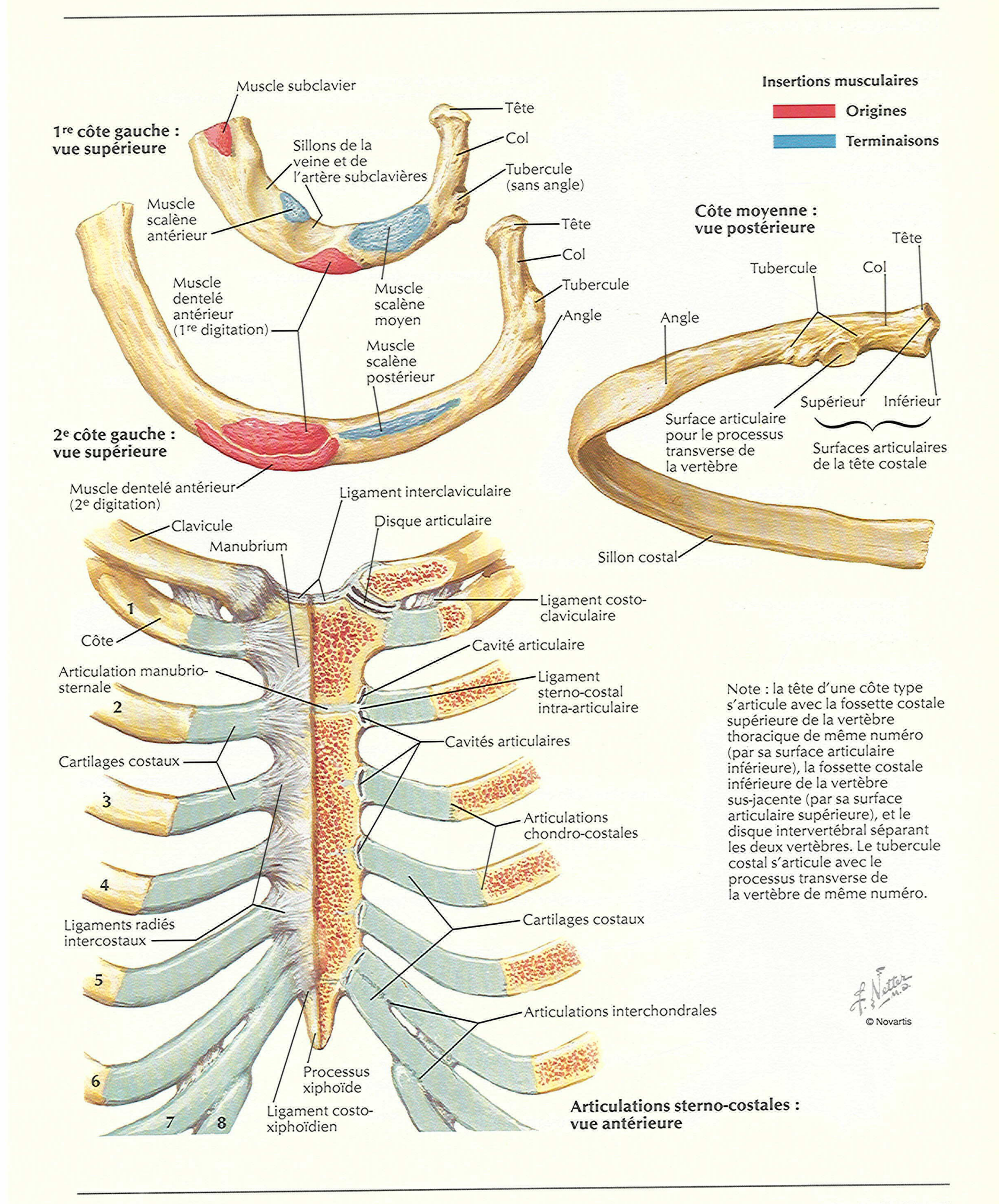
Vaisseaux et nœuds lymphatiques de la glande mammaire



Os de la cage thoracique

VOIR AUSSI LA PLANCHE 231

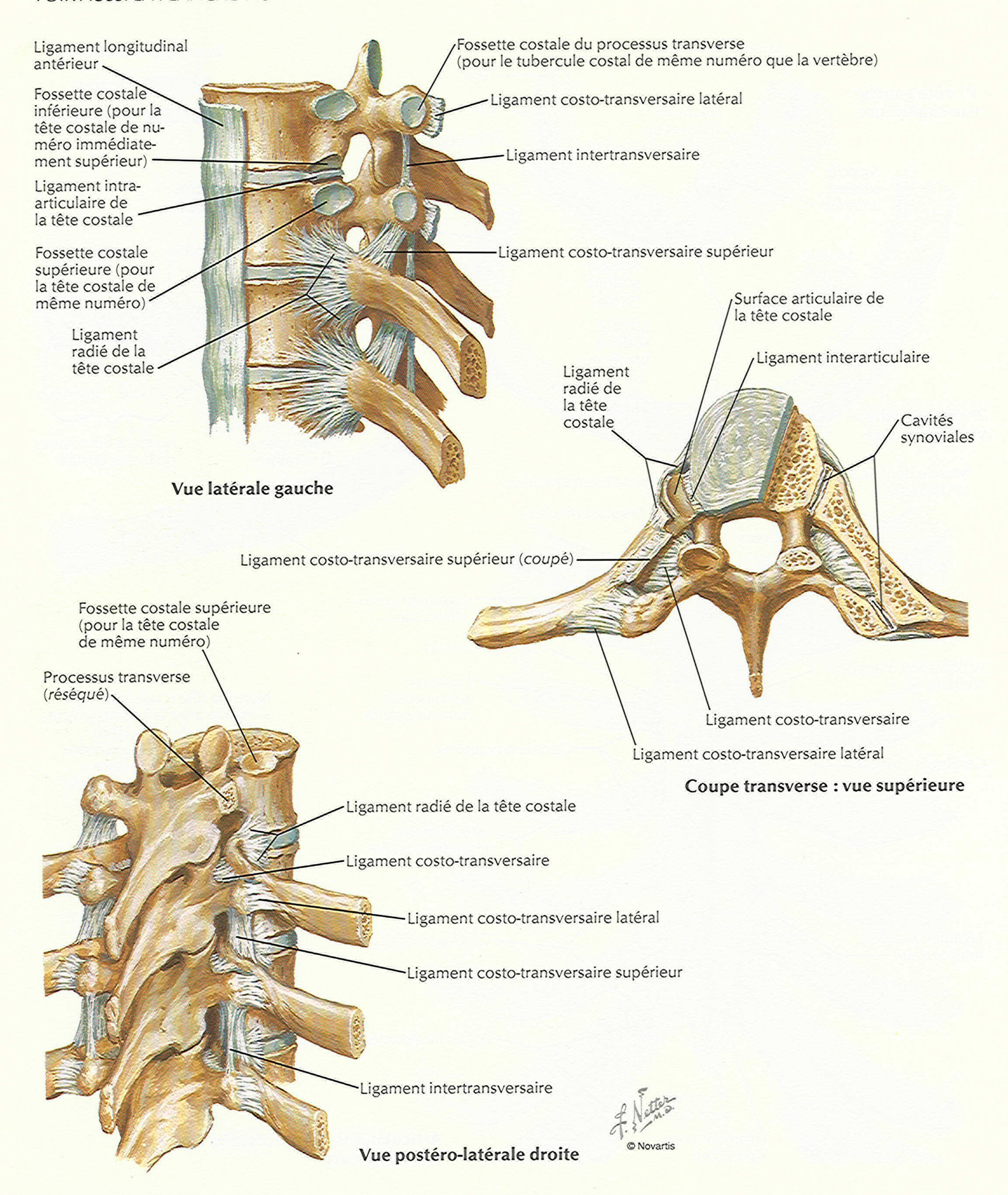




Note : la tête d'une côte type s'articule avec la fossette costale supérieure de la vertèbre thoracique de même numéro (par sa surface articulaire inférieure), la fossette costale inférieure de la vertèbre sus-jacente (par sa surface articulaire supérieure), et le disque intervertébral séparant les deux vertèbres. Le tubercule costal s'articule avec le processus transverse de la vertèbre de même numéro.

Articulations costo-vertébrales

VOIR AUSSI LA PLANCHE 143

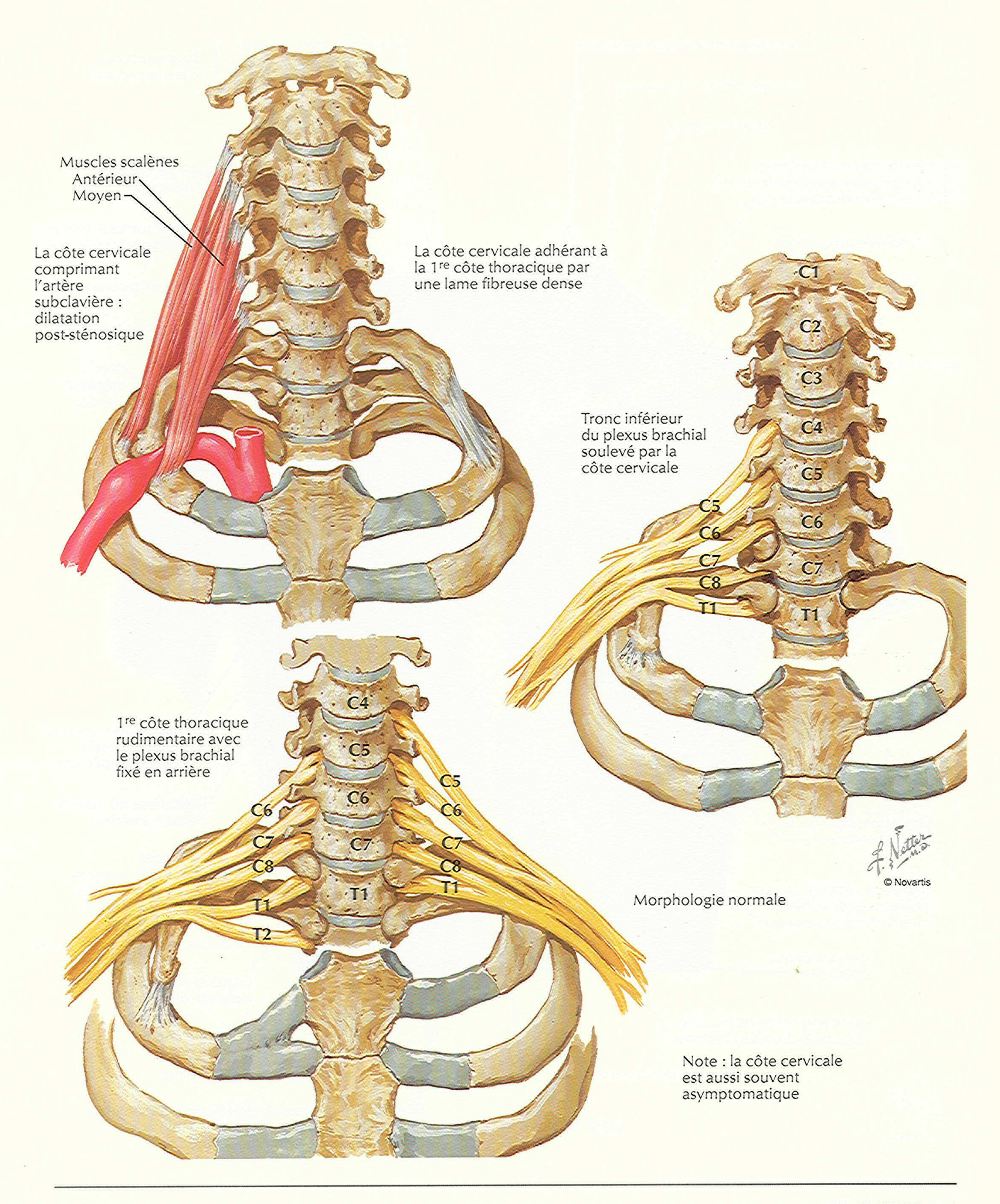


Vue latérale gauche

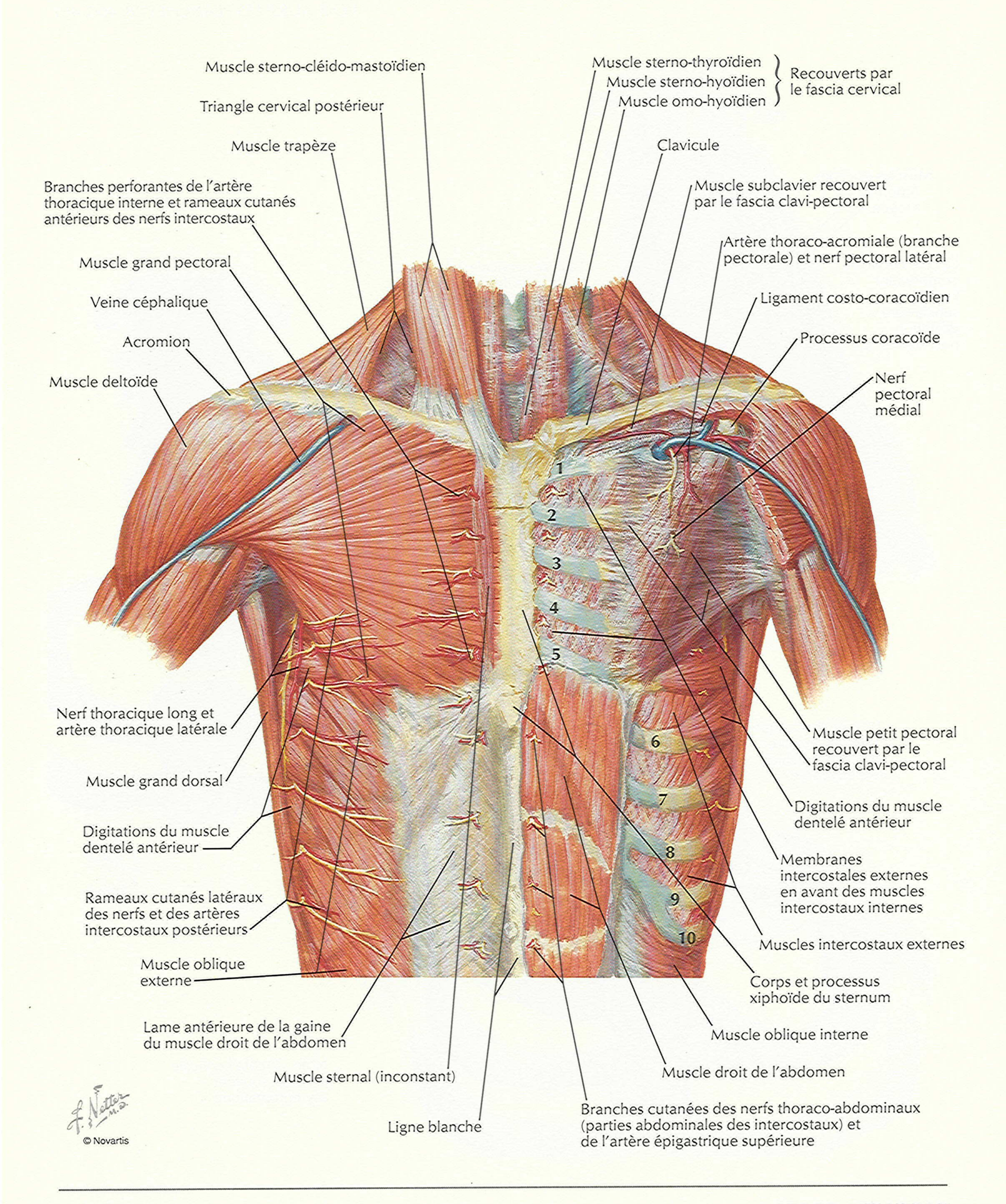
Coupe transverse : vue supérieure

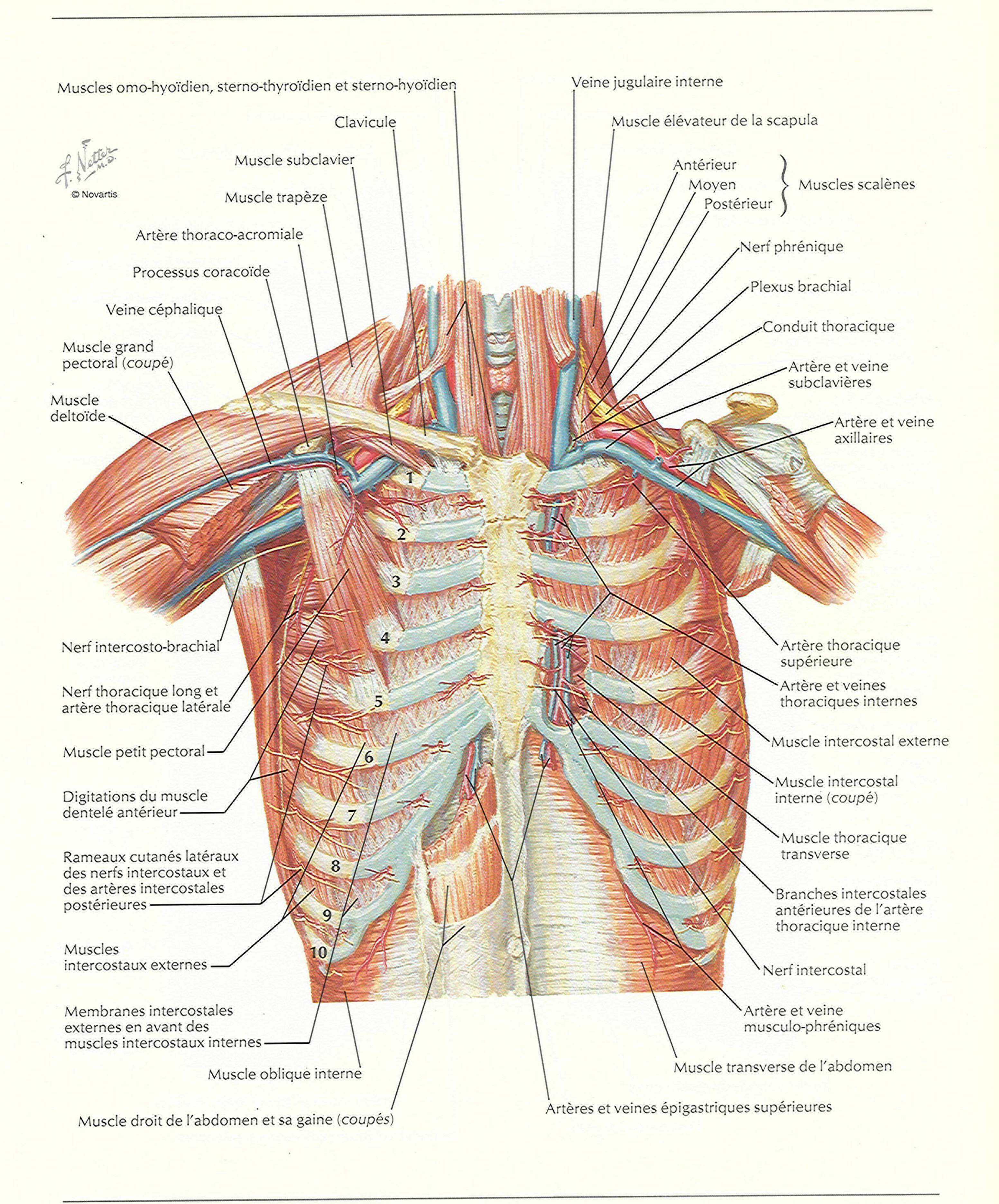
Vue postéro-latérale droite

VOIR AUSSI LES PLANCHES 28, 400, 401

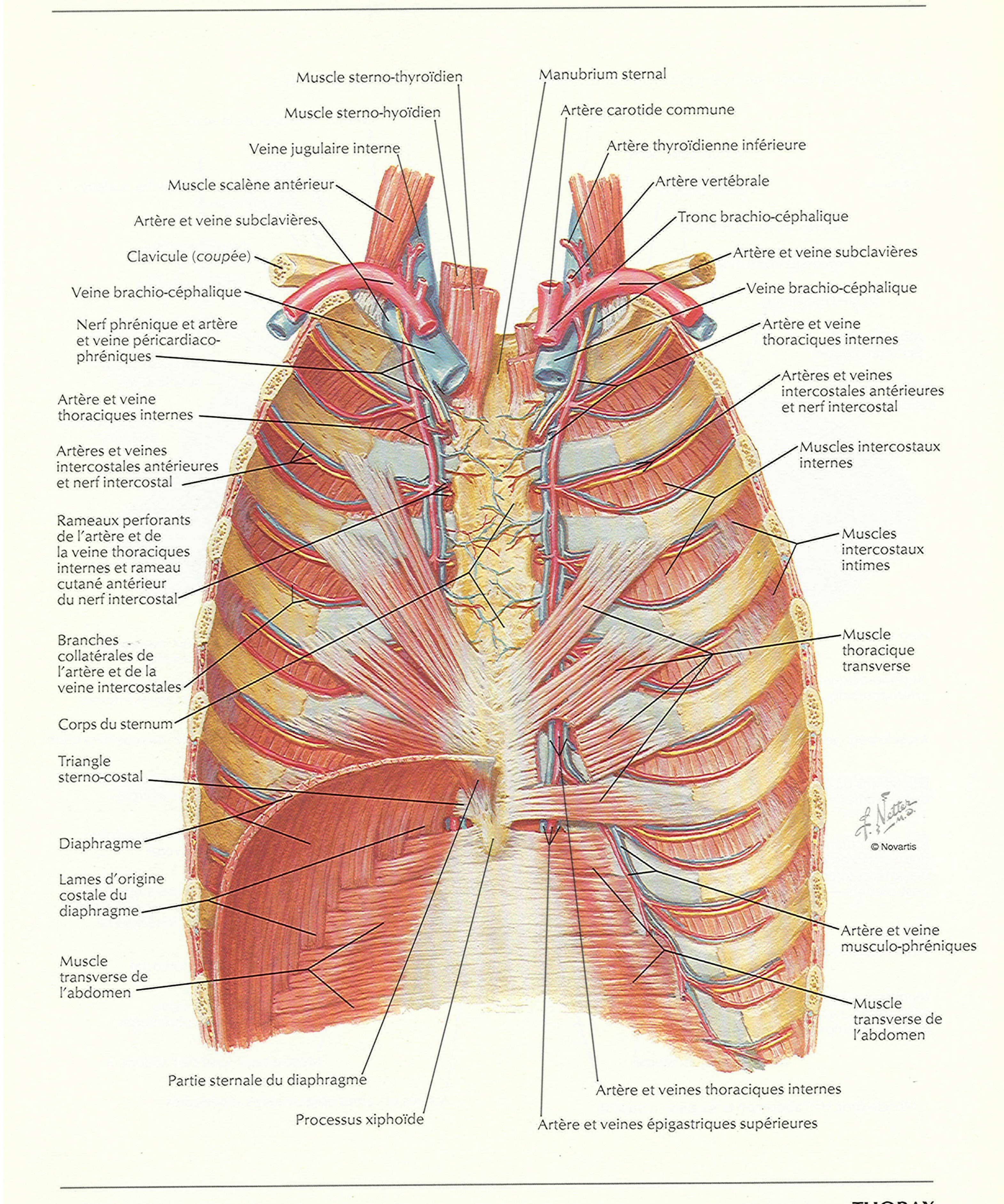


Paroi thoracique antérieure



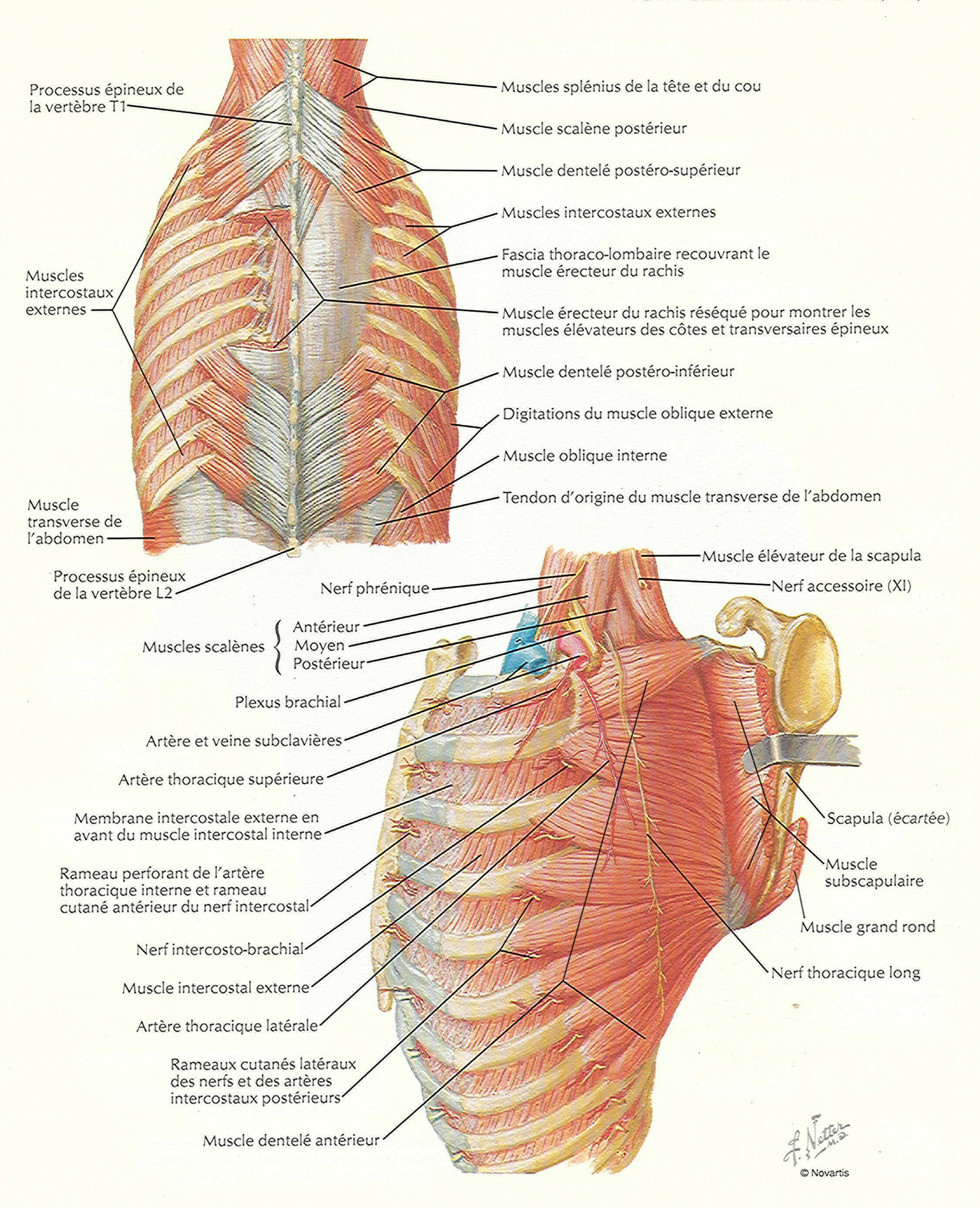

Muscles omo-hyoïdien, sterno-thyroïdien et sterno-hyoïdien
Clavicule
Muscle subclavier
Muscle trapèze
Artère thoraco-acromiale
Processus coracoïde
Veine céphalique
Muscle grand pectoral (coupé)
Muscle deltoïde
Nerf intercosto-brachial
Nerf thoracique long et artère thoracique latérale
Muscle petit pectoral
Digitations du muscle dentelé antérieur
Rameaux cutanés latéraux des nerfs intercostaux et des artères intercostales postérieures
Muscles intercostaux externes
Membranes intercostales externes en avant des muscles intercostaux internes
Muscle oblique interne
Muscle droit de l'abdomen et sa gaine (coupés)
Veine jugulaire interne
Muscle élévateur de la scapula
Antérieur
Moyen
Postérieur
Muscles scalènes
Nerf phrénique
Plexus brachial
Conduit thoracique
Artère et veine subclavières
Artère et veine axillaires
Artère thoracique supérieure
Artère et veines thoraciques internes
Muscle intercostal externe
Muscle intercostal interne (coupé)
Muscle thoracique transverse
Branches intercostales antérieures de l'artère thoracique interne
Nerf intercostal
Artère et veine musculo-phréniques
Muscle transverse de l'abdomen
Artères et veines épigastriques supérieures
1
2
3
4
5
6
7
8
9
10
F. Netter M.D.
© Novartis

Paroi thoracique antérieure : vue interne

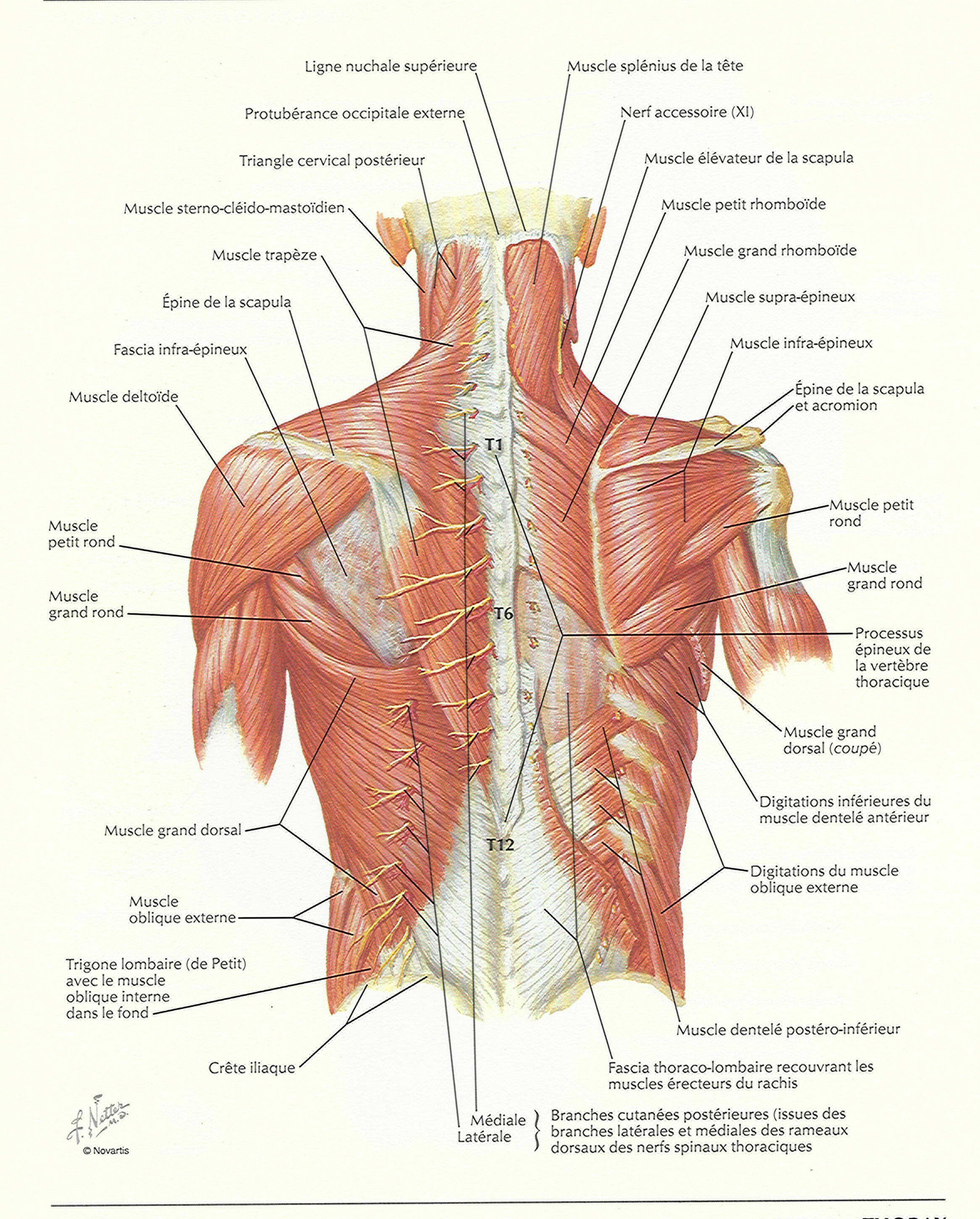


Parois thoraciques postérieure et latérale

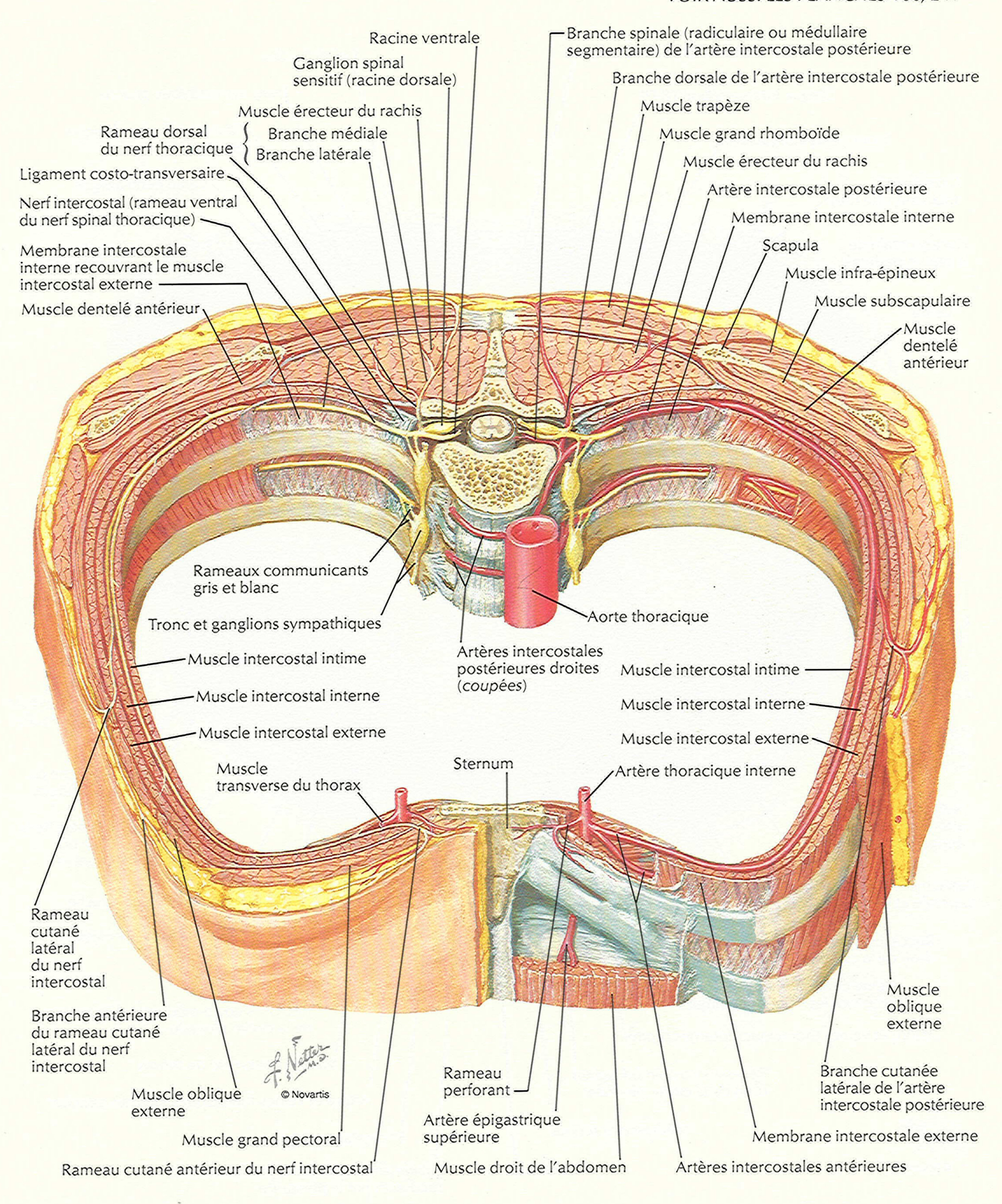
VOIR AUSSI LES PLANCHES 160, 161, 162



Paroi thoracique postérieure

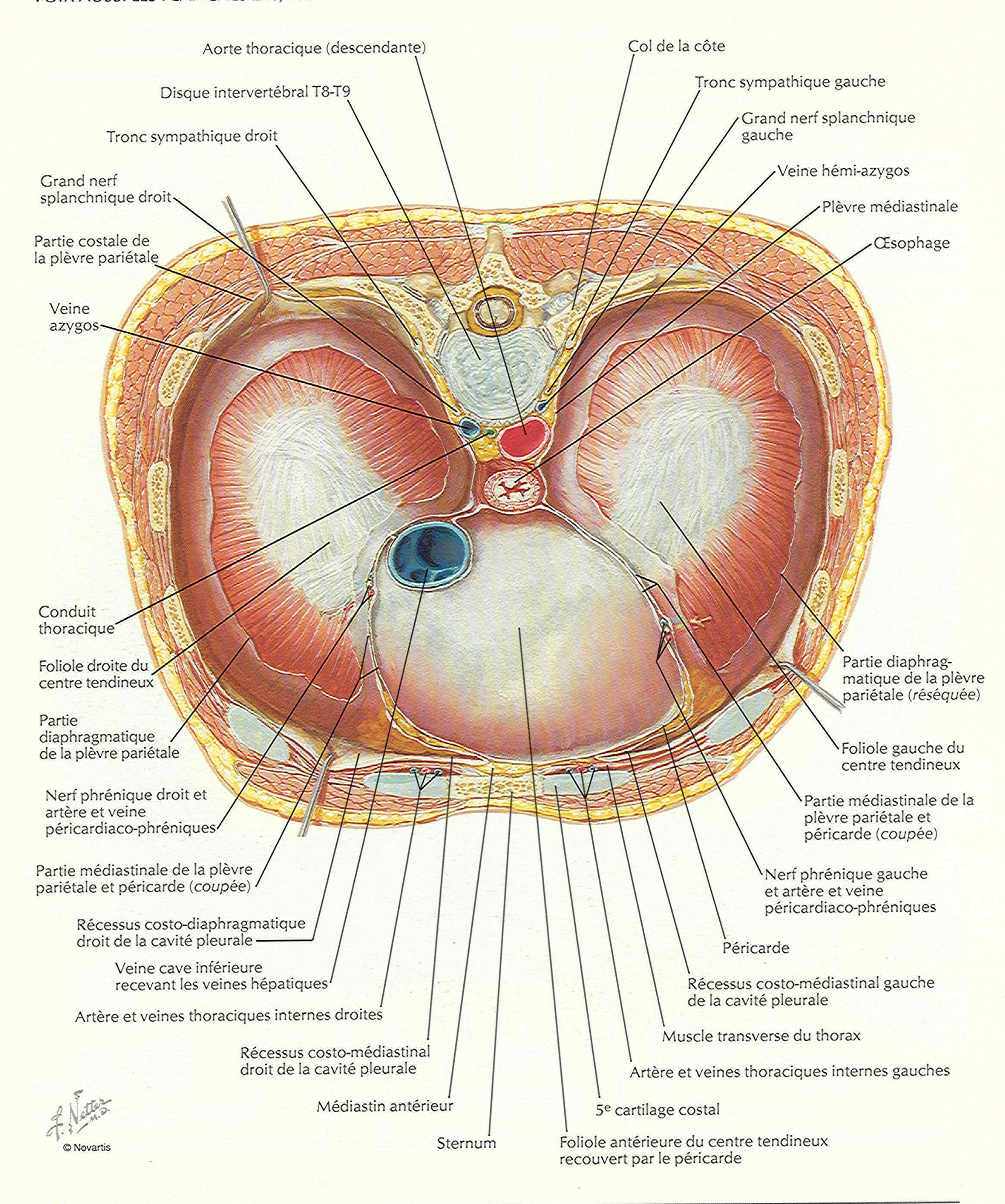


VOIR AUSSI LES PLANCHES 166, 241



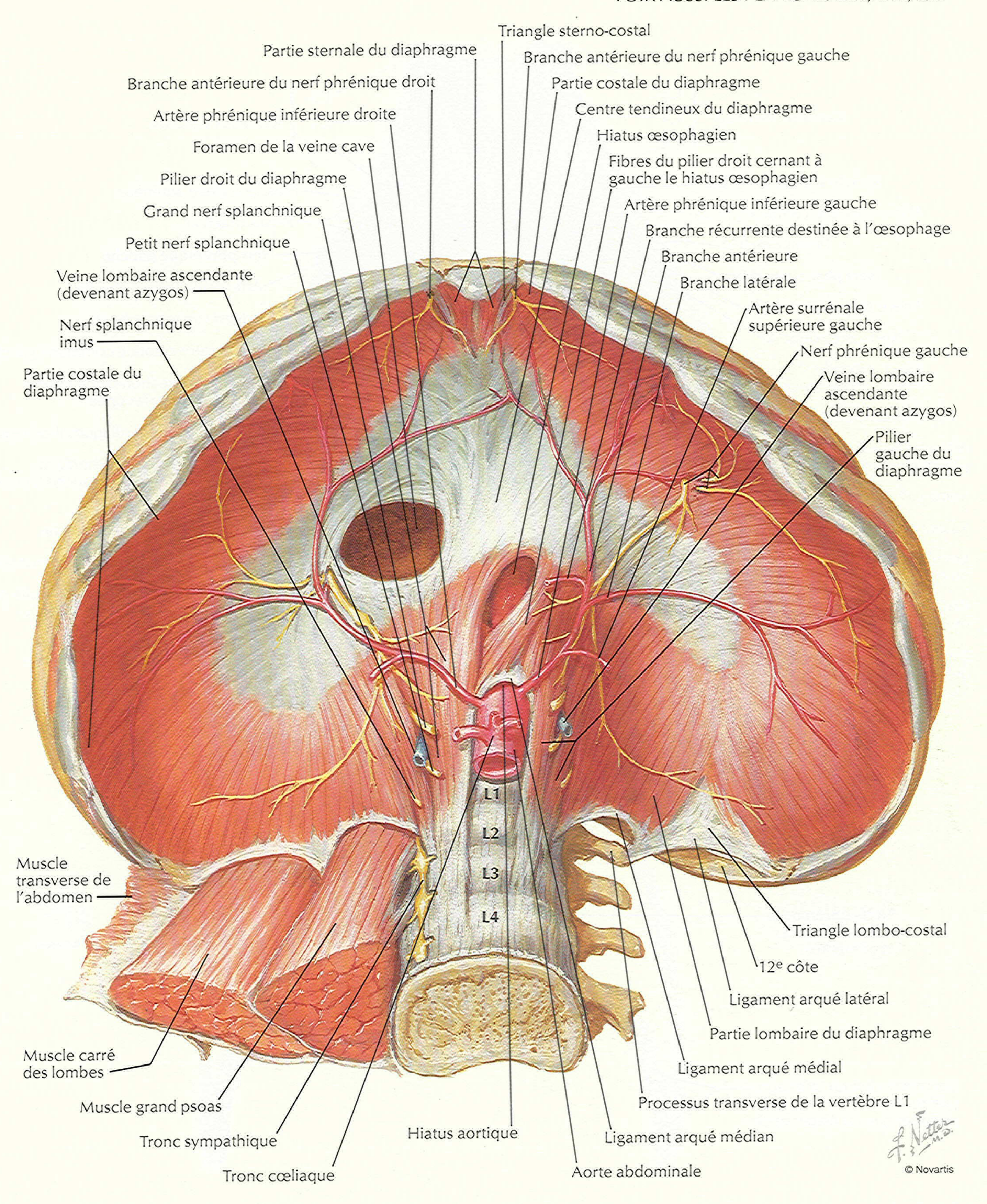
Diaphragme : face thoracique

VOIR AUSSI LES PLANCHES 218, 219



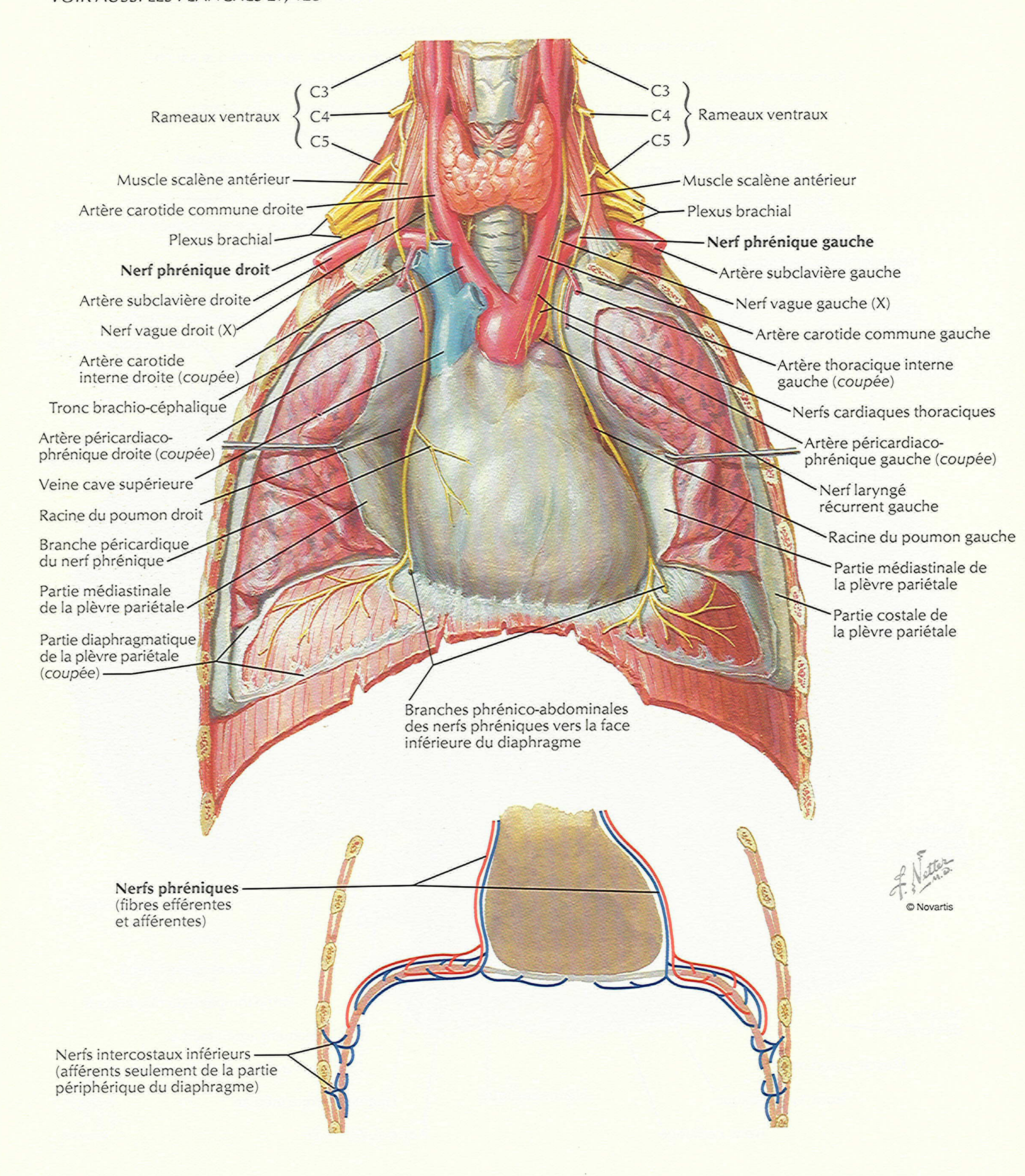
Diaphragme : face abdominale

VOIR AUSSI LES PLANCHES 236, 246, 253

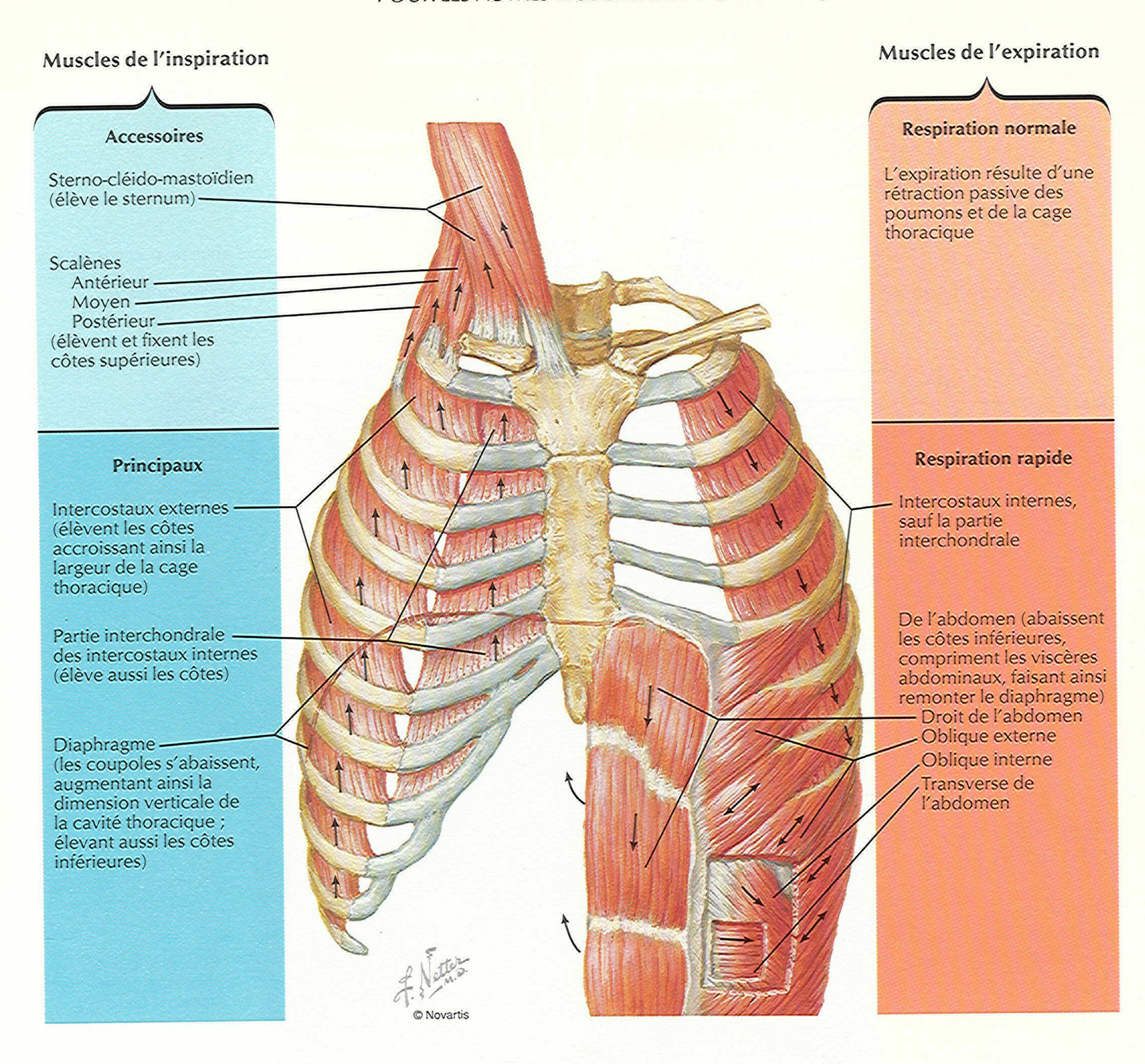


Nerf phrénique

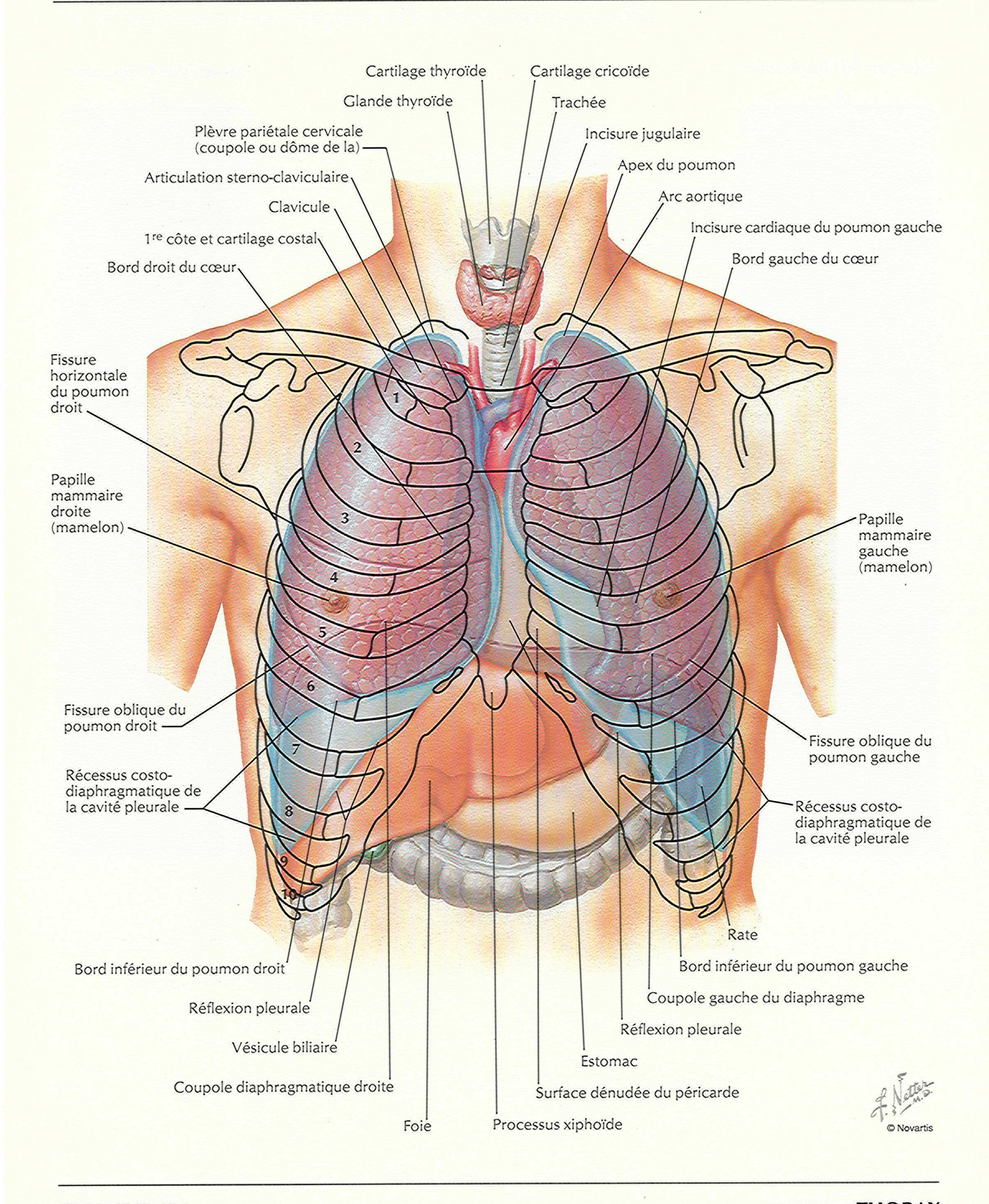
VOIR AUSSI LES PLANCHES 27, 123

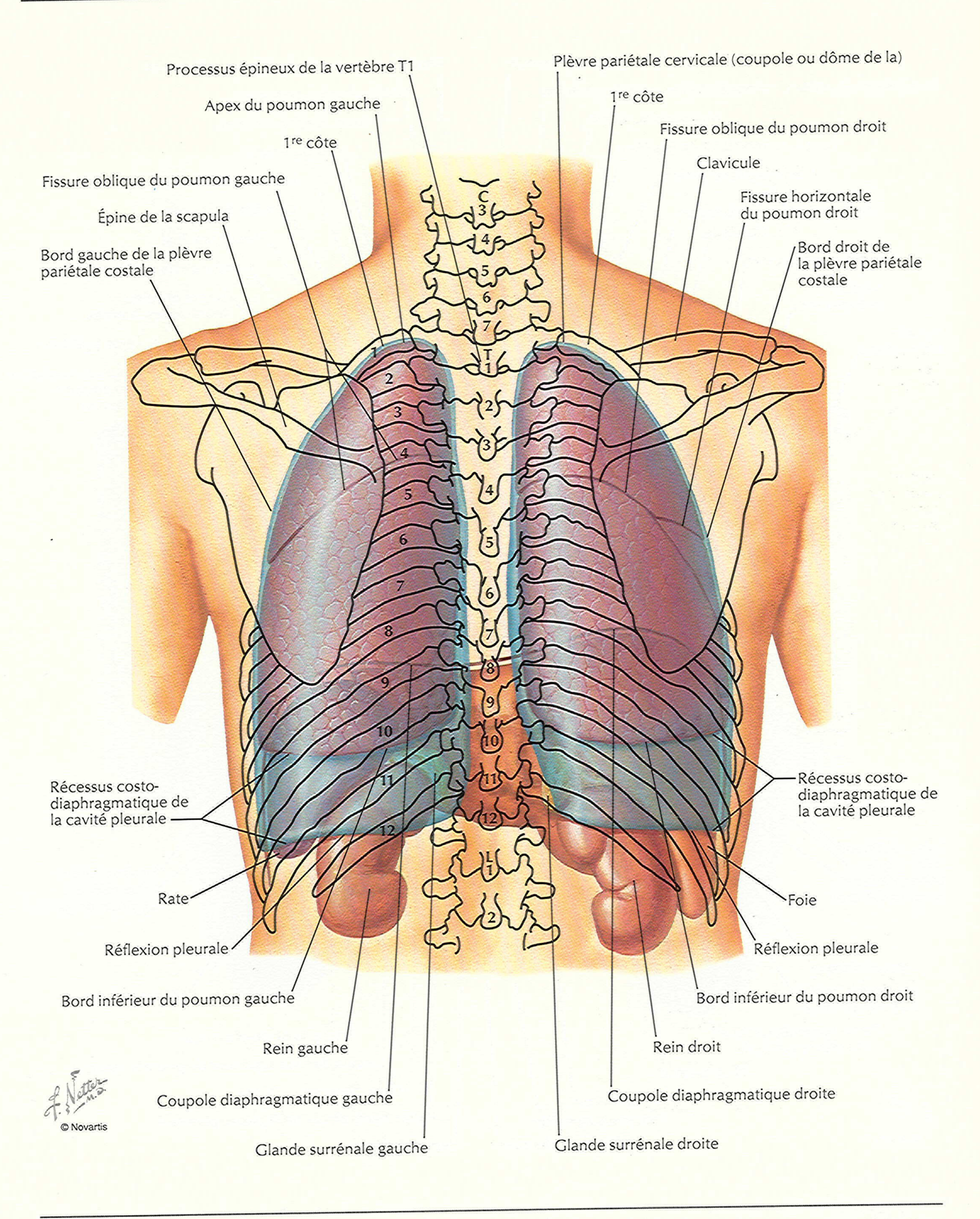


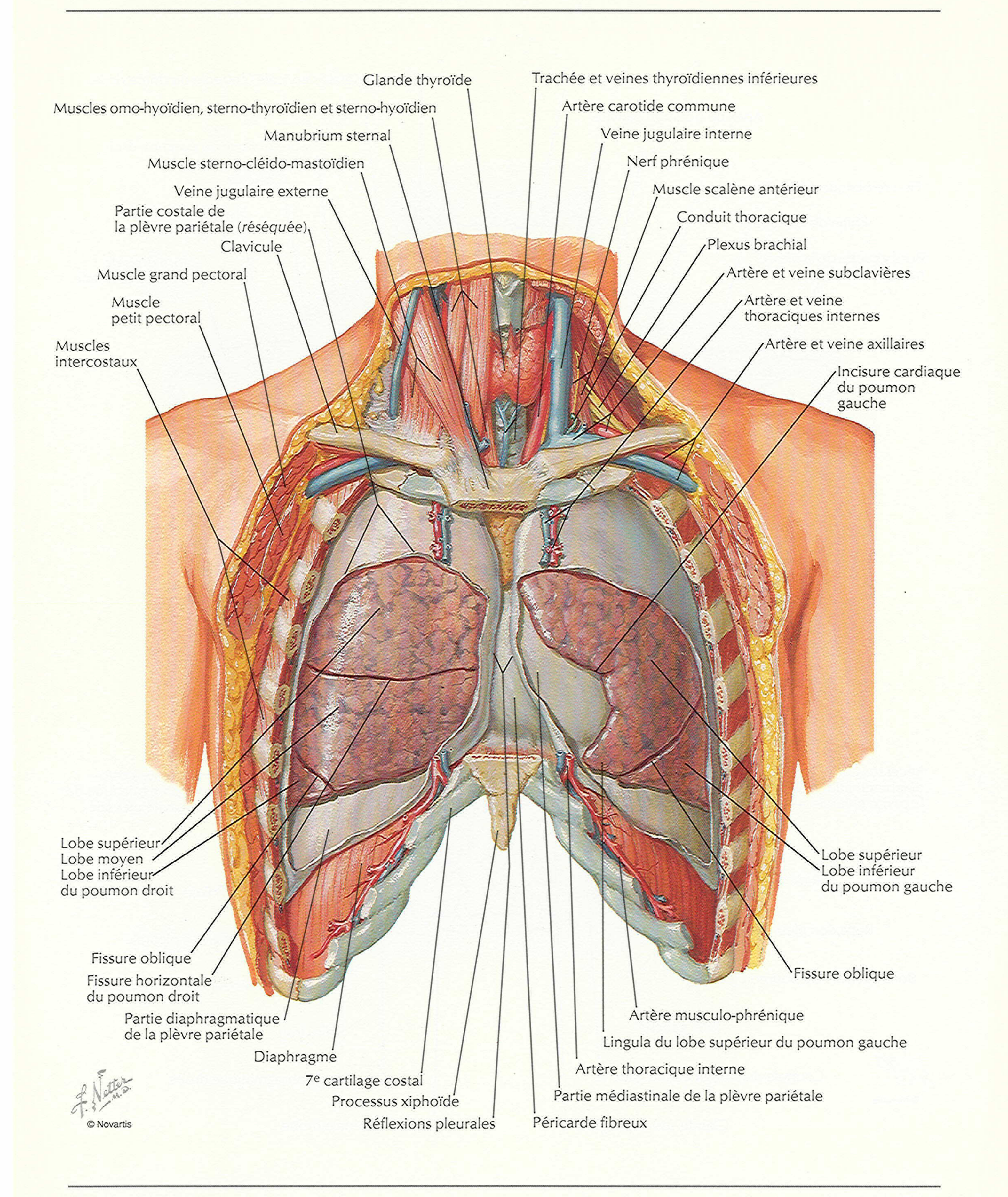
POUR LES AUTRES MUSCLES DE L'INSPIRATION, VOIR LES PLANCHES 162, 177

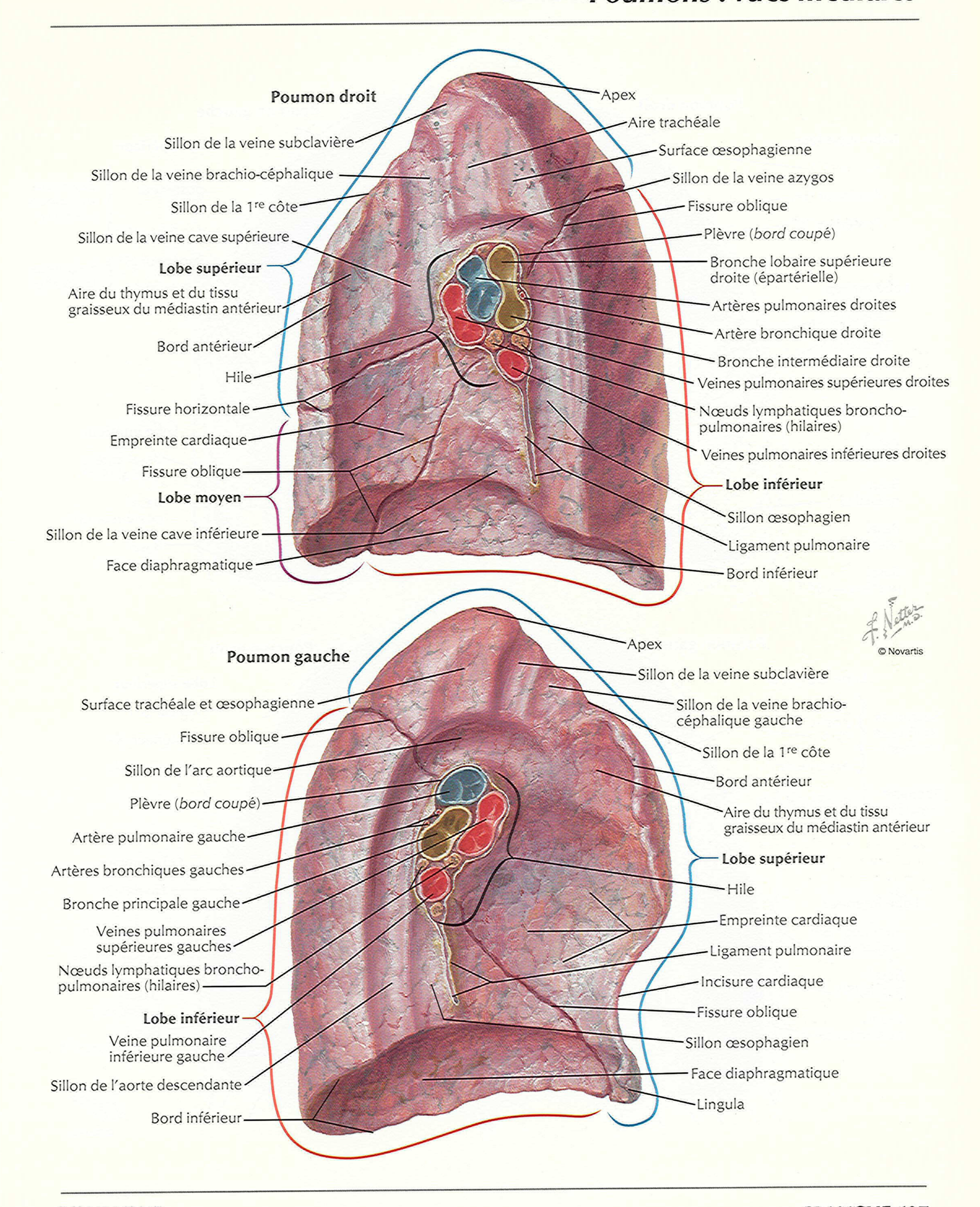


Topographie des poumons : vue antérieure

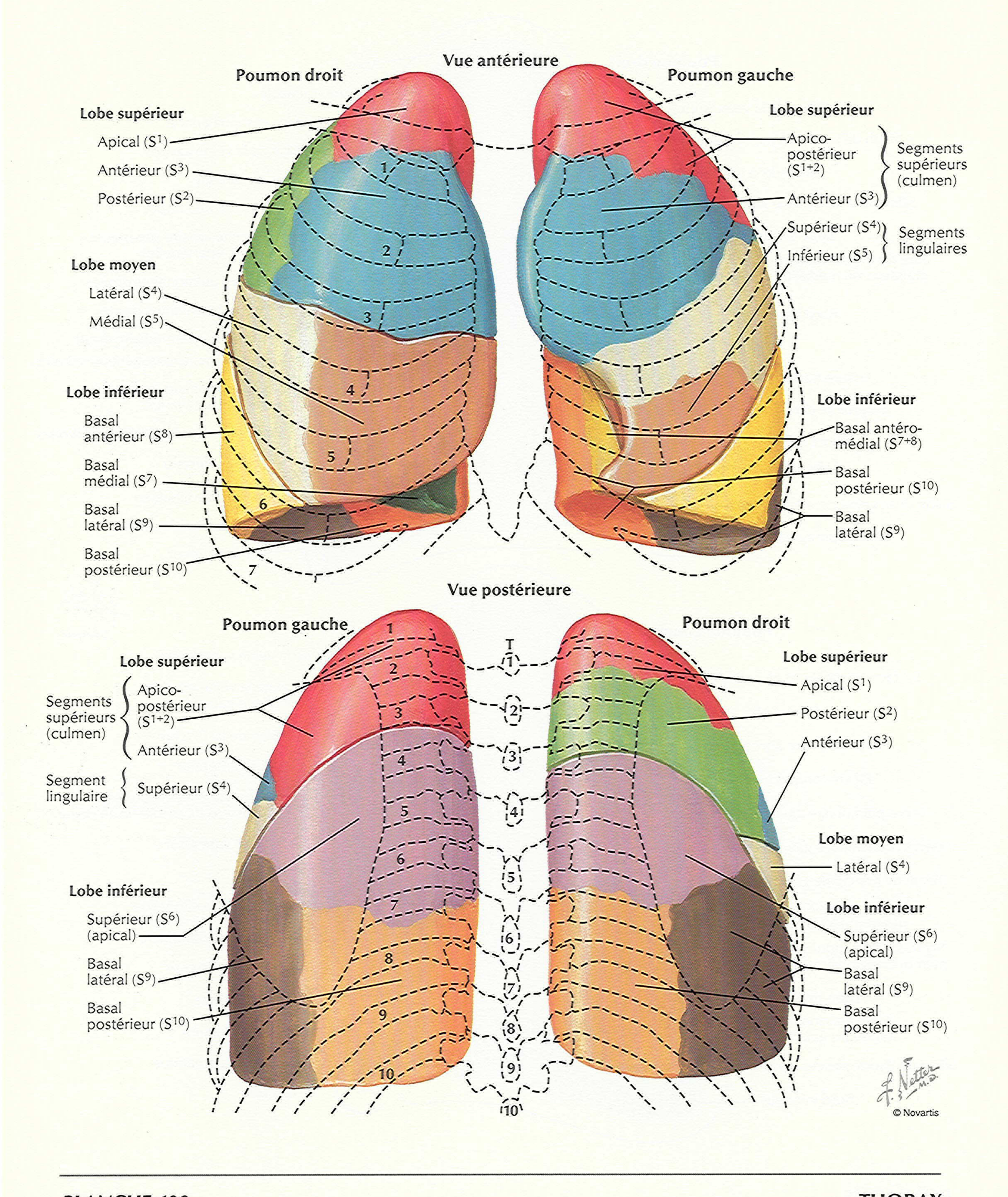


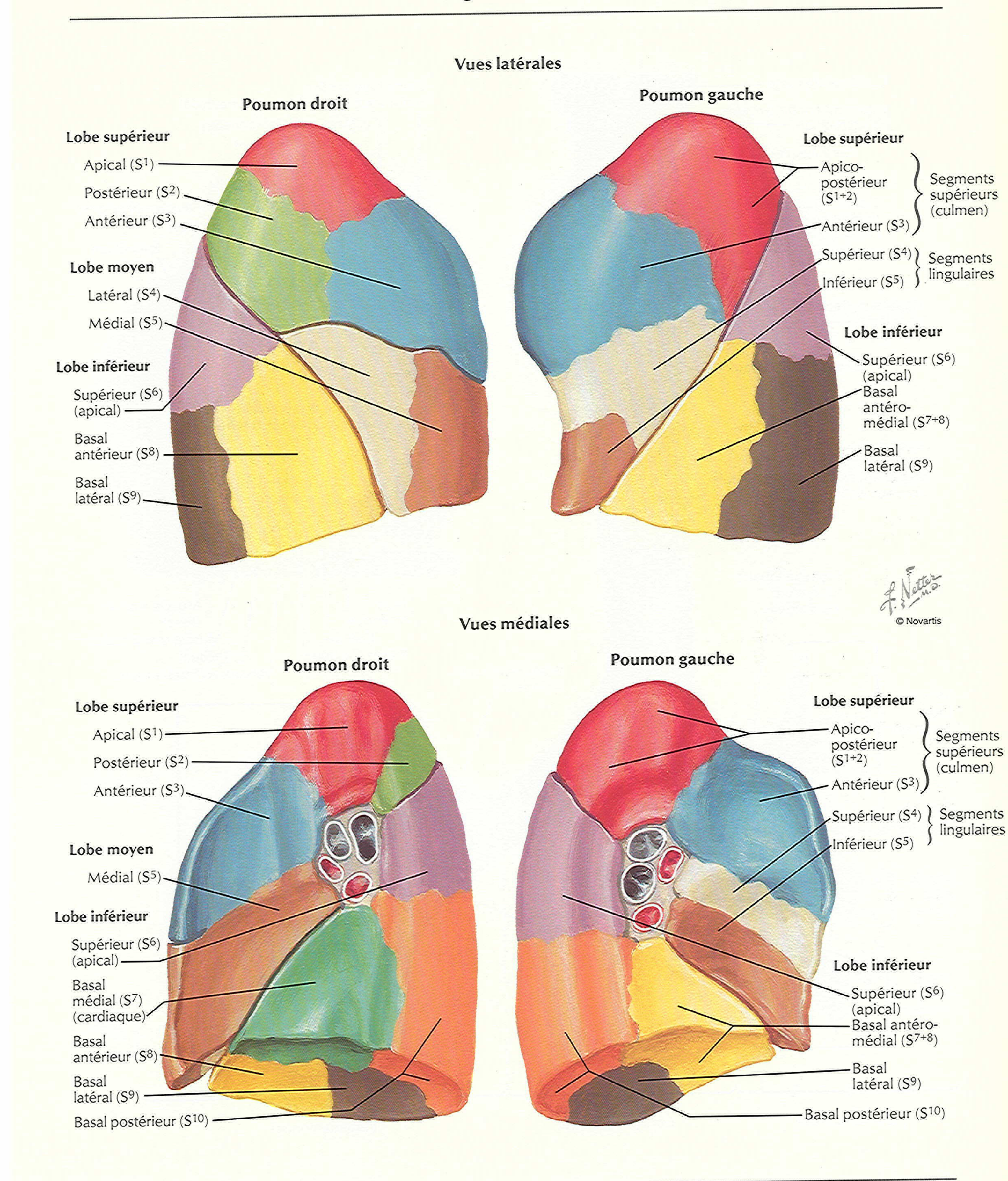

Processus épineux de la vertèbre T1
Apex du poumon gauche
1re côte
Fissure oblique du poumon gauche
Épine de la scapula
Bord gauche de la plèvre pariétale costale
Plèvre pariétale cervicale (coupole ou dôme de la)
1re côte
Fissure oblique du poumon droit
Clavicule
Fissure horizontale du poumon droit
Bord droit de la plèvre pariétale costale
Récessus costo-diaphragmatique de la cavité pleurale
Rate
Réflexion pleurale
Bord inférieur du poumon gauche
Rein gauche
Coupole diaphragmatique gauche
Glande surrénale gauche
Récessus costo-diaphragmatique de la cavité pleurale
Foie
Réflexion pleurale
Bord inférieur du poumon droit
Rein droit
Coupole diaphragmatique droite
Glande surrénale droite
C
3
4
5
6
7
T
1
2
3
4
5
6
7
8
9
10
11
12
L
1
2
F. Netter M.D.

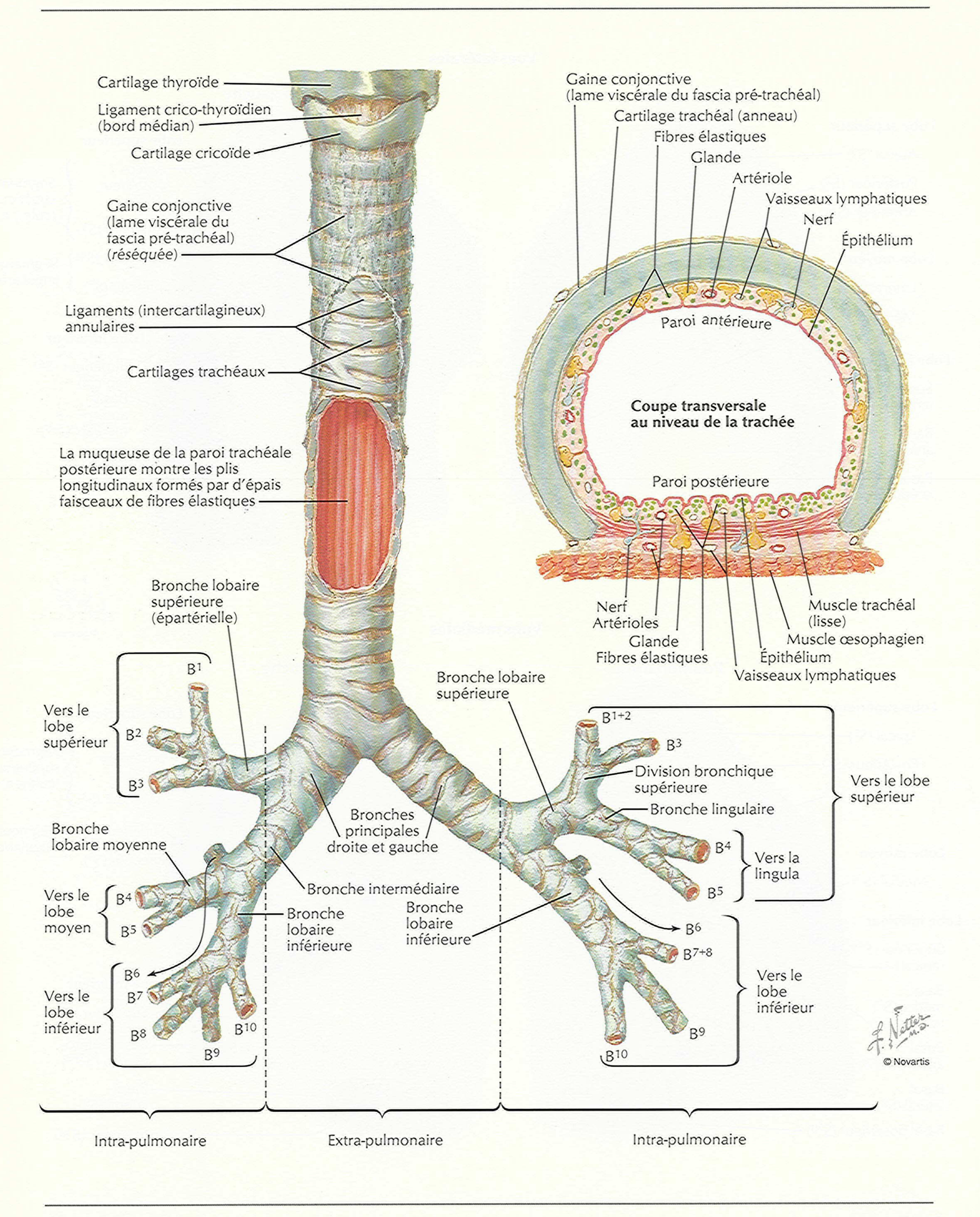

Glande thyroïde
Trachée et veines thyroïdiennes inférieures
Muscles omo-hyoïdien, sterno-thyroïdien et sterno-hyoïdien
Artère carotide commune
Manubrium sternal
Veine jugulaire interne
Muscle sterno-cléido-mastoïdien
Nerf phrénique
Veine jugulaire externe
Muscle scalène antérieur
Partie costale de
la plèvre pariétale (réséquée)
Conduit thoracique
Clavicule
Plexus brachial
Muscle grand pectoral
Artère et veine subclavières
Muscle
petit pectoral
Artère et veine
thoraciques internes
Muscles
intercostaux
Artère et veine axillaires
Incisure cardiaque
du poumon
gauche
Lobe supérieur
Lobe moyen
Lobe inférieur
du poumon droit
Lobe supérieur
Lobe inférieur
du poumon gauche
Fissure oblique
Fissure horizontale
du poumon droit
Fissure oblique
Partie diaphragmatique
de la plèvre pariétale
Artère musculo-phrénique
Lingula du lobe supérieur du poumon gauche
Diaphragme
Artère thoracique interne
7e cartilage costal
Processus xiphoïde
Partie médiastinale de la plèvre pariétale
Réflexions pleurales
Péricarde fibreux
© Novartis

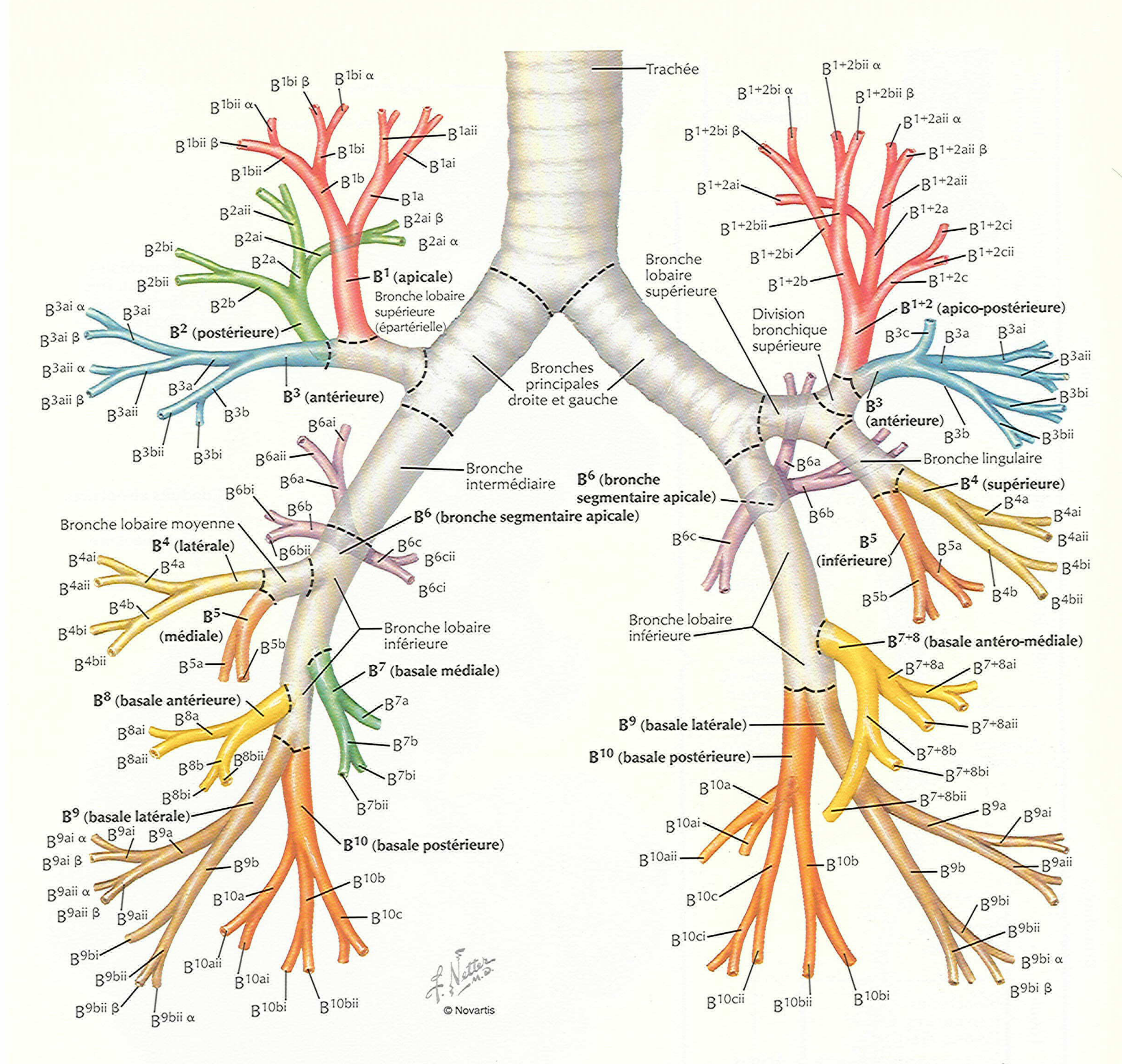

Poumon droit
Apex
Sillon de la veine subclavière
Aire trachéale
Surface œsophagienne
Sillon de la veine brachio-céphalique
Sillon de la veine azygos
Sillon de la 1re côte
Fissure oblique
Sillon de la veine cave supérieure
Plèvre (bord coupé)
Lobe supérieur
Bronche lobaire supérieure droite (épartérielle)
Aire du thymus et du tissu graisseux du médiastin antérieur
Artères pulmonaires droites
Artère bronchique droite
Bord antérieur
Bronche intermédiaire droite
Hile
Veines pulmonaires supérieures droites
Fissure horizontale
Nœuds lymphatiques broncho-pulmonaires (hilaires)
Empreinte cardiaque
Veines pulmonaires inférieures droites
Fissure oblique
Lobe inférieur
Lobe moyen
Sillon œsophagien
Sillon de la veine cave inférieure
Ligament pulmonaire
Face diaphragmatique
Bord inférieur
F. Netter M.D.
© Novartis
Poumon gauche
Apex
Sillon de la veine subclavière
Surface trachéale et œsophagienne
Sillon de la veine brachio-céphalique gauche
Fissure oblique
Sillon de la 1re côte
Sillon de l'arc aortique
Bord antérieur
Plèvre (bord coupé)
Aire du thymus et du tissu graisseux du médiastin antérieur
Artère pulmonaire gauche
Lobe supérieur
Artères bronchiques gauches
Hile
Bronche principale gauche
Empreinte cardiaque
Veines pulmonaires supérieures gauches
Ligament pulmonaire
Nœuds lymphatiques broncho-pulmonaires (hilaires)
Incisure cardiaque
Lobe inférieur
Fissure oblique
Veine pulmonaire inférieure gauche
Sillon œsophagien
Face diaphragmatique
Sillon de l'aorte descendante
Lingula
Bord inférieur

Segments broncho-pulmonaires



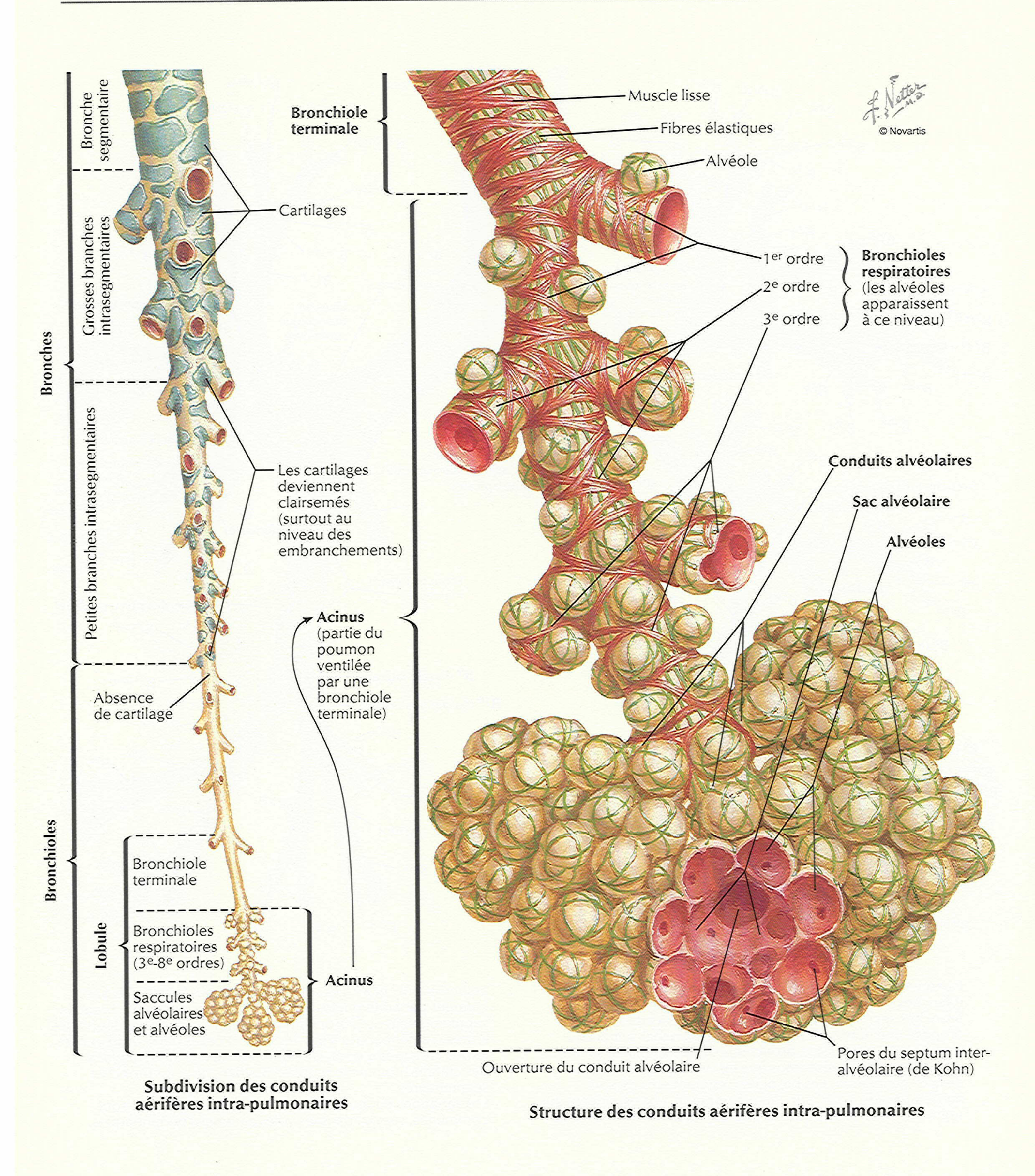

Vues latérales
Poumon droit
Lobe supérieur
Apical (S1)
Postérieur (S2)
Antérieur (S3)
Lobe moyen
Latéral (S4)
Médial (S5)
Lobe inférieur
Supérieur (S6) (apical)
Basal antérieur (S8)
Basal latéral (S9)
Poumon gauche
Lobe supérieur
Apico-postérieur (S1+2)
Antérieur (S3)
Segments supérieurs (culmen)
Supérieur (S4)
Inférieur (S5)
Segments lingulaires
Lobe inférieur
Supérieur (S6) (apical)
Basal antéro-médial (S7+8)
Basal latéral (S9)
F. Netter M.D.
© Novartis
Vues médiales
Poumon droit
Lobe supérieur
Apical (S1)
Postérieur (S2)
Antérieur (S3)
Lobe moyen
Médial (S5)
Lobe inférieur
Supérieur (S6) (apical)
Basal médial (S7) (cardiaque)
Basal antérieur (S8)
Basal latéral (S9)
Basal postérieur (S10)
Poumon gauche
Lobe supérieur
Apico-postérieur (S1+2)
Antérieur (S3)
Segments supérieurs (culmen)
Supérieur (S4)
Inférieur (S5)
Segments lingulaires
Lobe inférieur
Supérieur (S6) (apical)
Basal antéro-médial (S7+8)
Basal latéral (S9)
Basal postérieur (S10)


Cartilage thyroïde
Ligament crico-thyroïdien (bord médian)
Cartilage cricoïde
Gaine conjonctive (lame viscérale du fascia pré-trachéal) (*réséquée*)
Ligaments (intercartilagineux) annulaires
Cartilages trachéaux
La muqueuse de la paroi trachéale postérieure montre les plis longitudinaux formés par d'épais faisceaux de fibres élastiques
Bronche lobaire supérieure (épartérielle)
Vers le lobe supérieur
B1
B2
B3
Bronche lobaire moyenne
Vers le lobe moyen
B4
B5
Vers le lobe inférieur
B6
B7
B8
B9
B10
Bronches principales droite et gauche
Bronche intermédiaire
Bronche lobaire inférieure
Bronche lobaire inférieure
Bronche lobaire supérieure
B1+2
B3
Division bronchique supérieure
Bronche lingulaire
Vers le lobe supérieur
B4
B5
Vers la lingula
B6
B7+8
B9
B10
Vers le lobe inférieur
Gaine conjonctive (lame viscérale du fascia pré-trachéal)
Cartilage trachéal (anneau)
Fibres élastiques
Glande
Artériole
Vaisseaux lymphatiques
Nerf
Épithélium
Paroi antérieure
Coupe transversale au niveau de la trachée
Paroi postérieure
Nerf
Artérioles
Glande
Fibres élastiques
Vaisseaux lymphatiques
Épithélium
Muscle œsophagien
Muscle trachéal (lisse)
Intra-pulmonaire
Extra-pulmonaire
Intra-pulmonaire
F. Netter M.D.
© Novartis



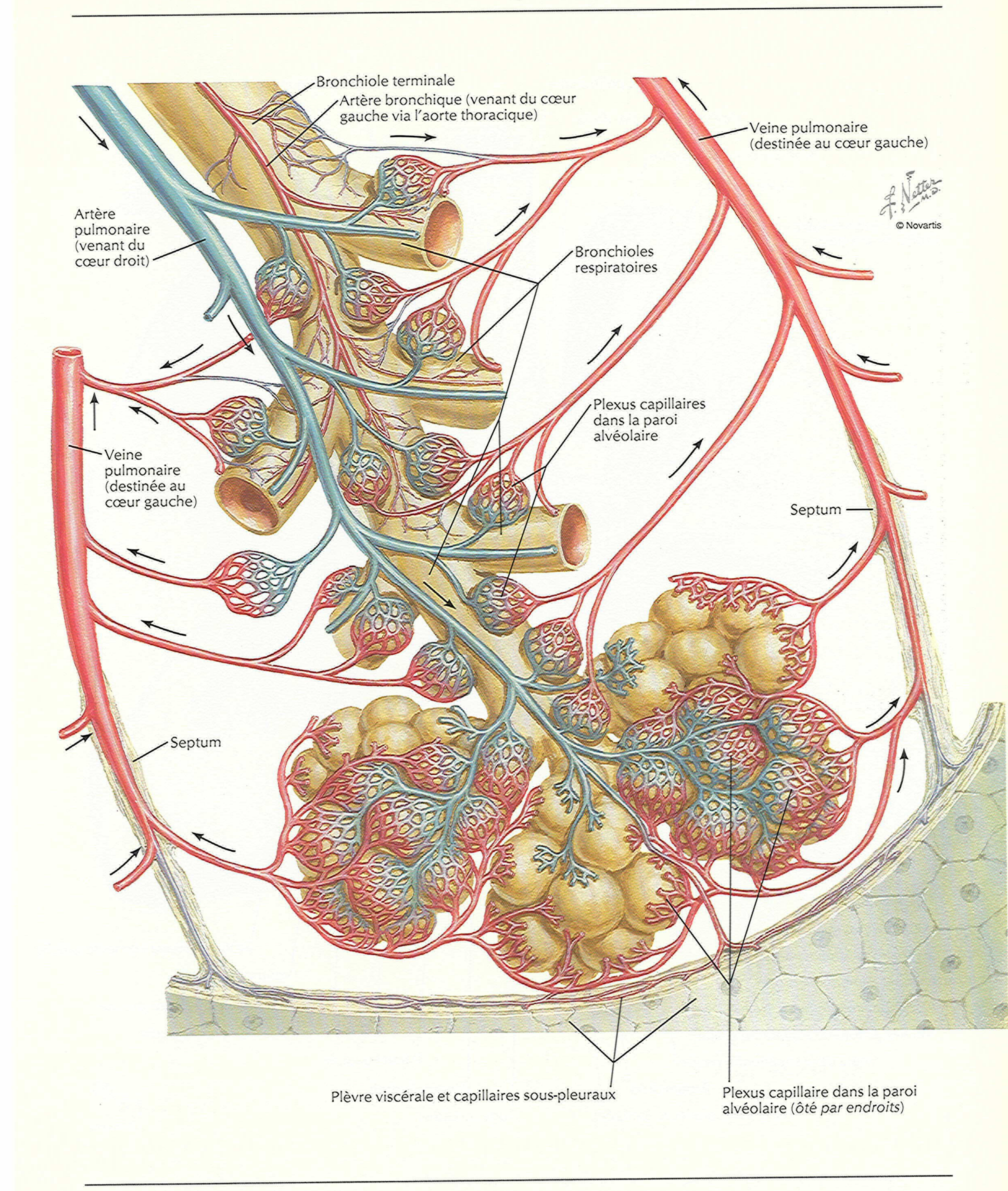
La nomenclature habituelle des segments pulmonaires (planches 188 et 189) est celle de Jackson et Huber, et les bronches segmentaires suivent cette nomenclature. Ikeda a proposé une nomenclature (voir cette planche) semblable jusqu'à la 6e subdivision bronchique. Pour simplifier, sur ce dessin, ne sont représentées que les bronches de la 5e ou de la 6e génération. Les bronches segmentaires (B) sont numérotées de 1 à 10 sur chaque poumon, correspondant aux segments pulmonaires. Sur le poumon gauche, B^1 et B^2 sont associées à B^7 et B^8. Les sous-segments, ou de 4e ordre, sont indiqués par addition des lettres a, b ou c pour chaque branche supplémentaire. Les bronches de 5e ordre sont désignées par les lettres i (antérieur) ou ii (postérieur), et celles de 6e ordre par les lettres grecques α ou β. De nombreux textes utilisent plutôt des chiffres (comme le propose Boyden) pour les bronches segmentaires.
Les variations du modèle bronchique type montré ici sont communes, surtout dans les voies aériennes périphériques.

Voies aérifères intra-pulmonaires

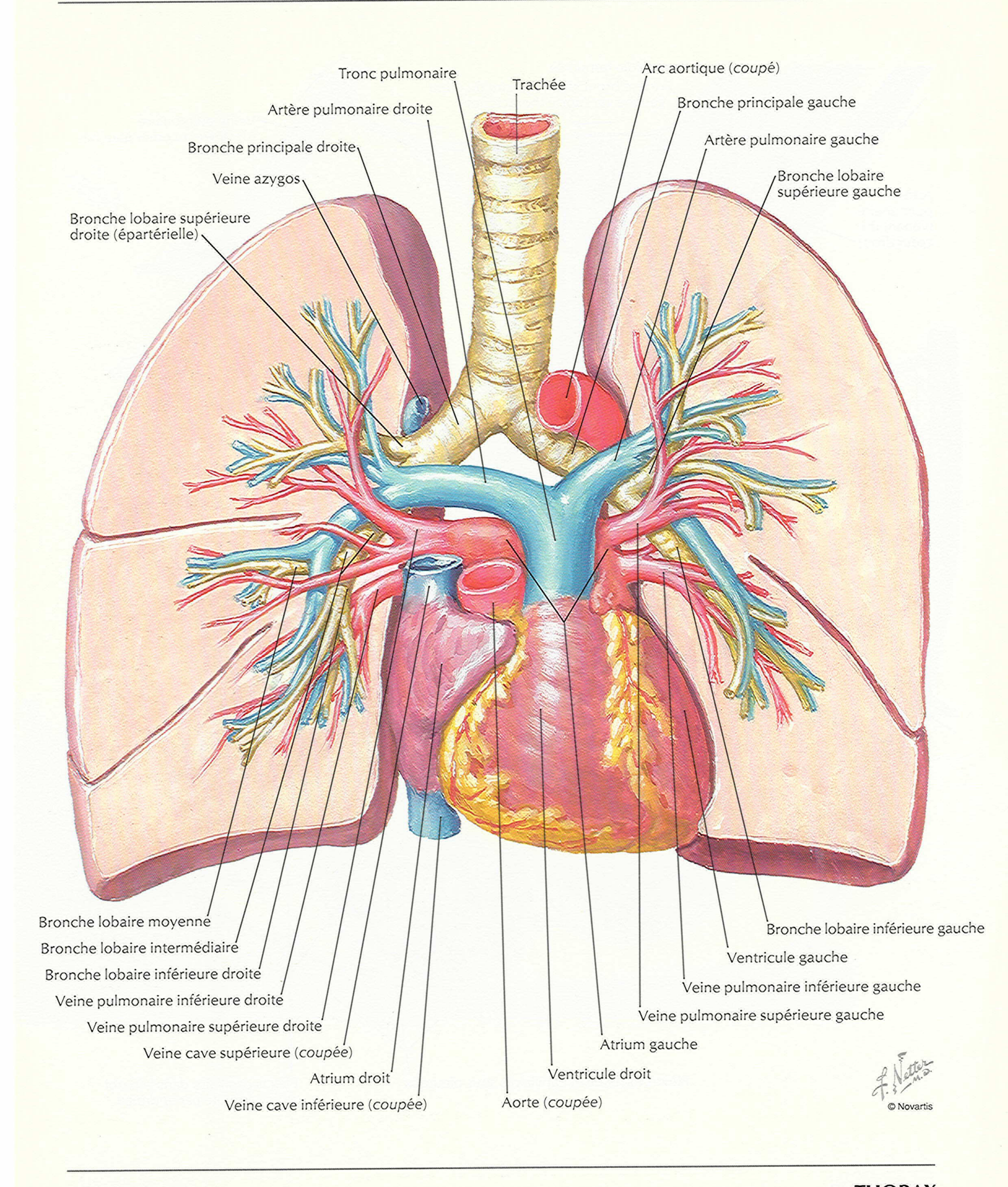


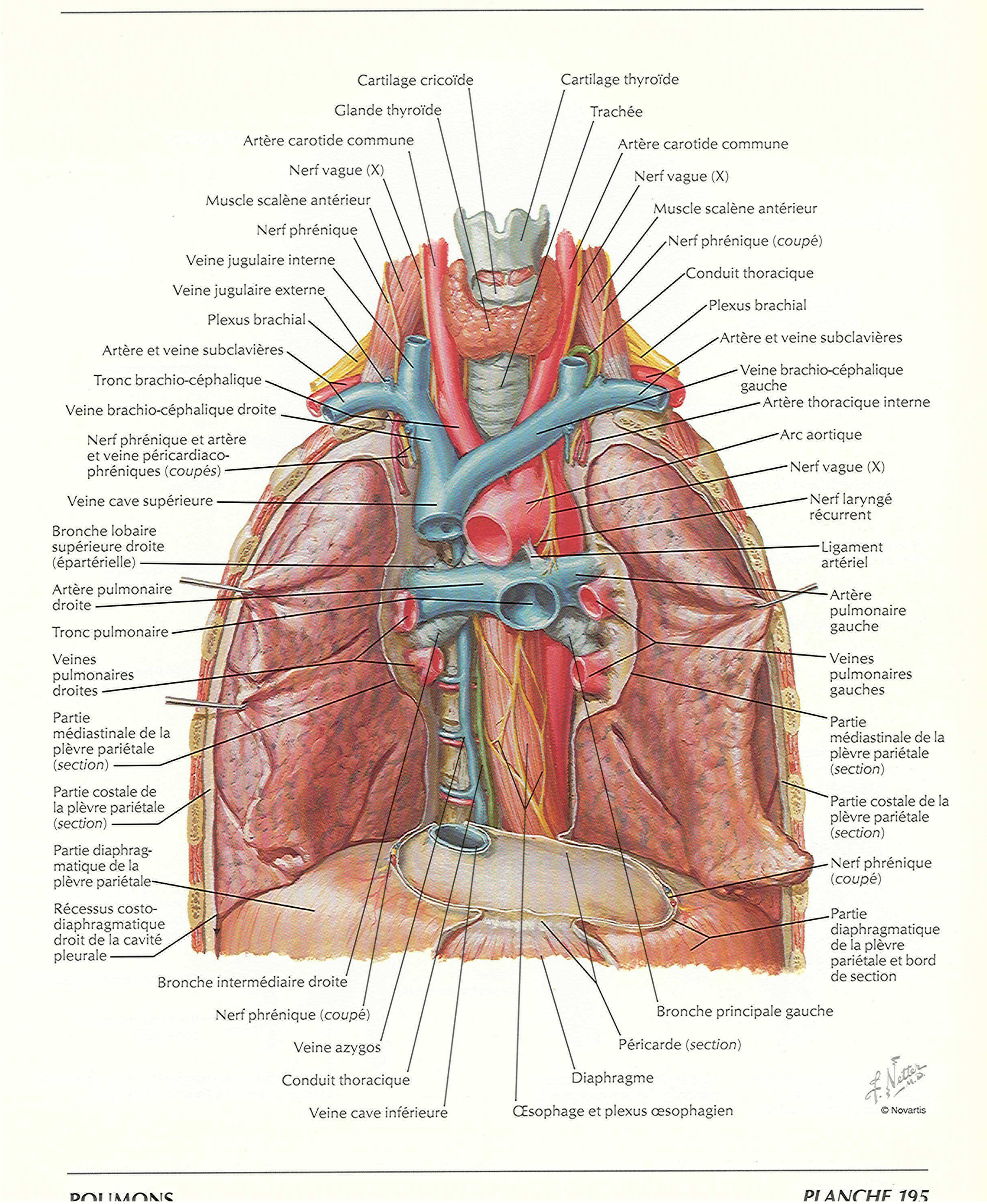
Subdivision des conduits aérifères intra-pulmonaires

Structure des conduits aérifères intra-pulmonaires


Bronchiole terminale
Artère bronchique (venant du cœur gauche via l'aorte thoracique)
Veine pulmonaire (destinée au cœur gauche)
© Novartis
Artère pulmonaire (venant du cœur droit)
Bronchioles respiratoires
Plexus capillaires dans la paroi alvéolaire
Veine pulmonaire (destinée au cœur gauche)
Septum
Septum
Plèvre viscérale et capillaires sous-pleuraux
Plexus capillaire dans la paroi alvéolaire (ôté *par endroits*)

Artères et veines pulmonaires





Cartilage cricoïde
Glande thyroïde
Artère carotide commune
Nerf vague (X)
Muscle scalène antérieur
Nerf phrénique
Veine jugulaire interne
Veine jugulaire externe
Plexus brachial
Artère et veine subclavières
Tronc brachio-céphalique
Veine brachio-céphalique droite
Nerf phrénique et artère et veine péricardiaco-phréniques (coupés)
Veine cave supérieure
Bronche lobaire supérieure droite (épartérielle)
Artère pulmonaire droite
Tronc pulmonaire
Veines pulmonaires droites
Partie médiastinale de la plèvre pariétale (section)
Partie costale de la plèvre pariétale (section)
Partie diaphragmatique de la plèvre pariétale
Récessus costo-diaphragmatique droit de la cavité pleurale
Bronche intermédiaire droite
Nerf phrénique (coupé)
Veine azygos
Conduit thoracique
Veine cave inférieure
Œsophage et plexus œsophagien
Diaphragme
Péricarde (section)
Bronche principale gauche
Cartilage thyroïde
Trachée
Artère carotide commune
Nerf vague (X)
Muscle scalène antérieur
Nerf phrénique (coupé)
Conduit thoracique
Plexus brachial
Artère et veine subclavières
Veine brachio-céphalique gauche
Artère thoracique interne
Arc aortique
Nerf vague (X)
Nerf laryngé récurrent
Ligament artériel
Artère pulmonaire gauche
Veines pulmonaires gauches
Partie médiastinale de la plèvre pariétale (section)
Partie costale de la plèvre pariétale (section)
Nerf phrénique (coupé)
Partie diaphragmatique de la plèvre pariétale et bord de section
F. Netter M.D.
© Novartis

Artères et veines bronchiques

Œsophage

Trachée (*tirée à gauche par une érigne*)

3e artère intercostale postérieure droite

Artère bronchique droite

Bronche principale droite

Bronche principale gauche (*tirée à droite par une érigne*)

Artère œsophagienne

Artère bronchique supérieure gauche

Aorte (*réclinée par une érigne*)

Artère bronchique inférieure gauche

Branche œsophagienne de l'artère bronchique

© Novartis

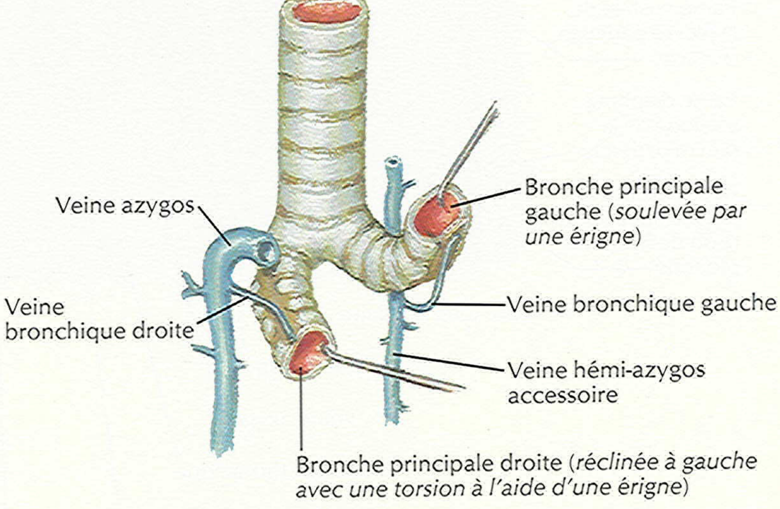
Variations des artères bronchiques

Artères bronchiques droite et gauche naissant de l'aorte par un tronc unique



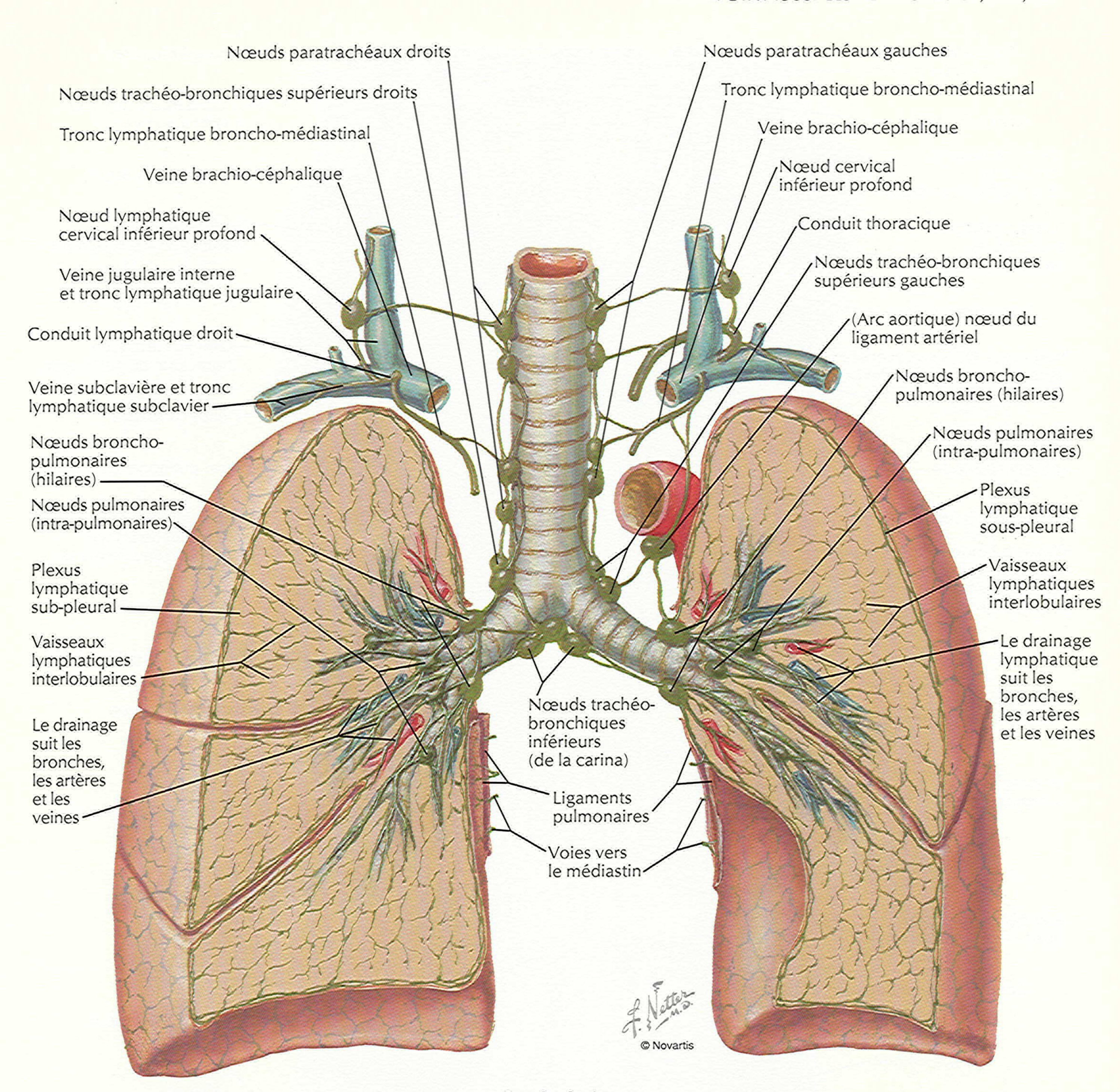
Une seule artère bronchique par bronche (normalement, deux pour la bronche gauche)

Veines bronchiques



Vaisseaux et nœuds lymphatiques du poumon

VOIR AUSSI LES PLANCHES 66, 169, 227



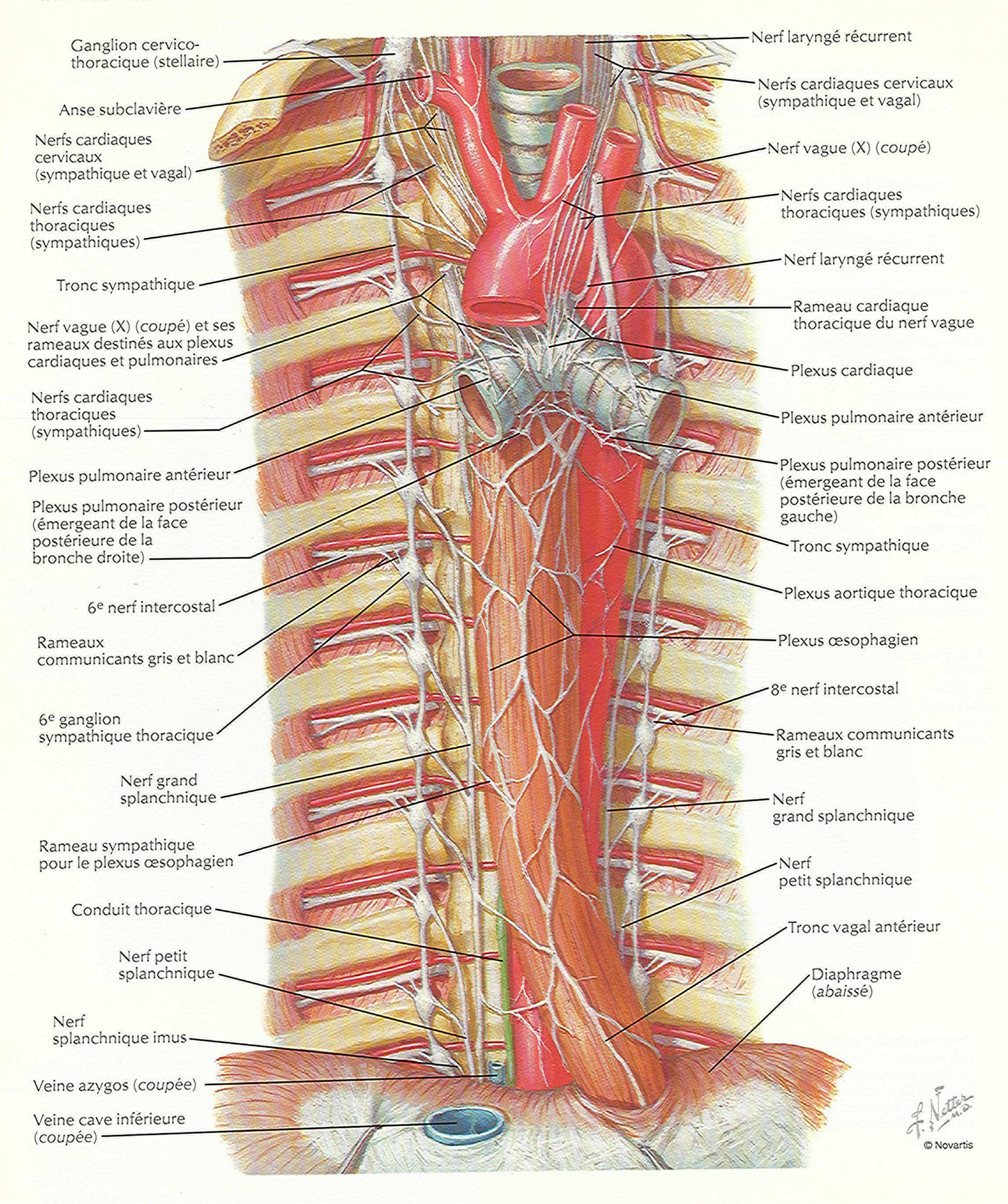
Voies de drainage

Poumon droit : tous les lobes se drainent dans les nœuds intra-pulmonaires et broncho-pulmonaires (hilaires), puis dans les nœuds trachéo-bronchiques inférieurs (de la carina), les nœuds trachéo-bronchiques supérieurs droits et les nœuds paratrachéaux droits, sur le trajet de la veine brachio-céphalique via le tronc lymphatique broncho-médiastinal et/ou le nœud cervical profond inférieur (scalène).

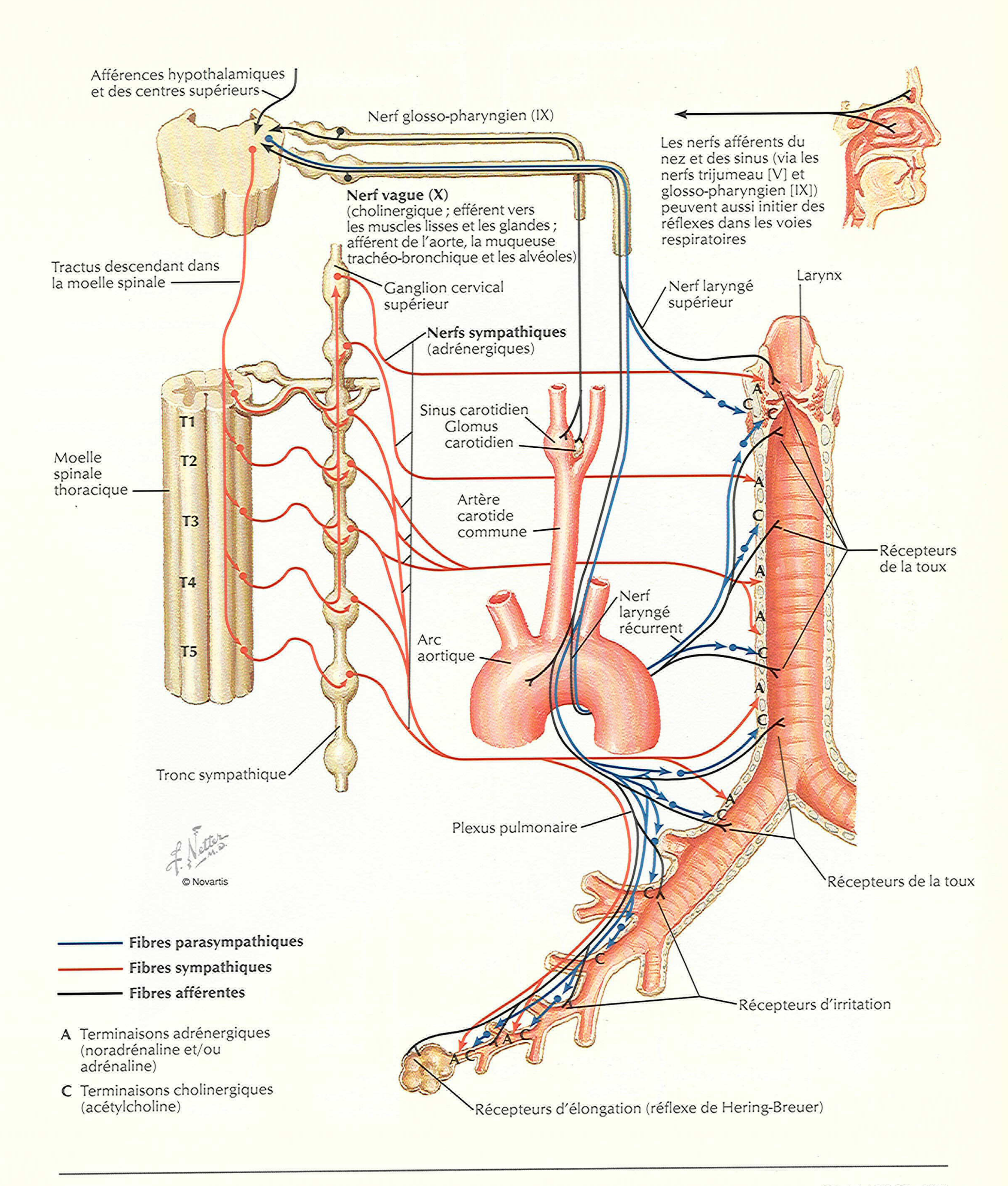
Poumon gauche : le lobe supérieur se draine dans les nœuds pulmonaires et broncho-pulmonaires (hilaires), les nœuds trachéo-bronchiques inférieurs de la carina, les nœuds trachéo-bronchiques supérieurs gauches, les nœuds paratrachéaux gauches et/ou (arc aortique) le nœud du ligament artériel, puis dans la veine brachio-céphalique via le tronc broncho-médiastinal gauche et le conduit thoracique. Le lobe inférieur gauche se draine aussi dans les nœuds pulmonaires et broncho-pulmonaires (hilaires) et vers les nœuds trachéo-bronchiques inférieurs (de la carina), mais ensuite, souvent dans les nœuds trachéo-bronchiques supérieurs droits, où il suit la même voie que la lymphe issue du poumon droit.

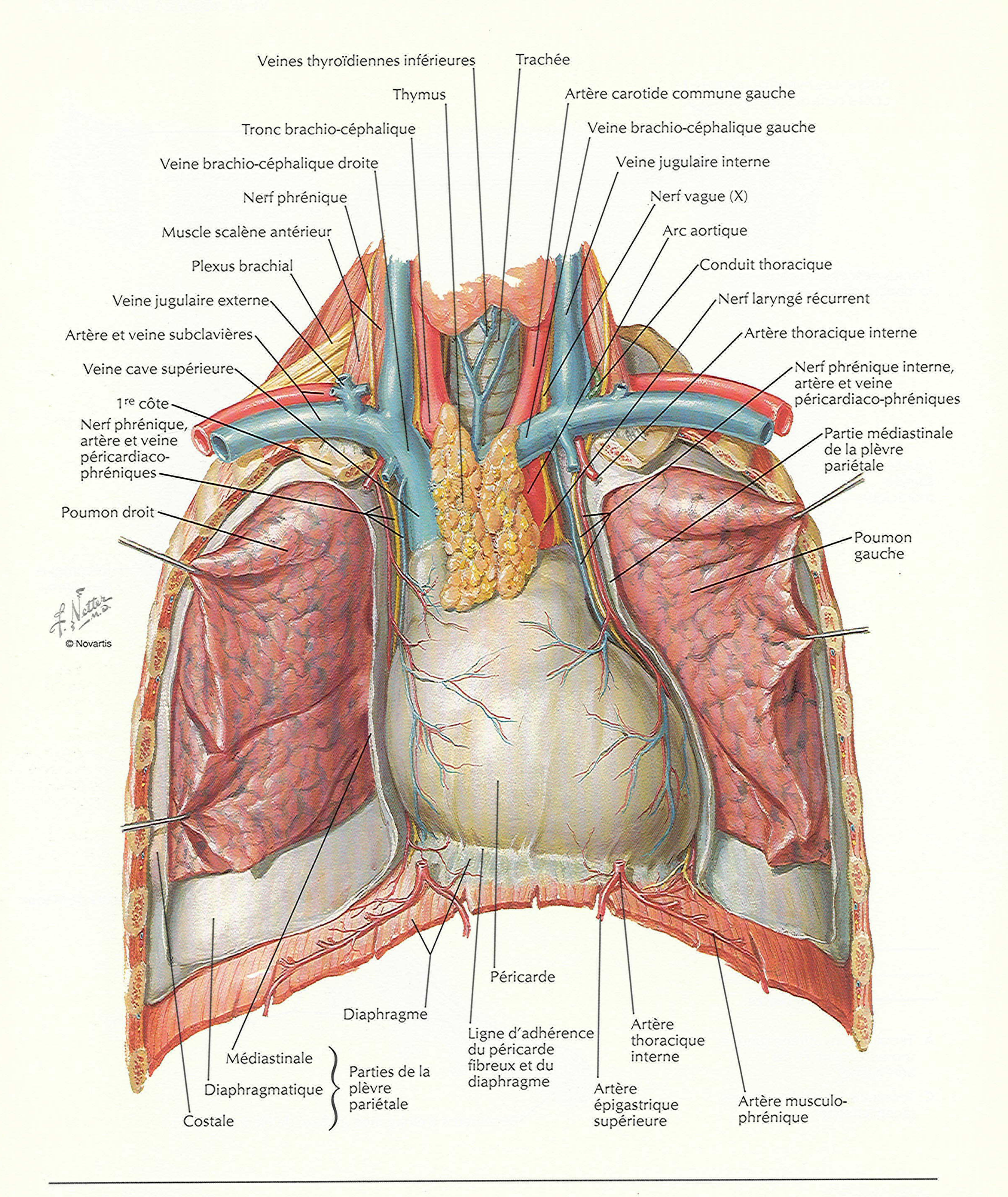
Nerfs autonomes dans le thorax

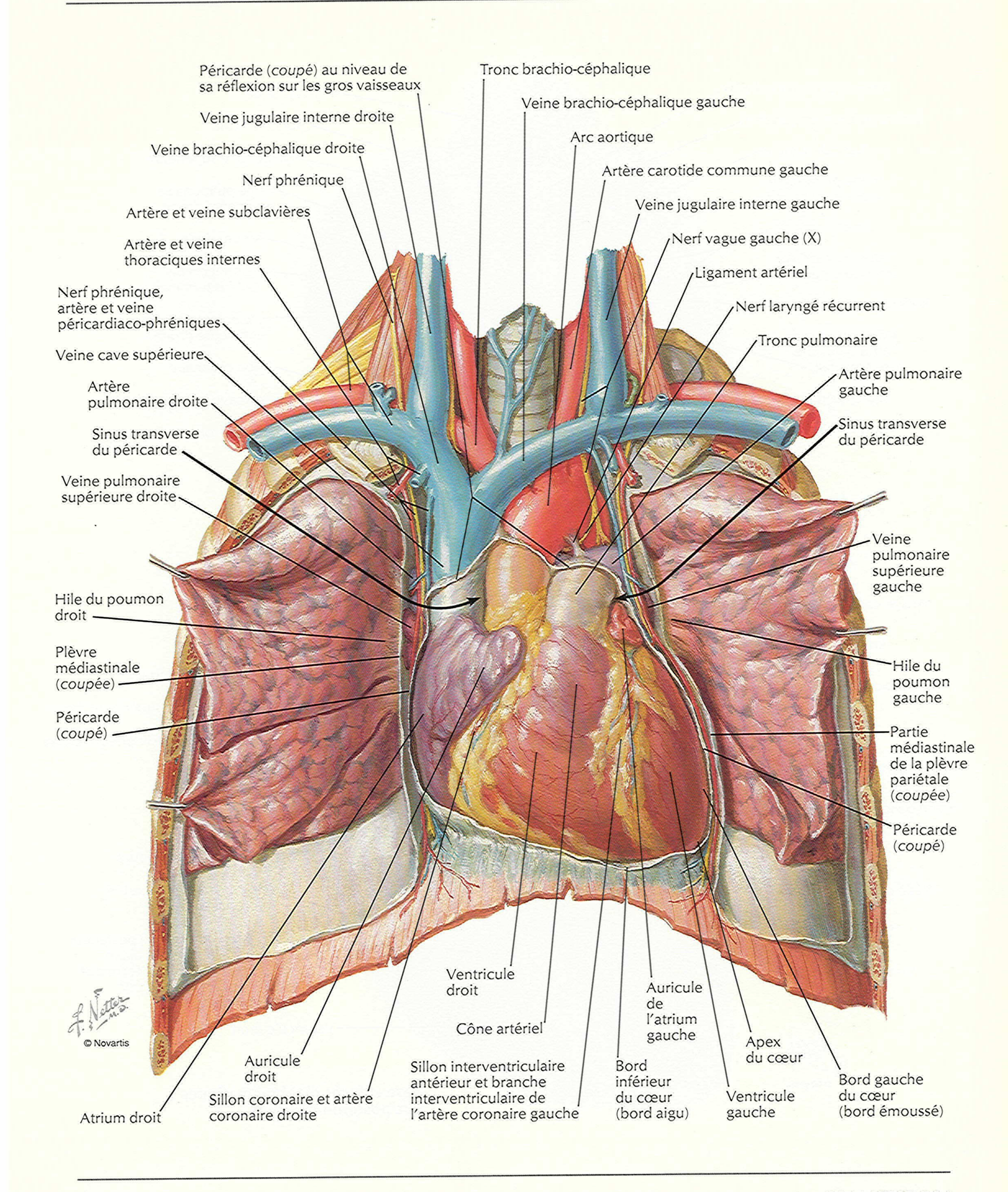
VOIR AUSSI LES PLANCHES 124, 125, 152, 300



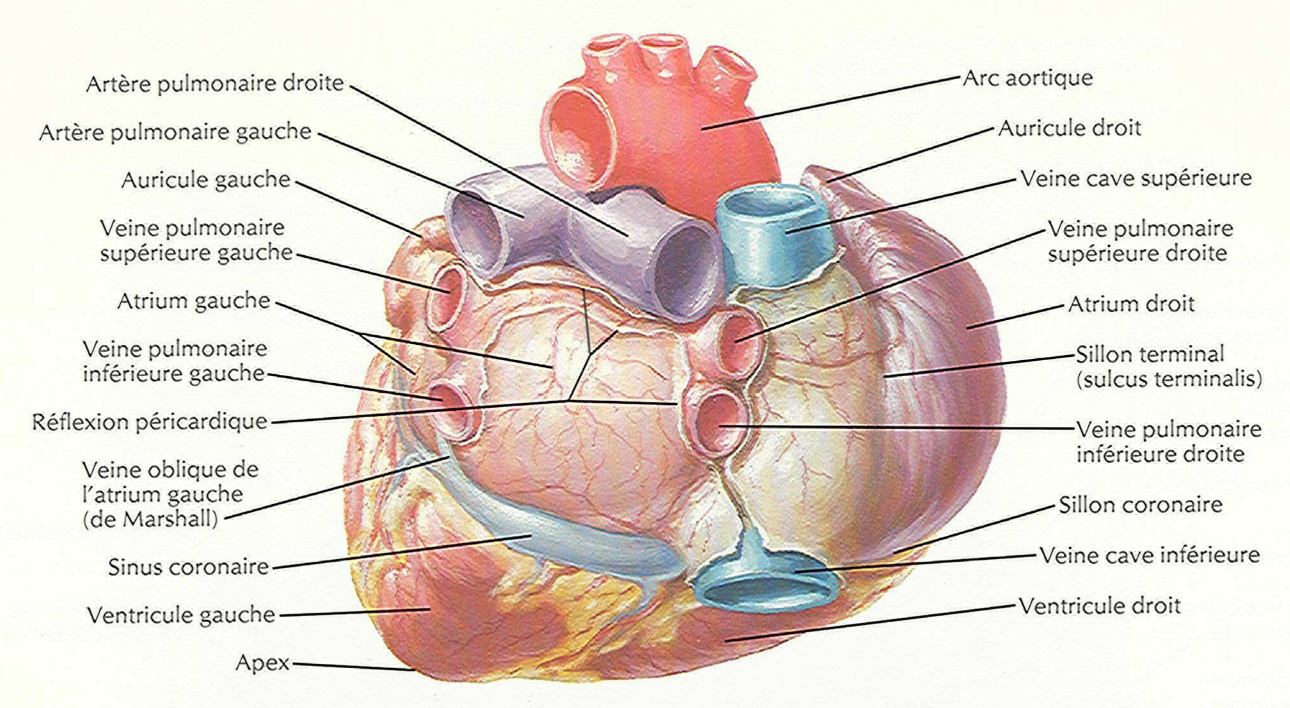
VOIR AUSSI LA PLANCHE 153




Veines thyroïdiennes inférieures
Trachée
Thymus
Artère carotide commune gauche
Tronc brachio-céphalique
Veine brachio-céphalique gauche
Veine brachio-céphalique droite
Veine jugulaire interne
Nerf phrénique
Nerf vague (X)
Muscle scalène antérieur
Arc aortique
Plexus brachial
Conduit thoracique
Veine jugulaire externe
Nerf laryngé récurrent
Artère et veine subclavières
Artère thoracique interne
Veine cave supérieure
Nerf phrénique interne, artère et veine péricardiaco-phréniques
1re côte
Nerf phrénique, artère et veine péricardiaco-phréniques
Partie médiastinale de la plèvre pariétale
Poumon droit
Poumon gauche
F. Netter M.D.
© Novartis
Péricarde
Diaphragme
Ligne d'adhérence du péricarde fibreux et du diaphragme
Artère thoracique interne
Médiastinale
Diaphragmatique
Costale
Parties de la plèvre pariétale
Artère épigastrique supérieure
Artère musculo-phrénique


Péricarde (coupé) au niveau de
sa réflexion sur les gros vaisseaux
Veine jugulaire interne droite
Veine brachio-céphalique droite
Nerf phrénique
Artère et veine subclavières
Artère et veine
thoraciques internes
Nerf phrénique,
artère et veine
péricardiaco-phréniques
Veine cave supérieure
Artère
pulmonaire droite
Sinus transverse
du péricarde
Veine pulmonaire
supérieure droite
Hile du poumon
droit
Plèvre
médiastinale
(coupée)
Péricarde
(coupé)
Tronc brachio-céphalique
Veine brachio-céphalique gauche
Arc aortique
Artère carotide commune gauche
Veine jugulaire interne gauche
Nerf vague gauche (X)
Ligament artériel
Nerf laryngé récurrent
Tronc pulmonaire
Artère pulmonaire
gauche
Sinus transverse
du péricarde
Veine
pulmonaire
supérieure
gauche
Hile du
poumon
gauche
Partie
médiastinale
de la plèvre
pariétale
(coupée)
Péricarde
(coupé)
Ventricule
droit
Cône artériel
Auricule
de
l'atrium
gauche
Apex
du cœur
Auricule
droit
Sillon coronaire et artère
coronaire droite
Sillon interventriculaire
antérieur et branche
interventriculaire de
l'artère coronaire gauche
Bord
inférieur
du cœur
(bord aigu)
Ventricule
gauche
Bord gauche
du cœur
(bord émoussé)
Atrium droit
F. Netter M.D.
© Novartis

Cœur : base et faces diaphragmatiques

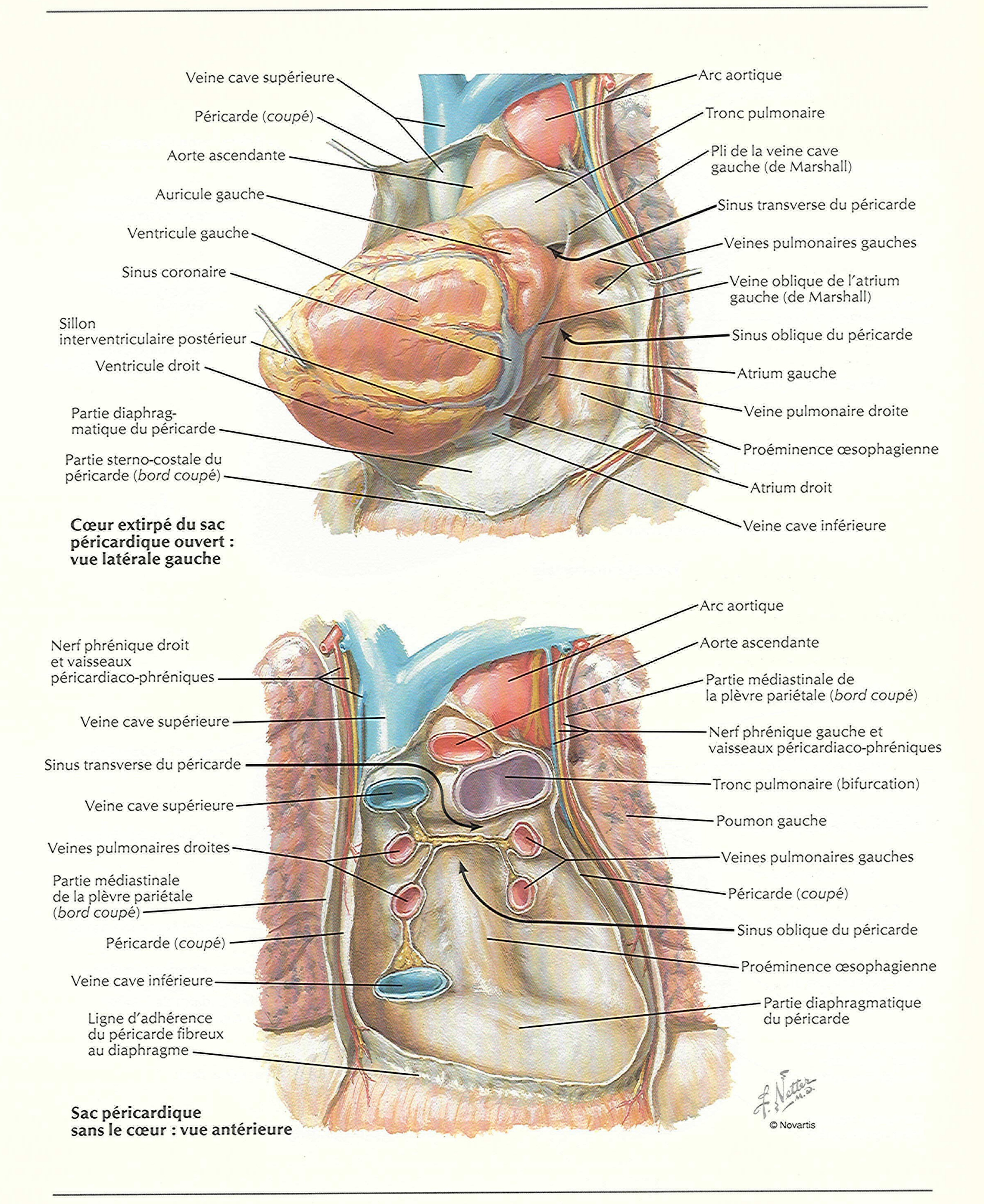


Base du cœur : vue postérieure

Artère subclavière gauche
Artère carotide commune gauche
Artère pulmonaire gauche
Veine pulmonaire supérieure gauche
Auricule gauche
Veine pulmonaire inférieure gauche
Veine oblique de l'atrium gauche
Atrium gauche
Réflexion péricardique
Sinus coronaire
Ventricule gauche
Tronc brachio-céphalique
Veine cave supérieure
Arc aortique
Artère pulmonaire droite
Veine pulmonaire supérieure droite
Veine pulmonaire inférieure droite
Sillon terminal (sulcus terminalis)
Atrium droit
Veine cave inférieure
Sillon coronaire et artère coronaire droite
Sillon interventriculaire postérieur et branche interventriculaire postérieure de l'artère coronaire droite (artère descendante postérieure)
Ventricule droit

F. Netter M.D.

Base et faces diaphragmatiques : vue postéro-inférieure

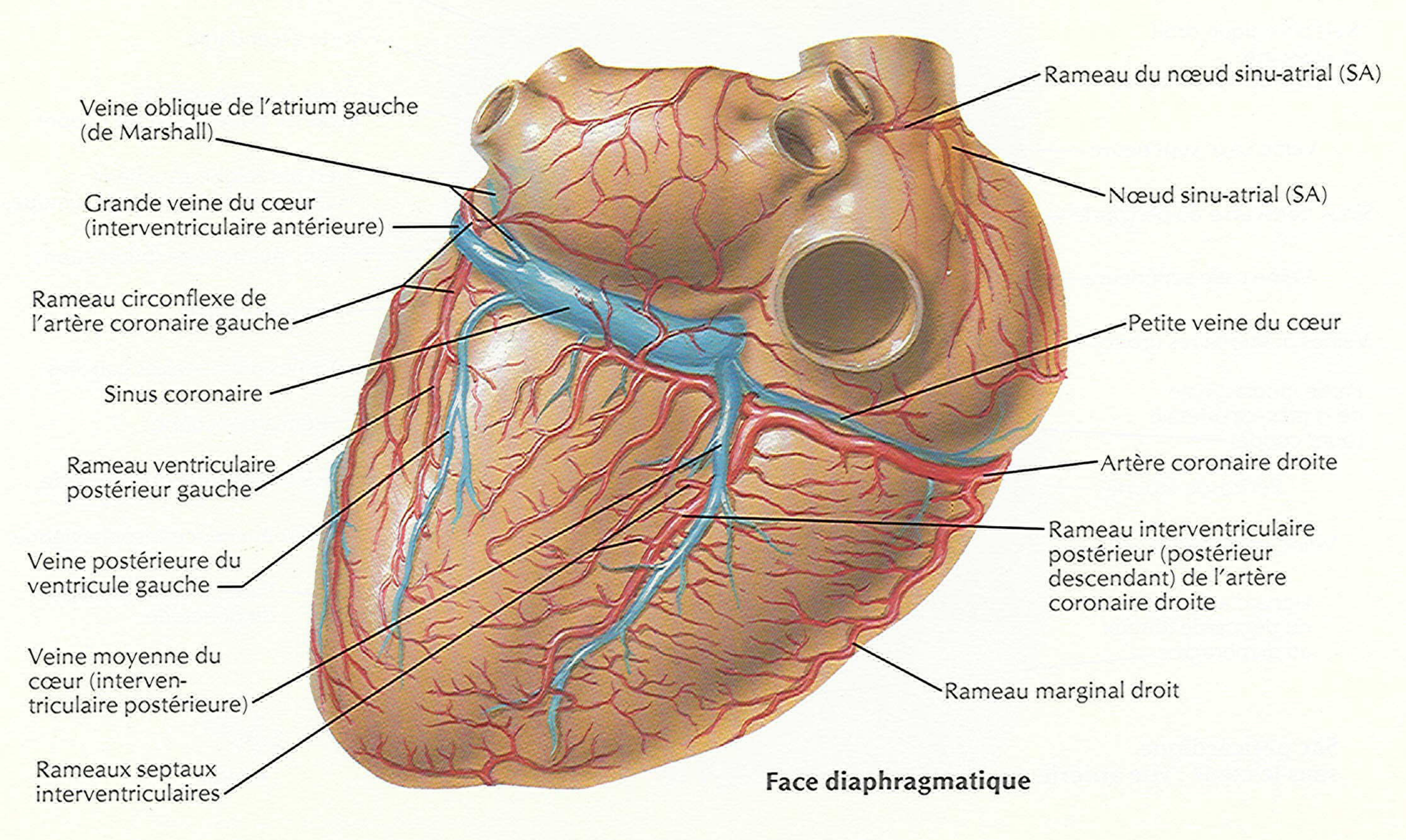


Cœur extirpé du sac péricardique ouvert : vue latérale gauche

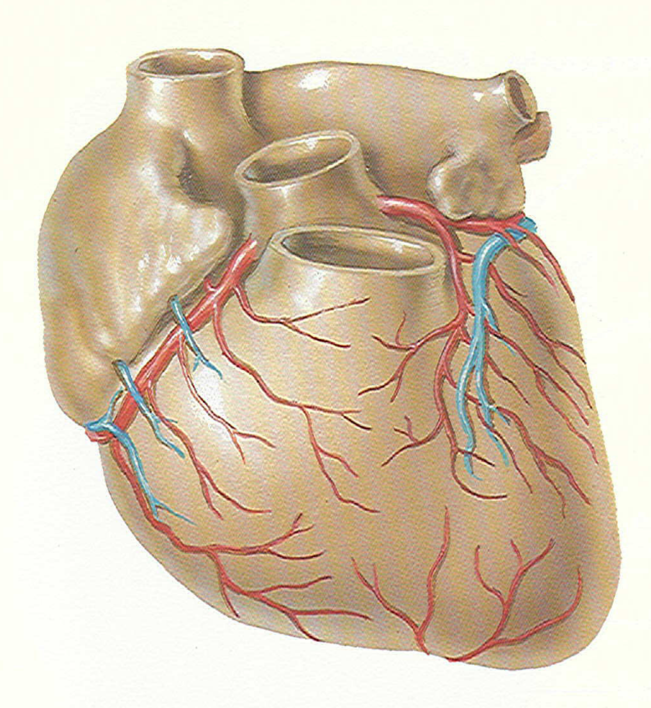
Sac péricardique sans le cœur : vue antérieure

Rameau du nœud sinu-atrial (SA)
Rameaux atriaux de l'artère coronaire droite
Artère coronaire droite
Veines cardiaques antérieures pour le ventricule droit
Petite veine du cœur
Rameau marginal droit de l'artère coronaire droite
Rameaux septaux interventriculaires
Artère coronaire gauche
Rameau circonflexe de l'artère coronaire gauche
Grande veine du cœur (interventriculaire antérieure)
Rameau antérieur interventriculaire de l'artère coronaire gauche

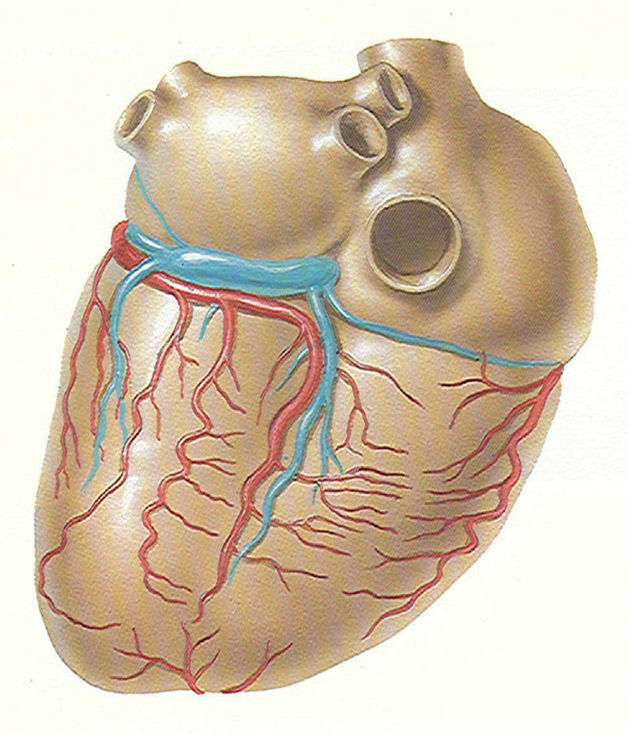
Face sterno-costale



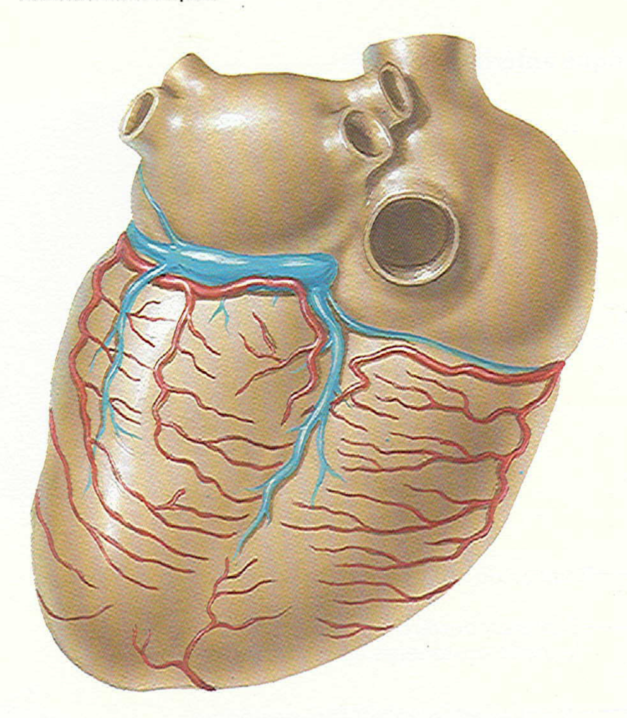
Face diaphragmatique



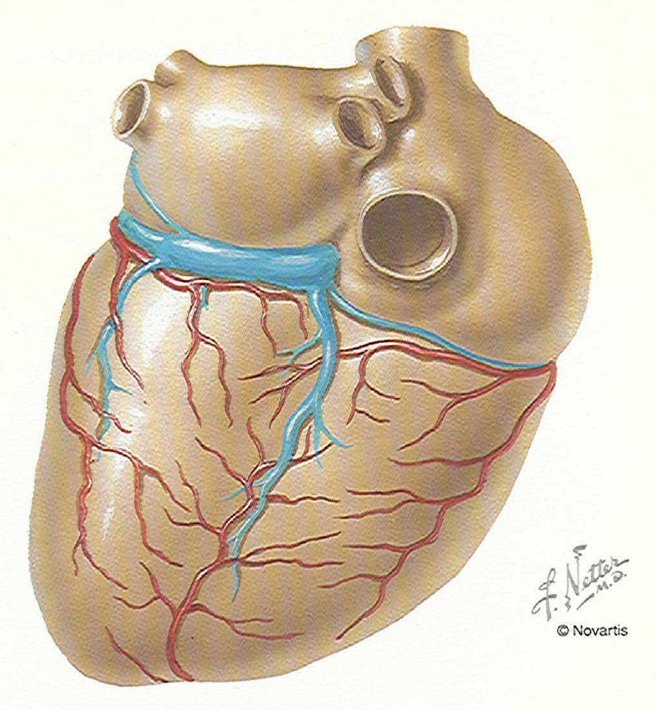
Très court rameau interventriculaire antérieur (antérieur descendant gauche) de l'artère coronaire gauche. La partie apicale de la face antérieure (sterno-costale) est vascularisée par des branches du rameau interventriculaire postérieur (descendant postérieur) de l'artère coronaire droite contournant l'apex



Rameau interventriculaire postérieur (postérieur descendant) dérivant du rameau circonflexe de l'artère coronaire gauche au lieu de l'artère coronaire droite



Absence du rameau interventriculaire postérieur (postérieur descendant). Territoire vascularisé principalement par de petites branches du rameau circonflexe de l'artère coronaire gauche et de l'artère coronaire droite



Absence d'un rameau interventriculaire postérieur (postérieur descendant). Territoire vascularisé principalement par un prolongement du rameau interventriculaire antérieur (antérieur descendant gauche) contournant l'apex

Artère coronaire droite : vue oblique antérieure gauche

Artériographie

Rameau du nœud sinu-atrial (SA)

Artère coronaire droite

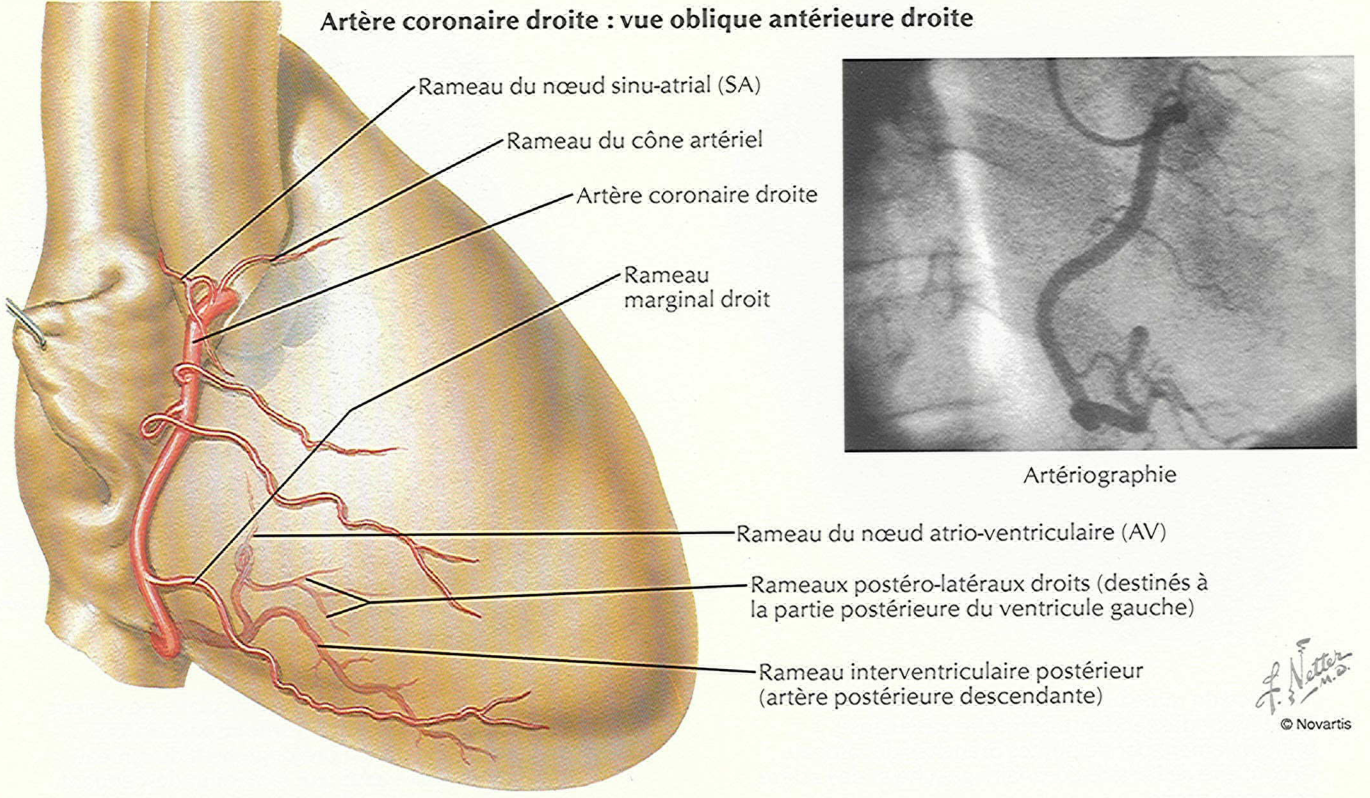
Rameau du nœud atrio-ventriculaire (AV)

Rameaux de la face dorsale du ventricule gauche

Rameau marginal droit

Rameau interventriculaire postérieur (artère postérieure descendante)

Artère coronaire droite : vue oblique antérieure droite



Artériographie

Artère coronaire gauche : vue oblique antérieure gauche

Artère coronaire gauche

Rameau circonflexe

Artériographie

Rameau interventriculaire antérieur (antérieur descendant gauche)

Branches diagonales du rameau interventriculaire antérieur

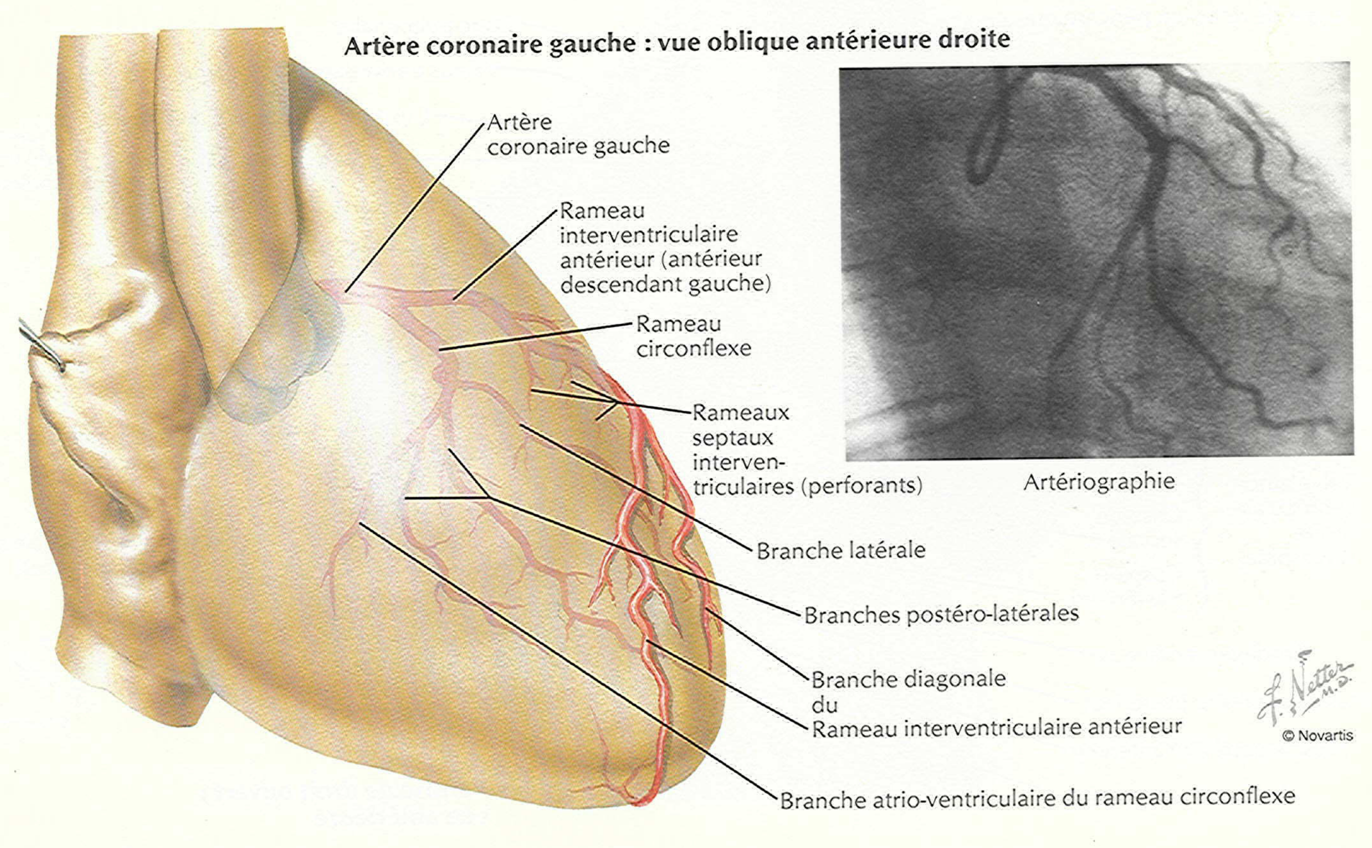
Branche atrio-ventriculaire du rameau circonflexe

Branche latérale

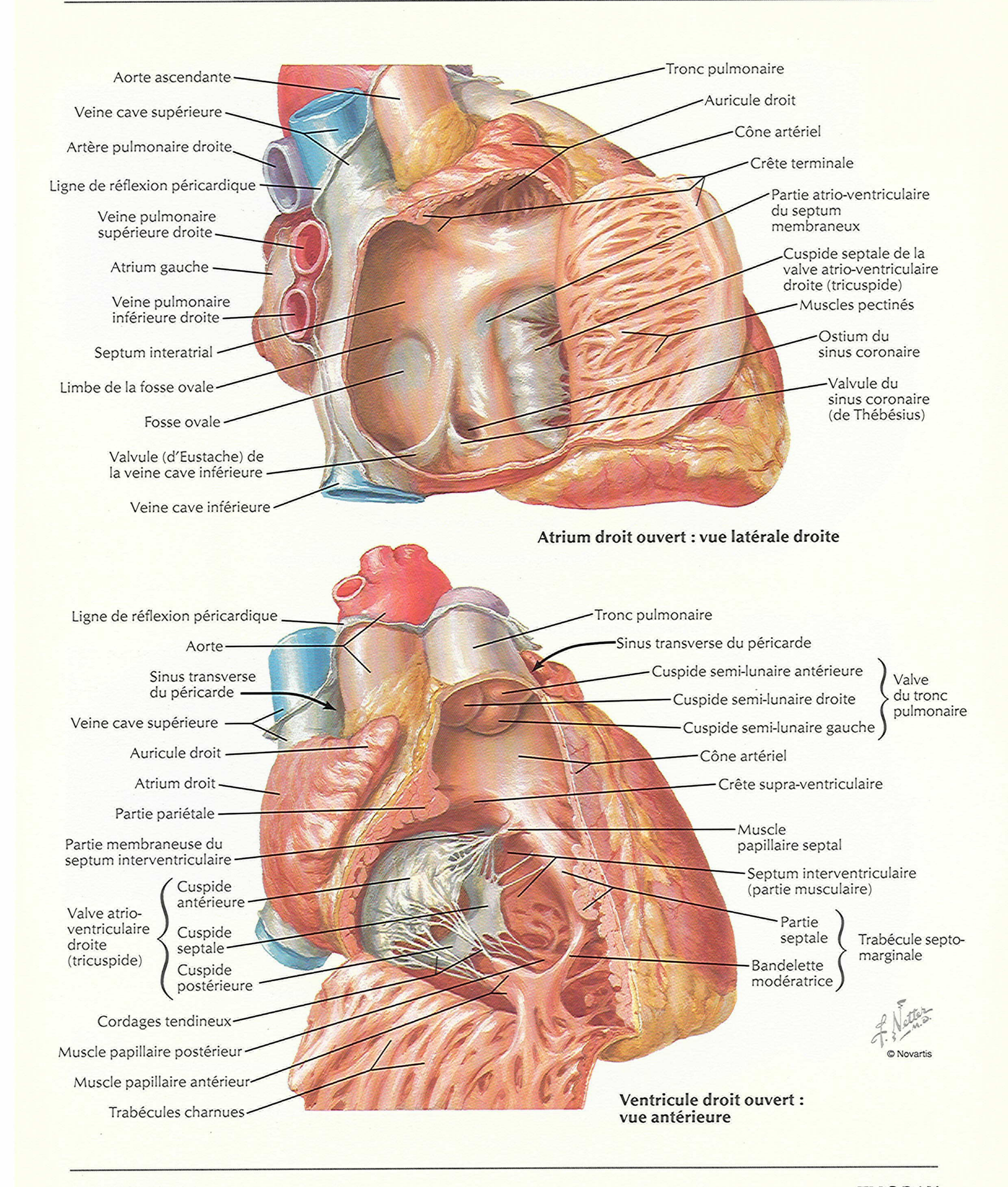
Branches postéro-latérales

Rameaux septaux interventriculaires (perforants)

Artère coronaire gauche : vue oblique antérieure droite

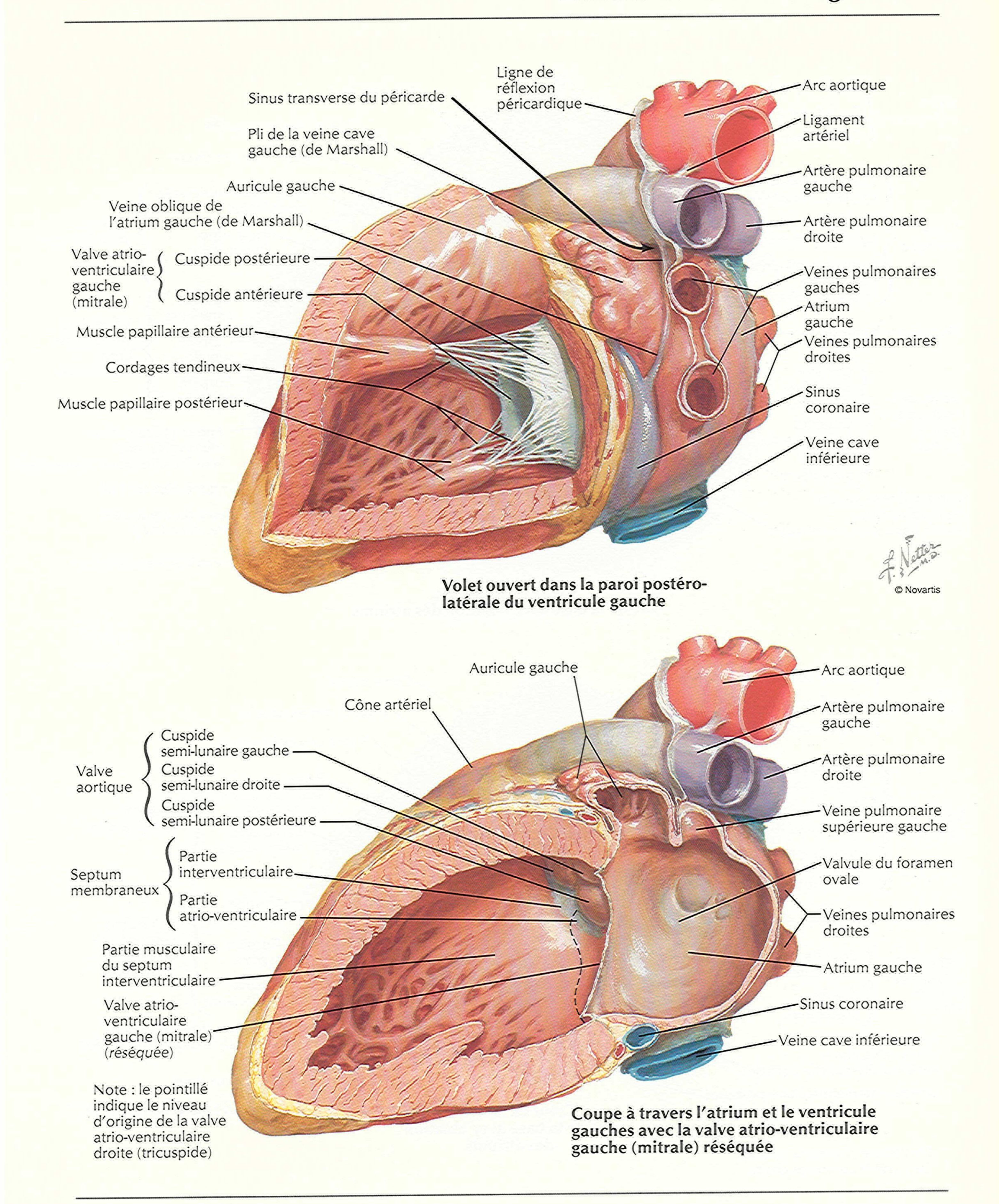


Atrium et ventricule droits



Atrium droit ouvert : vue latérale droite

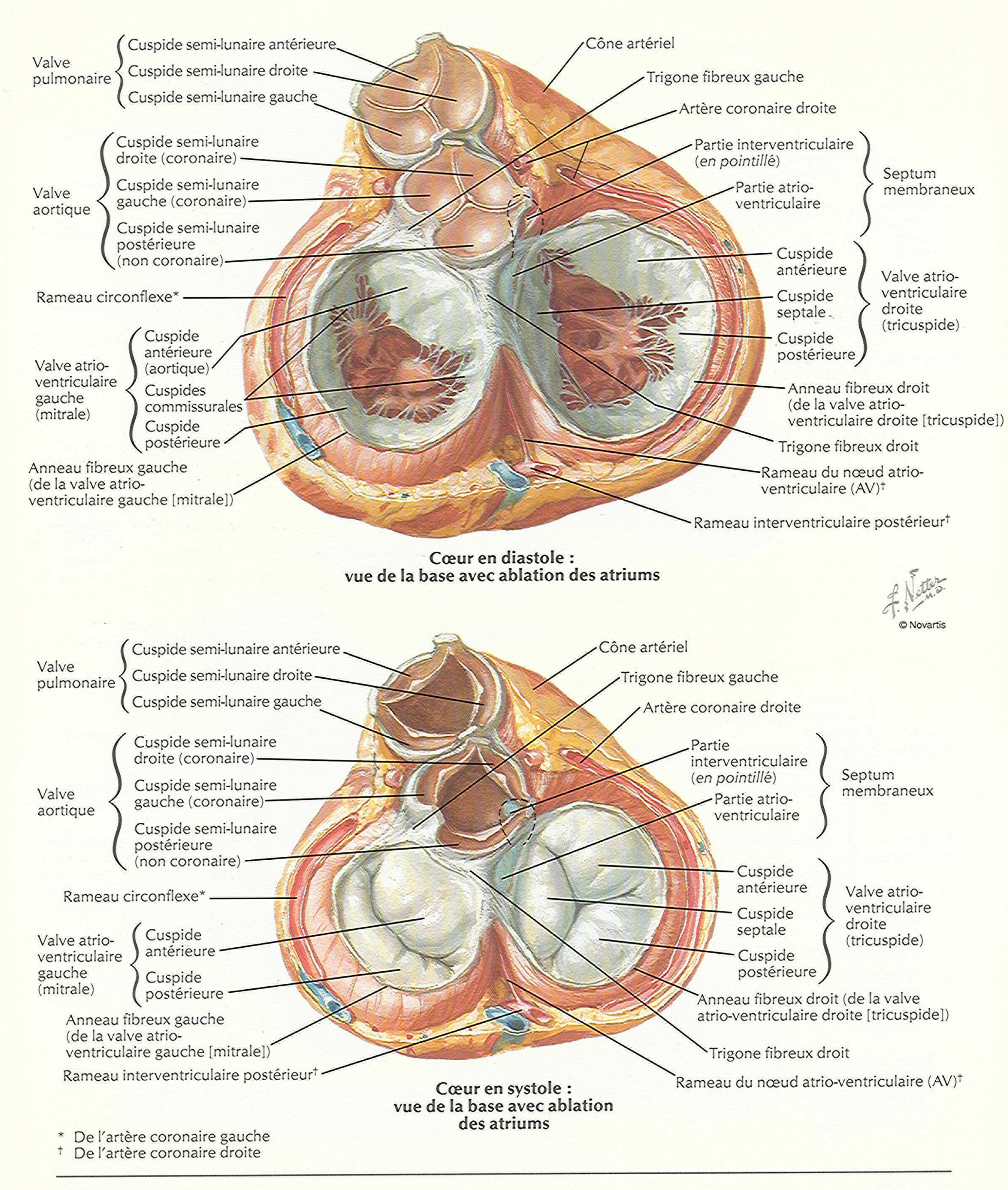
Ventricule droit ouvert : vue antérieure



Volet ouvert dans la paroi postéro-latérale du ventricule gauche

Coupe à travers l'atrium et le ventricule gauches avec la valve atrio-ventriculaire gauche (mitrale) réséquée

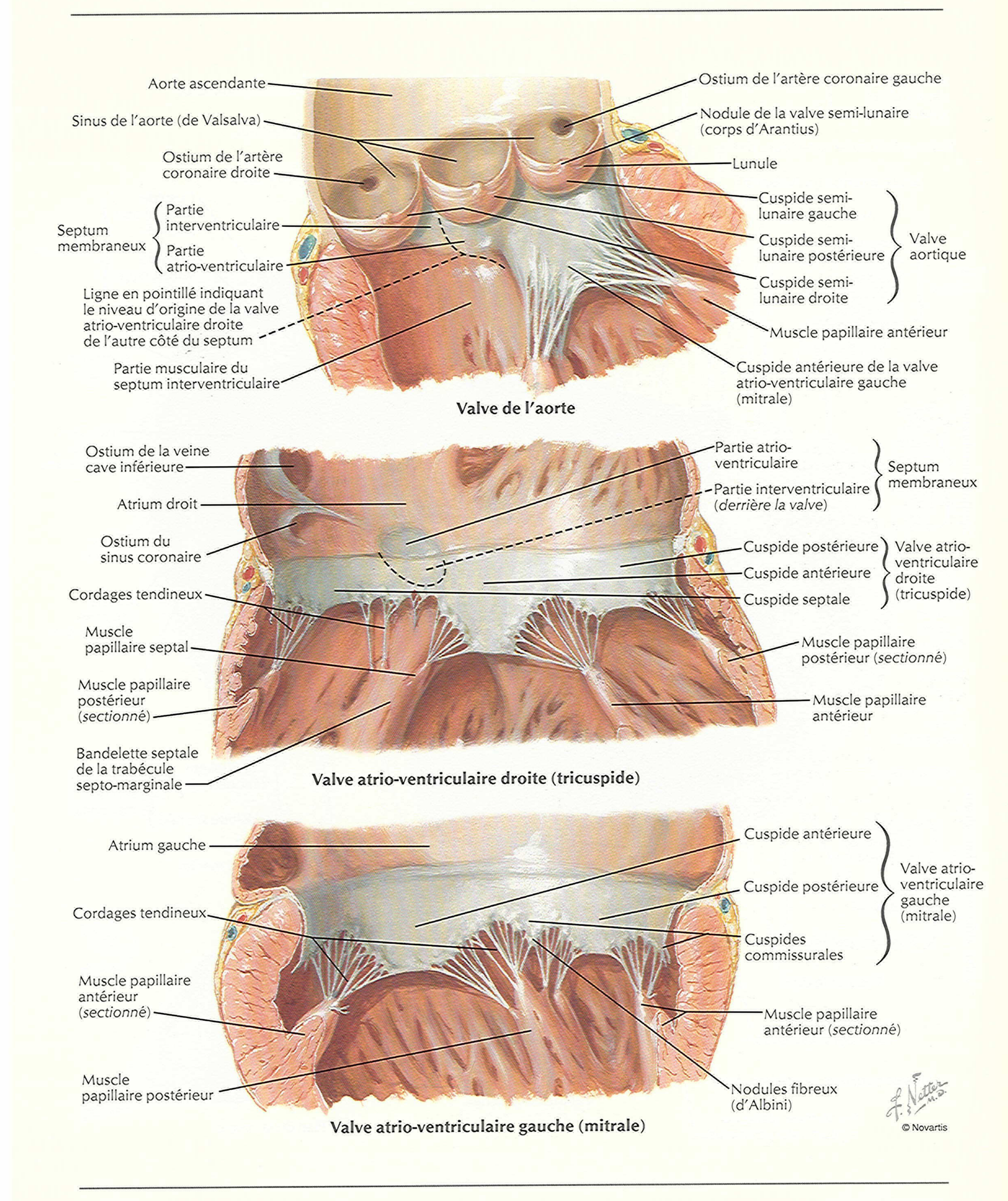
Valves et squelette fibreux du cœur



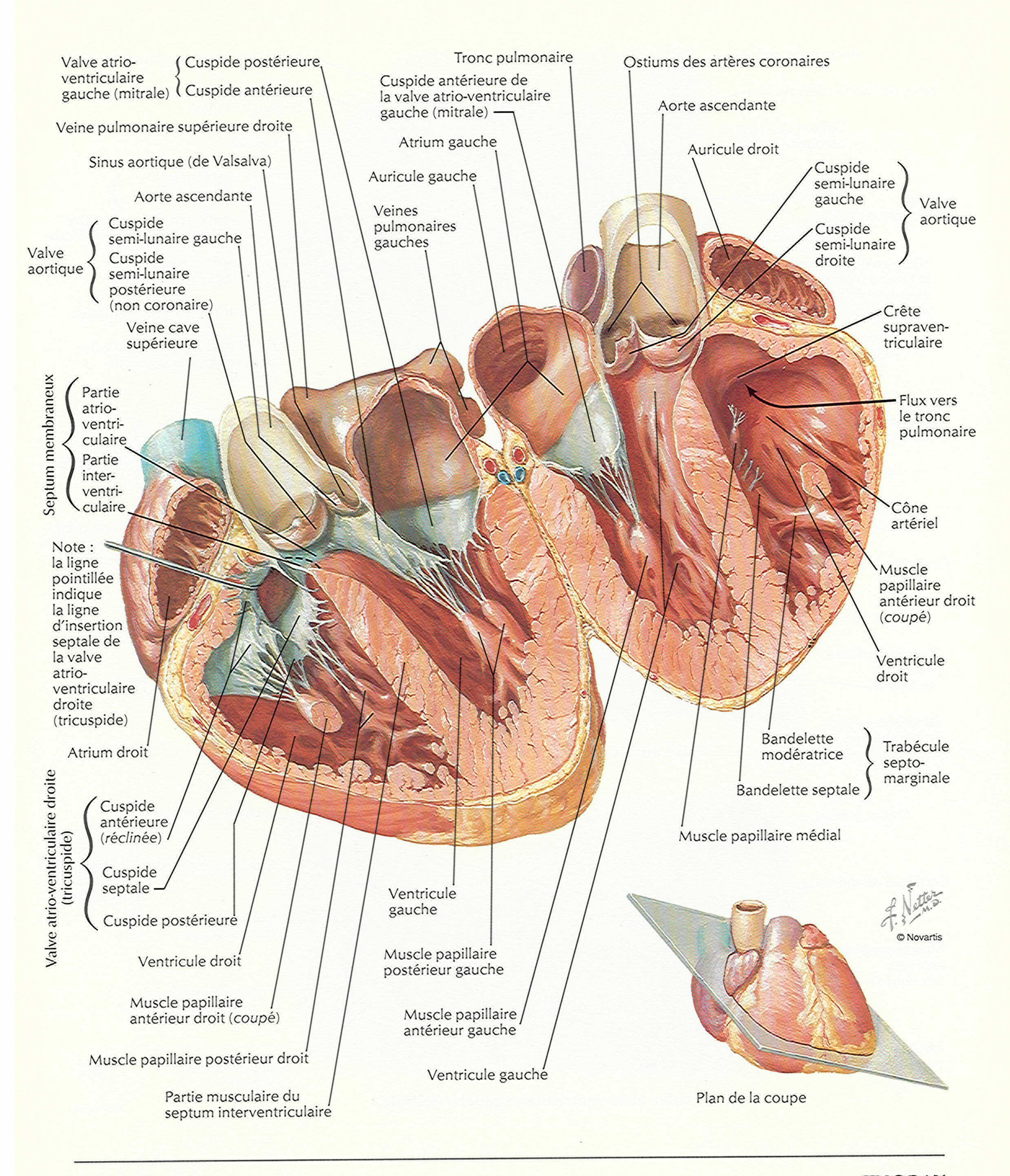
Cœur en diastole : vue de la base avec ablation des atriums

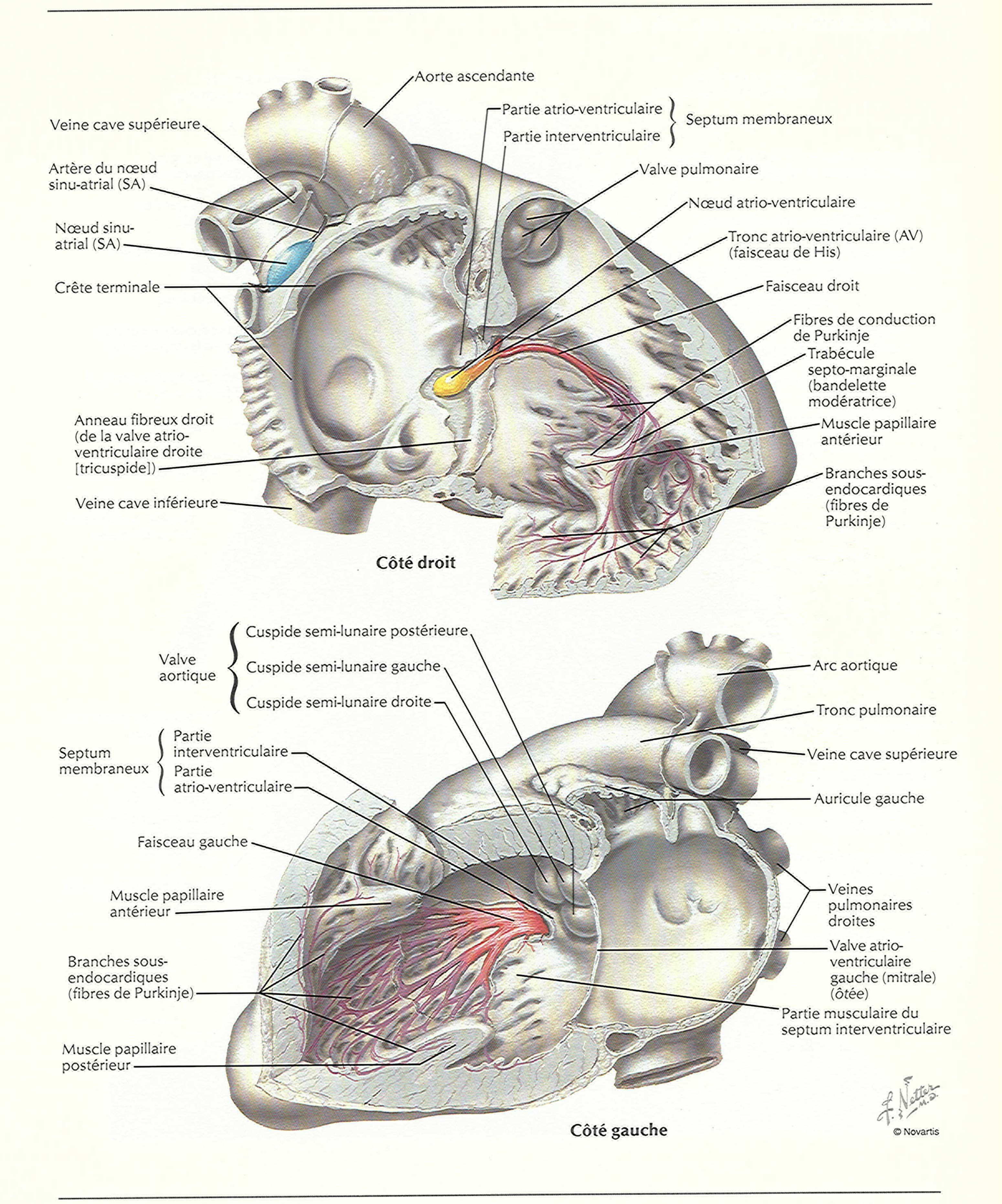
Cœur en systole : vue de la base avec ablation des atriums

* De l'artère coronaire gauche
† De l'artère coronaire droite


Aorte ascendante
Sinus de l'aorte (de Valsalva)
Ostium de l'artère coronaire droite
Septum membraneux
Partie interventriculaire
Partie atrio-ventriculaire
Ligne en pointillé indiquant le niveau d'origine de la valve atrio-ventriculaire droite de l'autre côté du septum
Partie musculaire du septum interventriculaire
Ostium de l'artère coronaire gauche
Nodule de la valve semi-lunaire (corps d'Arantius)
Lunule
Cuspide semi-lunaire gauche
Cuspide semi-lunaire postérieure
Cuspide semi-lunaire droite
Valve aortique
Muscle papillaire antérieur
Cuspide antérieure de la valve atrio-ventriculaire gauche (mitrale)
Valve de l'aorte
Ostium de la veine cave inférieure
Atrium droit
Ostium du sinus coronaire
Cordages tendineux
Muscle papillaire septal
Muscle papillaire postérieur (*sectionné*)
Bandelette septale de la trabécule septo-marginale
Partie atrio-ventriculaire
Partie interventriculaire (*derrière la valve*)
Septum membraneux
Cuspide postérieure
Cuspide antérieure
Cuspide septale
Valve atrio-ventriculaire droite (tricuspide)
Muscle papillaire postérieur (*sectionné*)
Muscle papillaire antérieur
Valve atrio-ventriculaire droite (tricuspide)
Atrium gauche
Cordages tendineux
Muscle papillaire antérieur (*sectionné*)
Muscle papillaire postérieur
Cuspide antérieure
Cuspide postérieure
Cuspides commissurales
Valve atrio-ventriculaire gauche (mitrale)
Muscle papillaire antérieur (*sectionné*)
Nodules fibreux (d'Albini)
F. Netter M.D.
© Novartis
Valve atrio-ventriculaire gauche (mitrale)

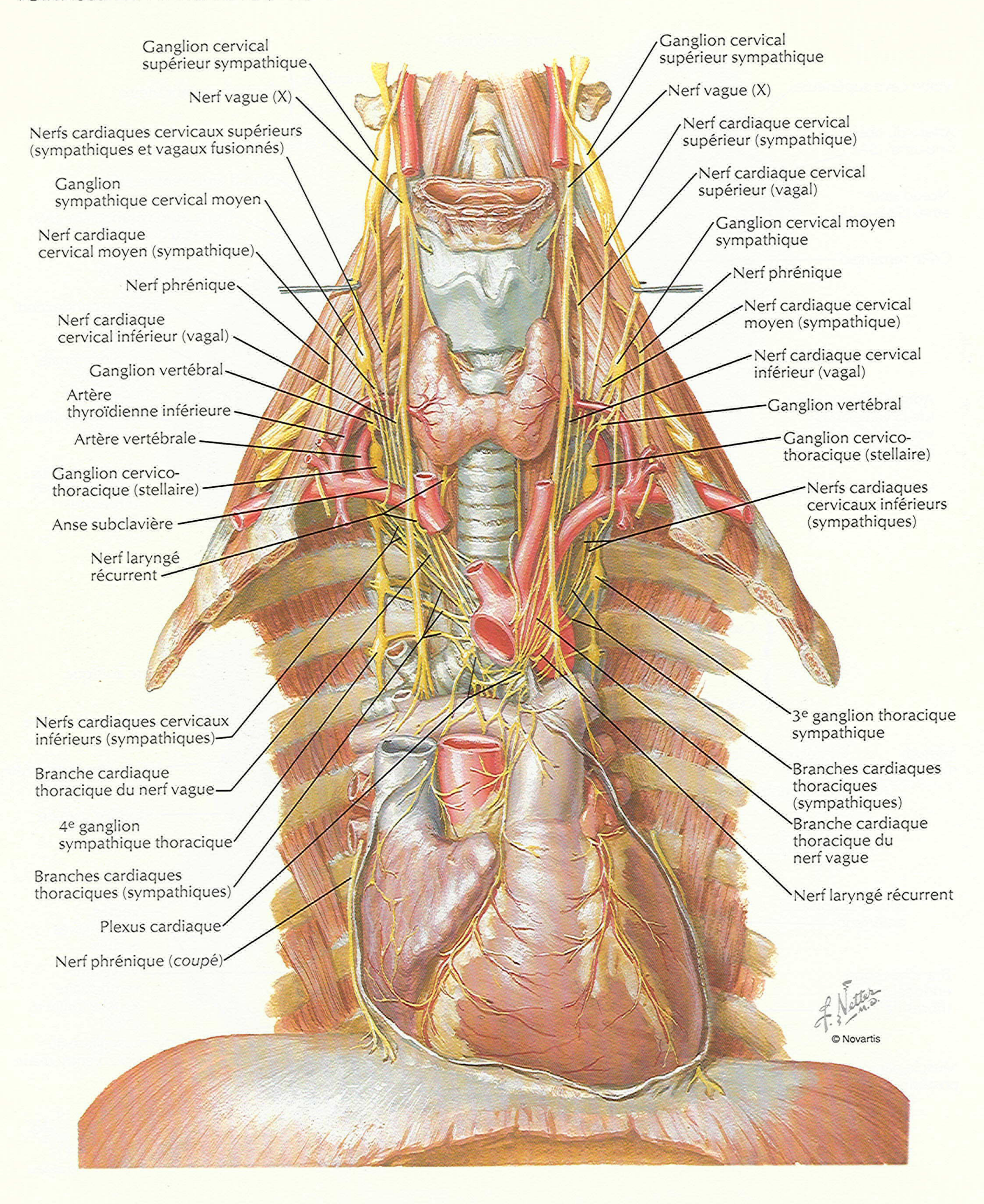
Atriums, ventricules et septum interventriculaire



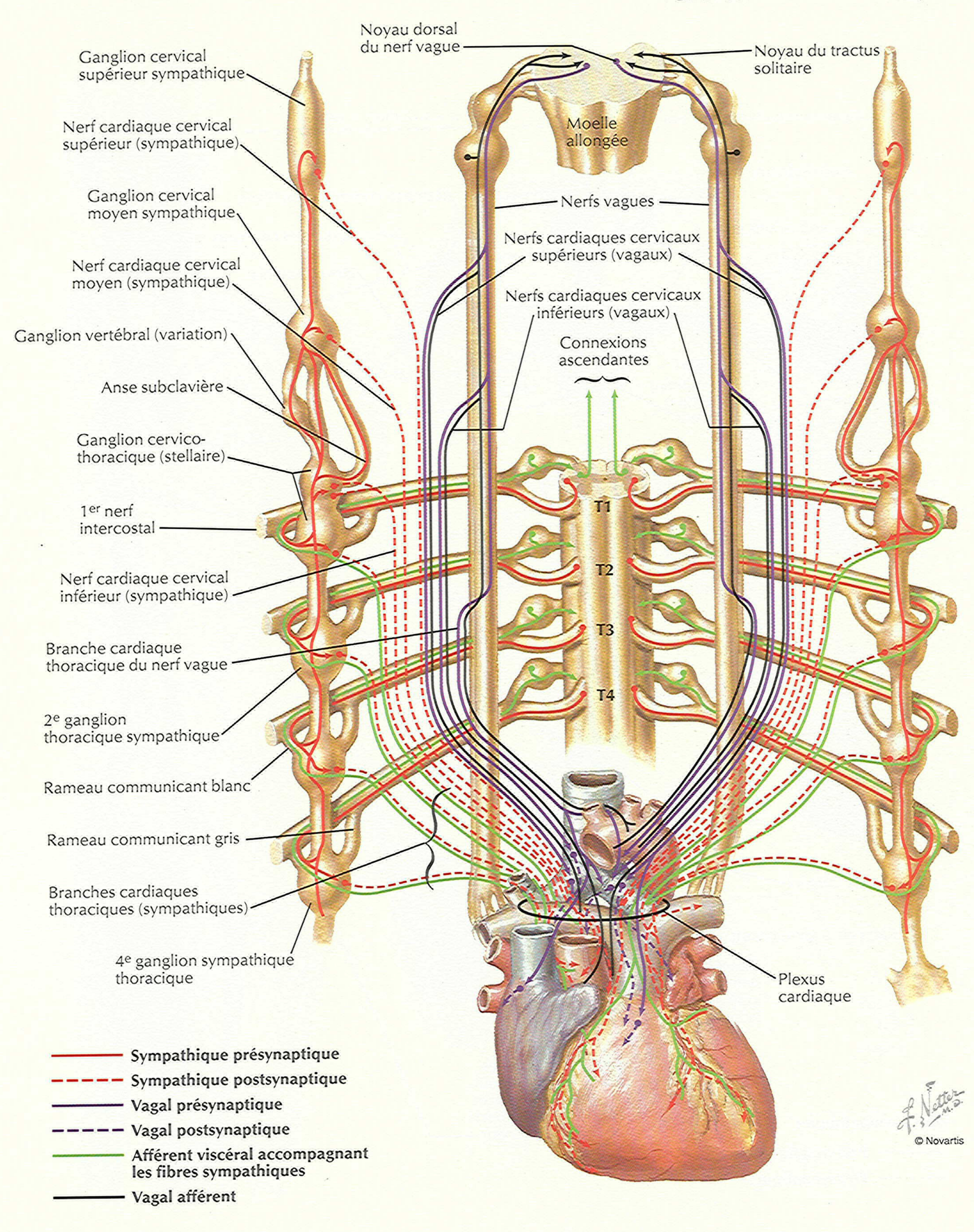

Aorte ascendante
Veine cave supérieure
Artère du nœud sinu-atrial (SA)
Nœud sinu-atrial (SA)
Crête terminale
Partie atrio-ventriculaire
Partie interventriculaire
Septum membraneux
Valve pulmonaire
Nœud atrio-ventriculaire
Tronc atrio-ventriculaire (AV) (faisceau de His)
Faisceau droit
Fibres de conduction de Purkinje
Trabécule septo-marginale (bandelette modératrice)
Muscle papillaire antérieur
Branches sous-endocardiques (fibres de Purkinje)
Anneau fibreux droit (de la valve atrio-ventriculaire droite [tricuspide])
Veine cave inférieure
Côté droit
Valve aortique
Cuspide semi-lunaire postérieure
Cuspide semi-lunaire gauche
Cuspide semi-lunaire droite
Septum membraneux
Partie interventriculaire
Partie atrio-ventriculaire
Faisceau gauche
Muscle papillaire antérieur
Branches sous-endocardiques (fibres de Purkinje)
Muscle papillaire postérieur
Arc aortique
Tronc pulmonaire
Veine cave supérieure
Auricule gauche
Veines pulmonaires droites
Valve atrio-ventriculaire gauche (mitrale) (ôtée)
Partie musculaire du septum interventriculaire
Côté gauche
F. Netter M.D.
© Novartis

Nerfs du cœur

VOIR AUSSI LES PLANCHES 124, 152, 198

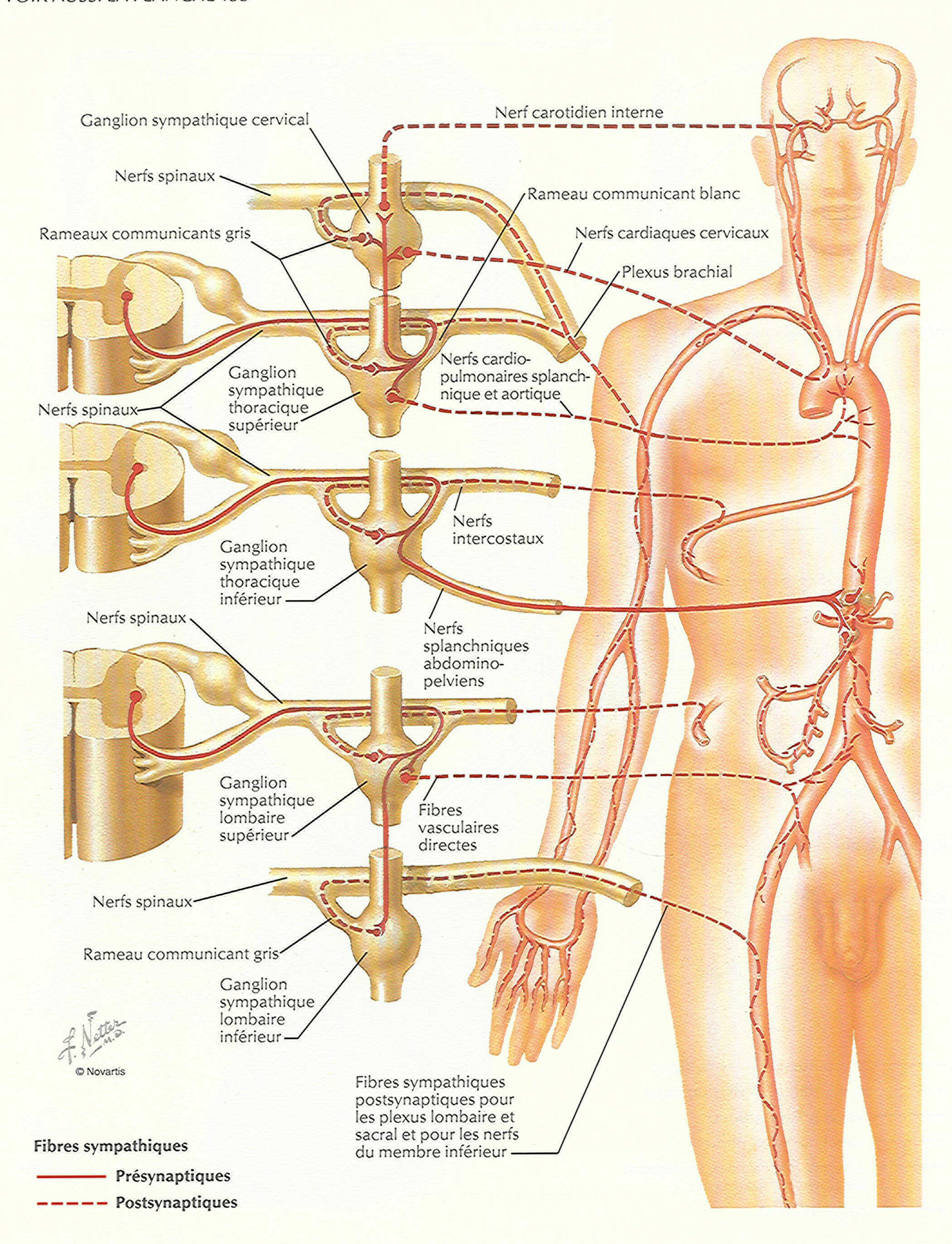


VOIR AUSSI LES PLANCHES 120, 153

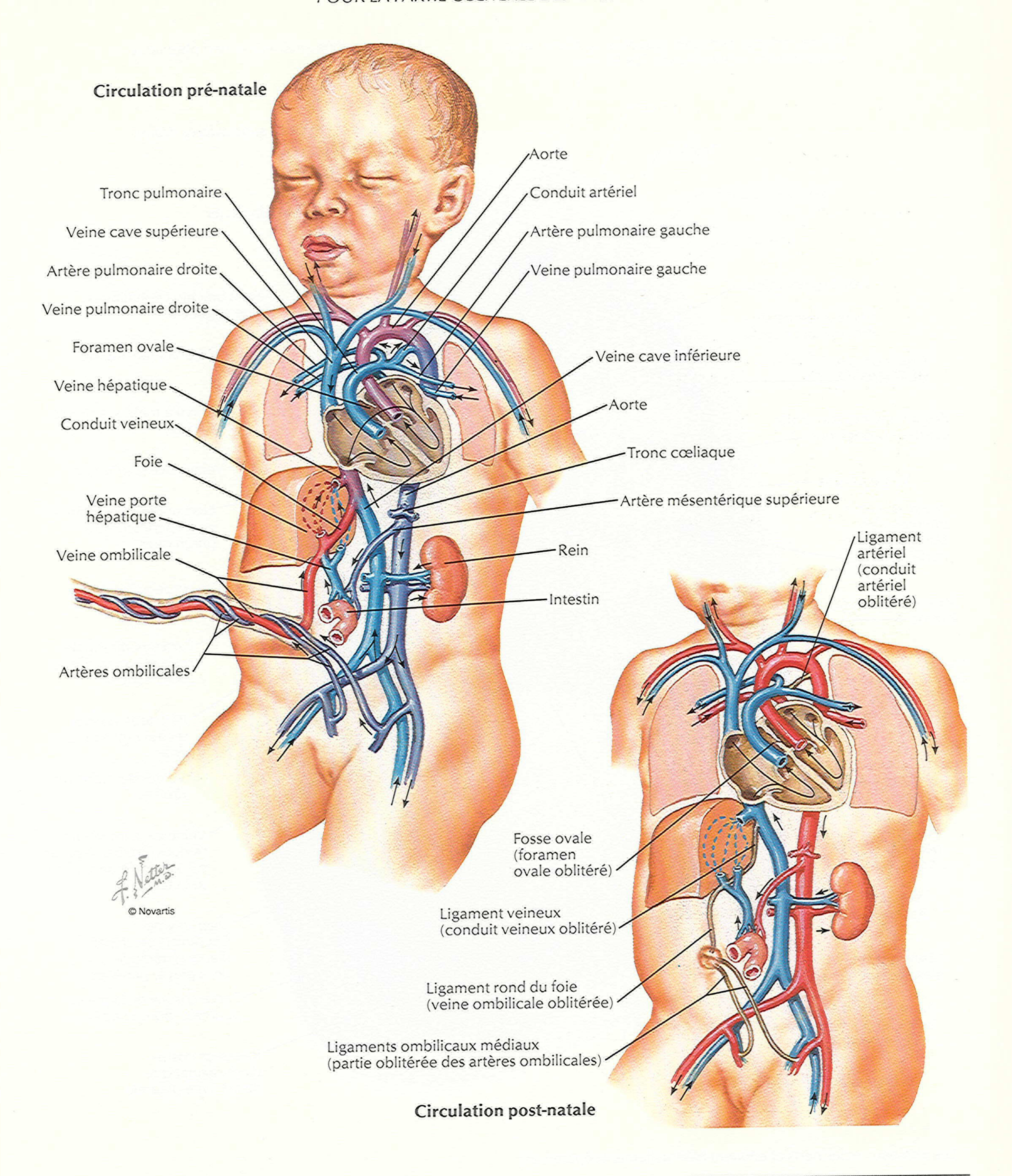


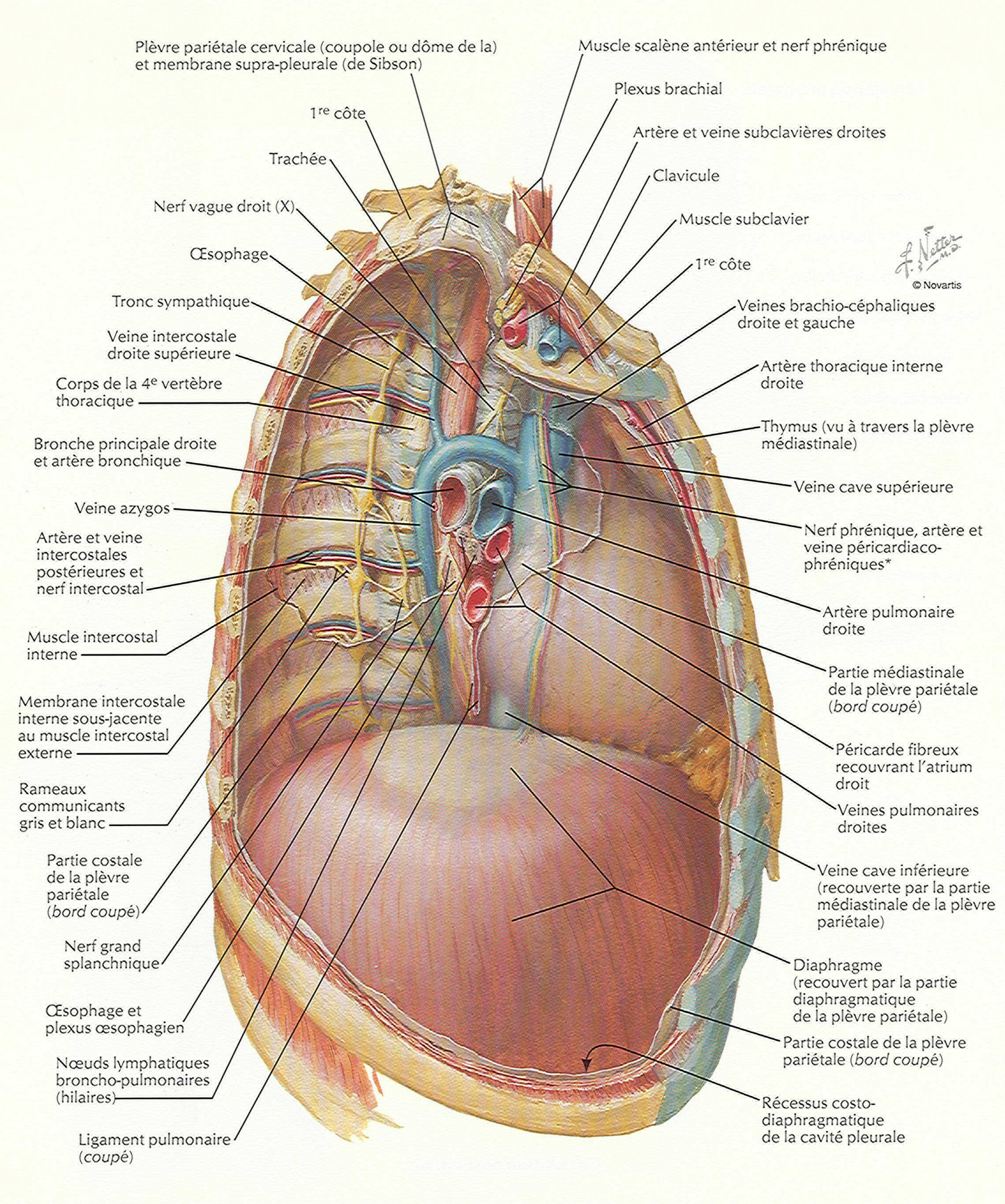
Innervation des vaisseaux sanguins : schéma

VOIR AUSSI LA PLANCHE 153



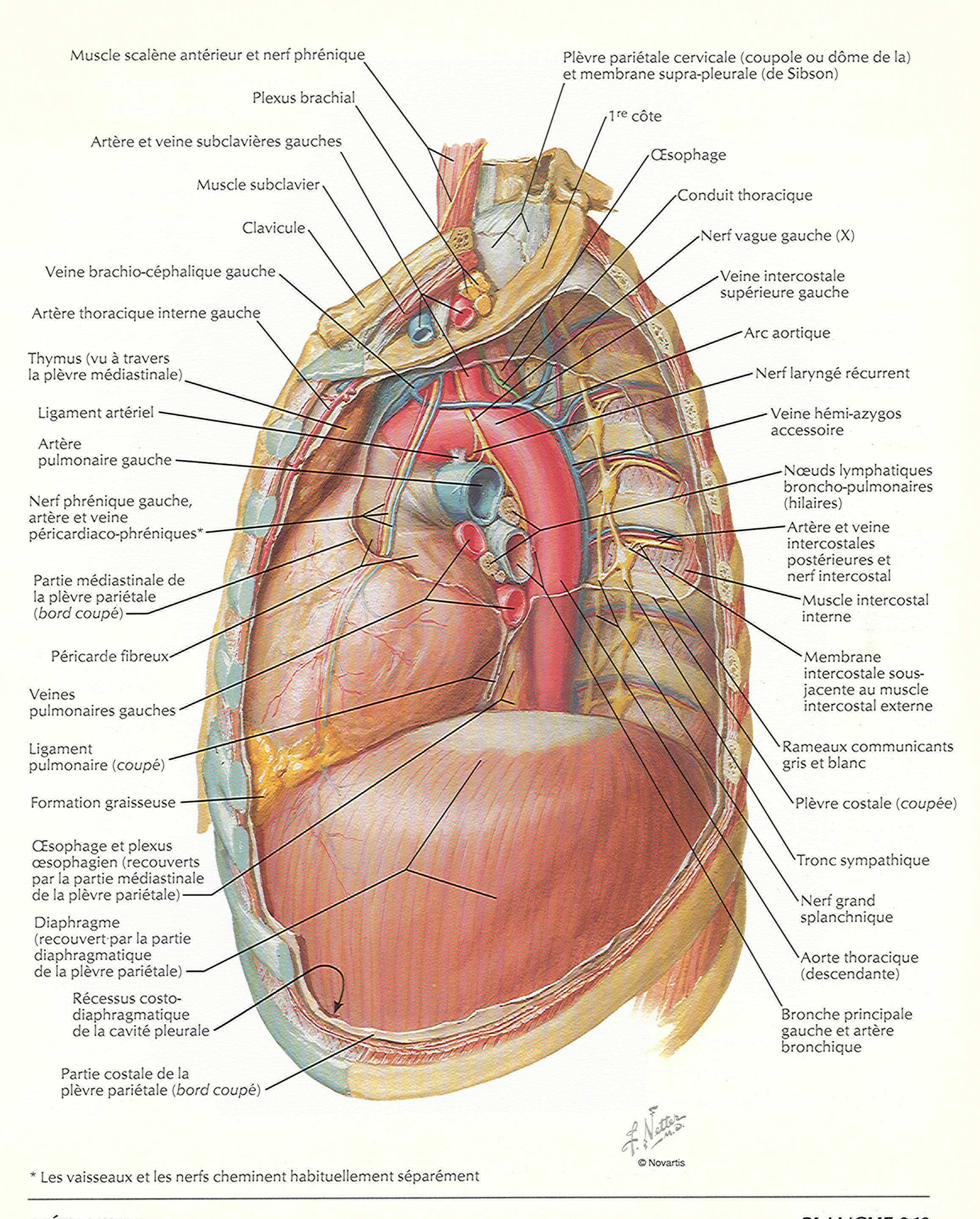
POUR LA PARTIE OBLITÉRÉE DES VAISSEAUX OMBILICAUX, VOIR LA PLANCHE 236





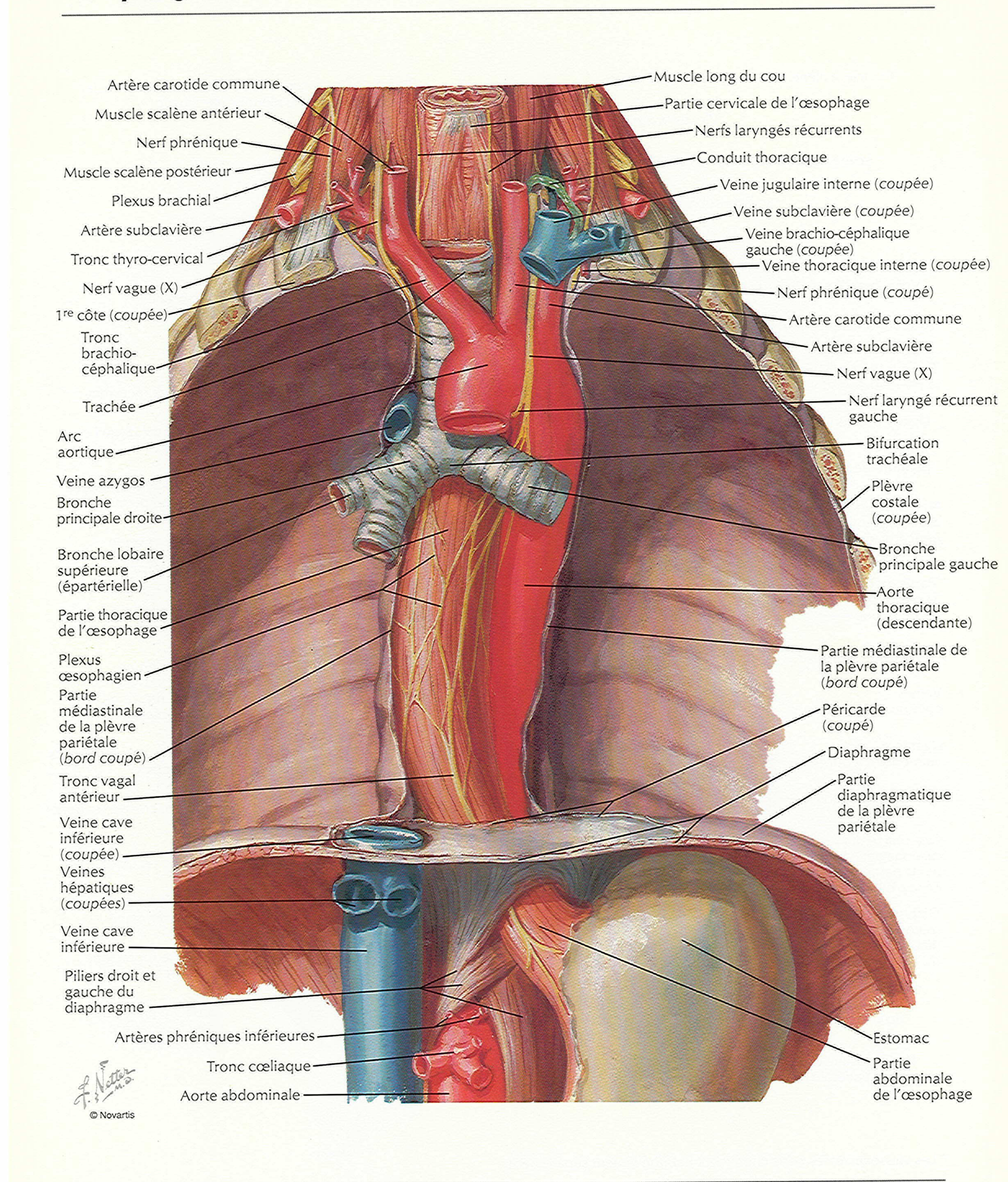
* Les vaisseaux et les nerfs cheminent habituellement séparément

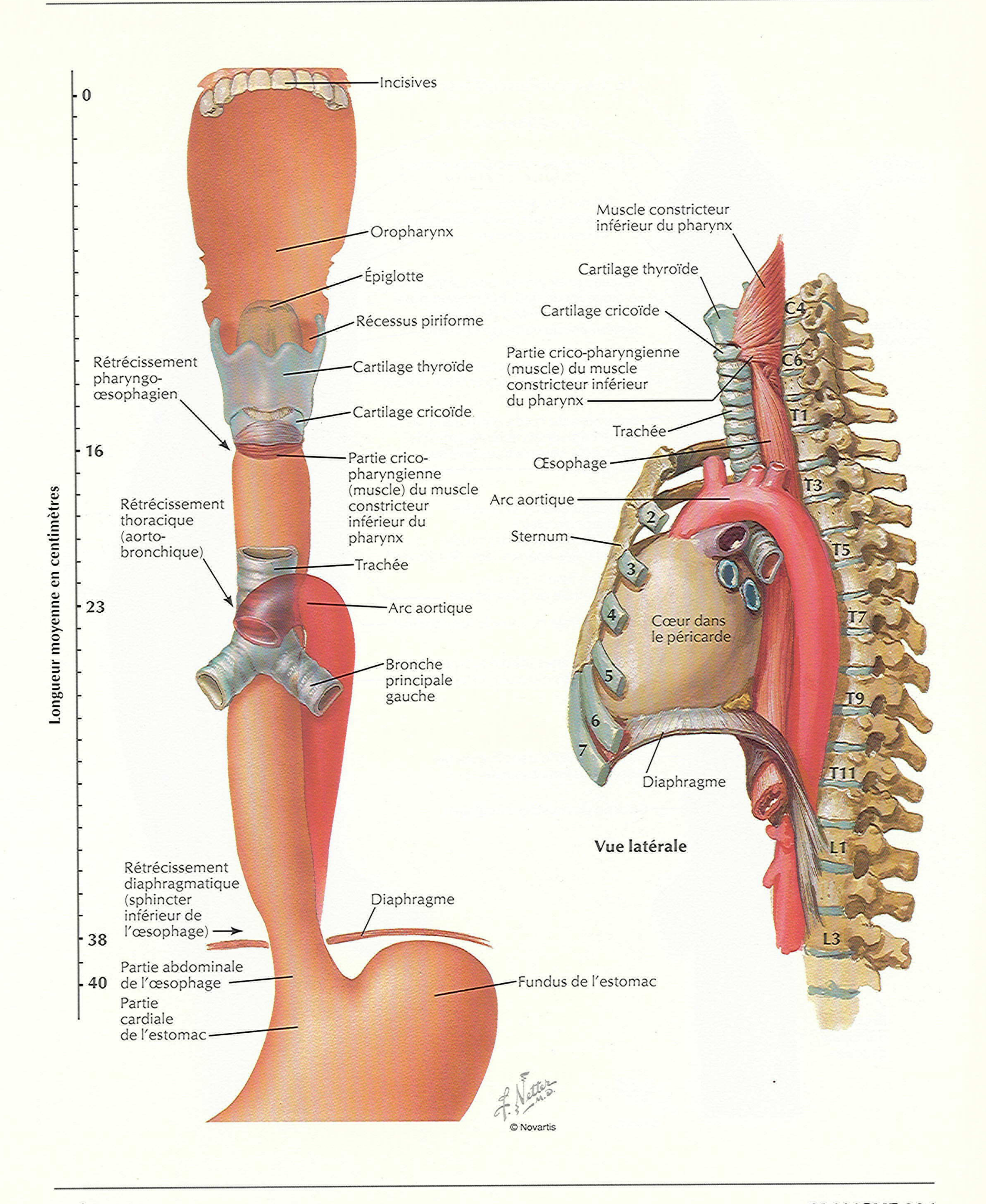
Médiastin : vue latérale gauche



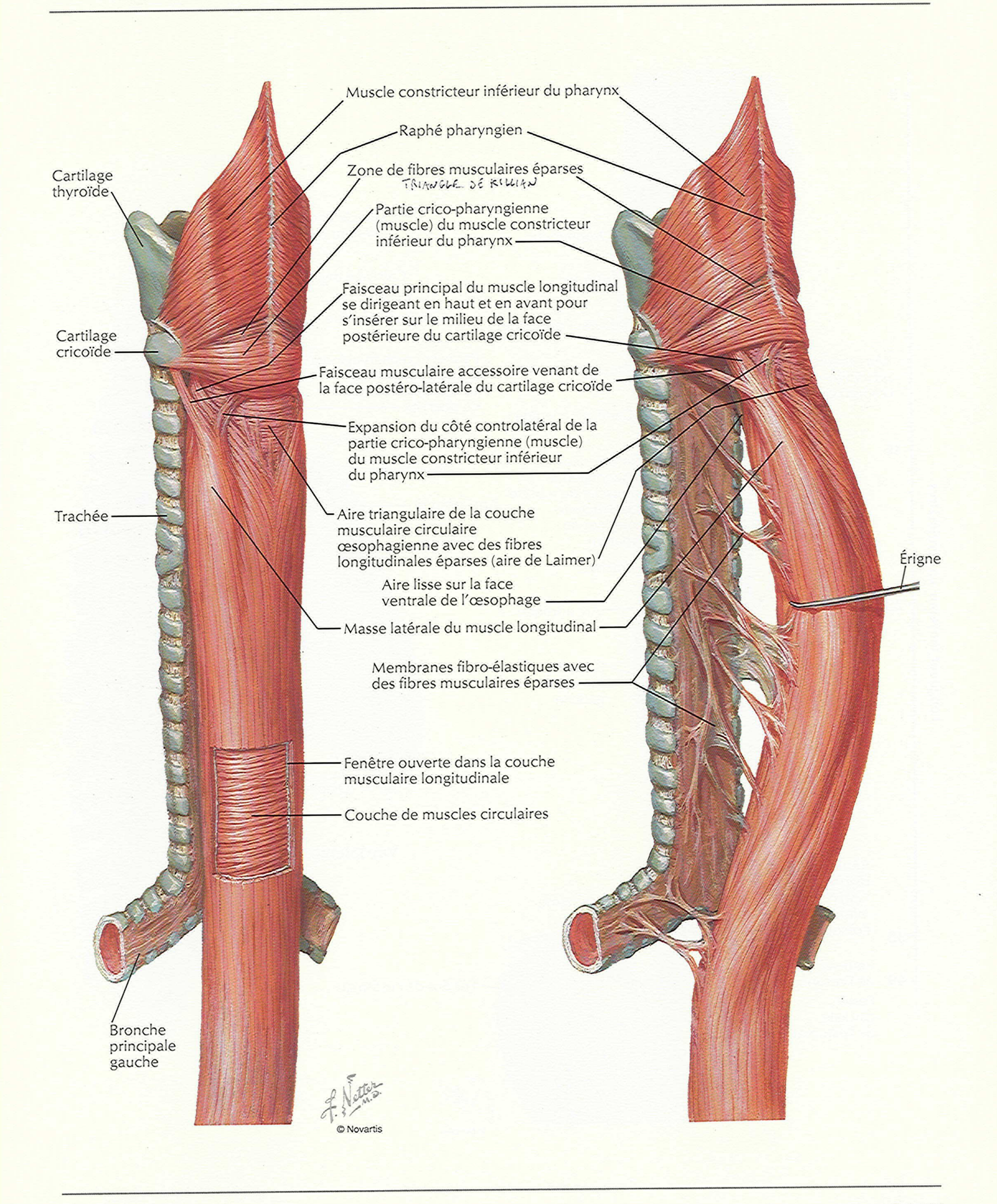
* Les vaisseaux et les nerfs cheminent habituellement séparément

Œsophage in situ

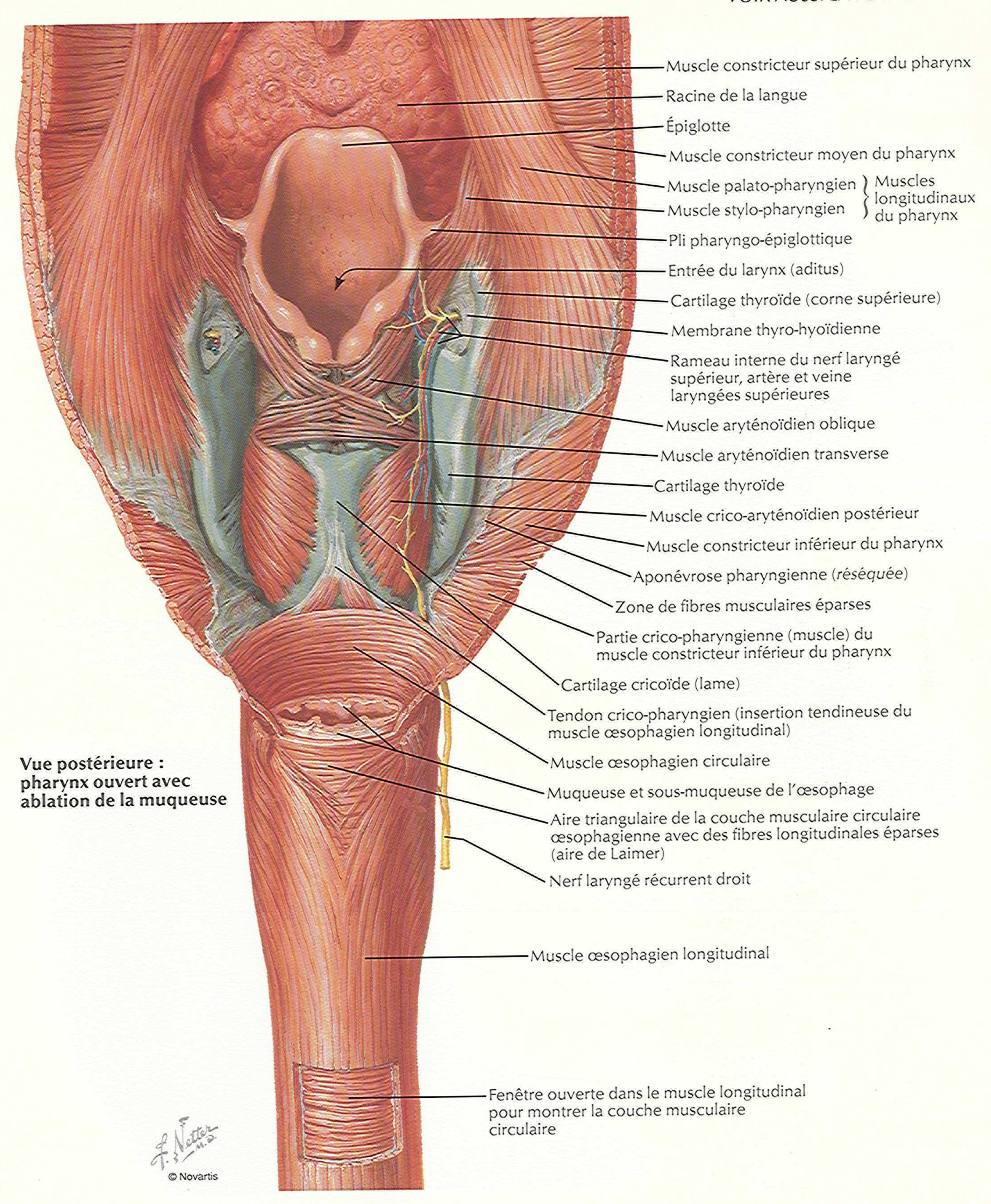



Incisives
0
Oropharynx
Épiglotte
Récessus piriforme
Rétrécissement pharyngo-œsophagien
Cartilage thyroïde
Cartilage cricoïde
16
Partie crico-pharyngienne (muscle) du muscle constricteur inférieur du pharynx
Rétrécissement thoracique (aorto-bronchique)
Trachée
23
Arc aortique
Bronche principale gauche
Longueur moyenne en centimètres
Rétrécissement diaphragmatique (sphincter inférieur de l'œsophage)
Diaphragme
38
Partie abdominale de l'œsophage
40
Partie cardiale de l'estomac
Fundus de l'estomac
Muscle constricteur inférieur du pharynx
Cartilage thyroïde
Cartilage cricoïde
Partie crico-pharyngienne (muscle) du muscle constricteur inférieur du pharynx
Trachée
Œsophage
Arc aortique
Sternum
Cœur dans le péricarde
Diaphragme
C4
C6
T1
T3
T5
T7
T9
T11
L1
L3
2
3
4
5
6
7
Vue latérale
© Novartis

Muscles de l'œsophage

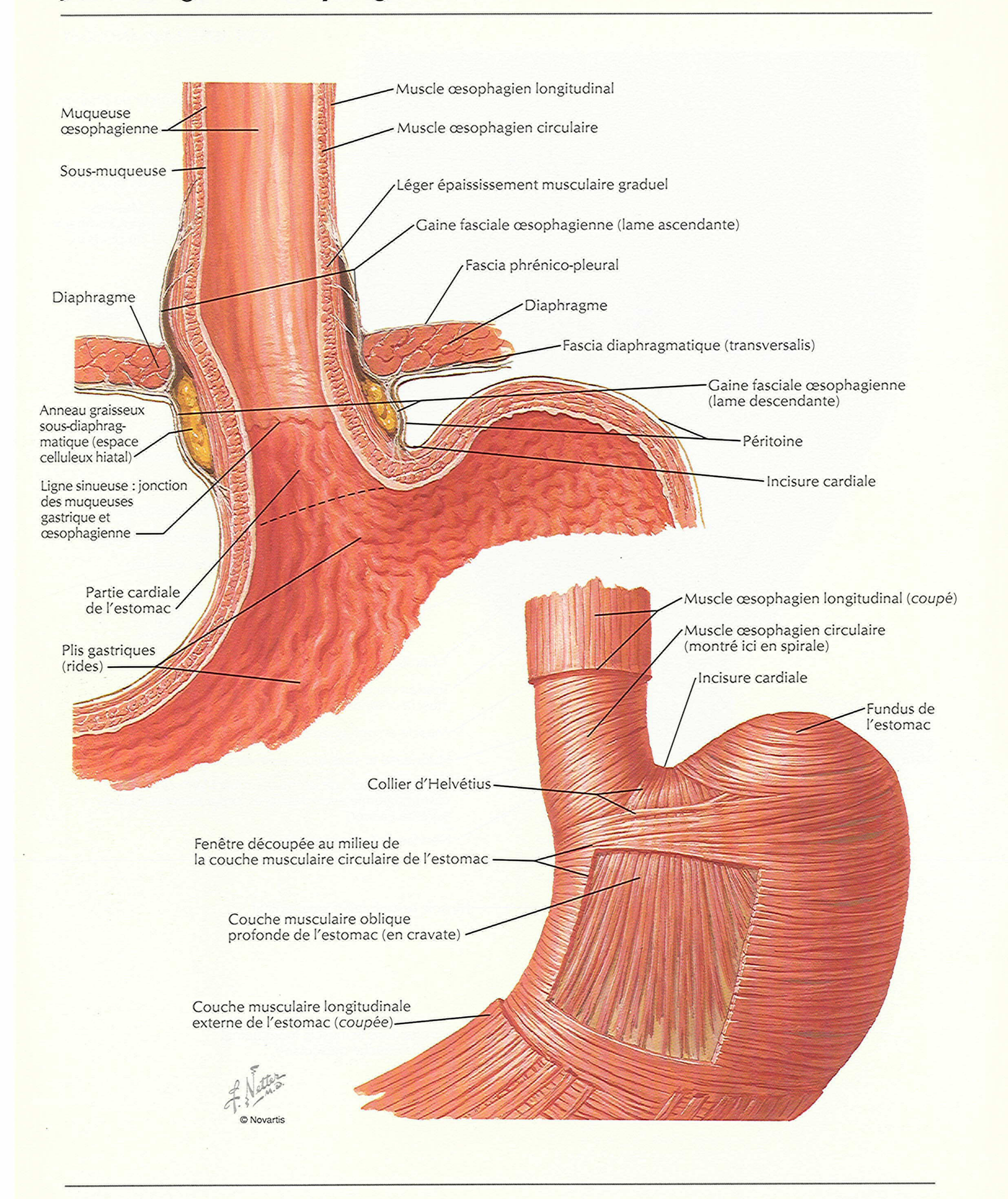


Jonction pharyngo-œsophagienne



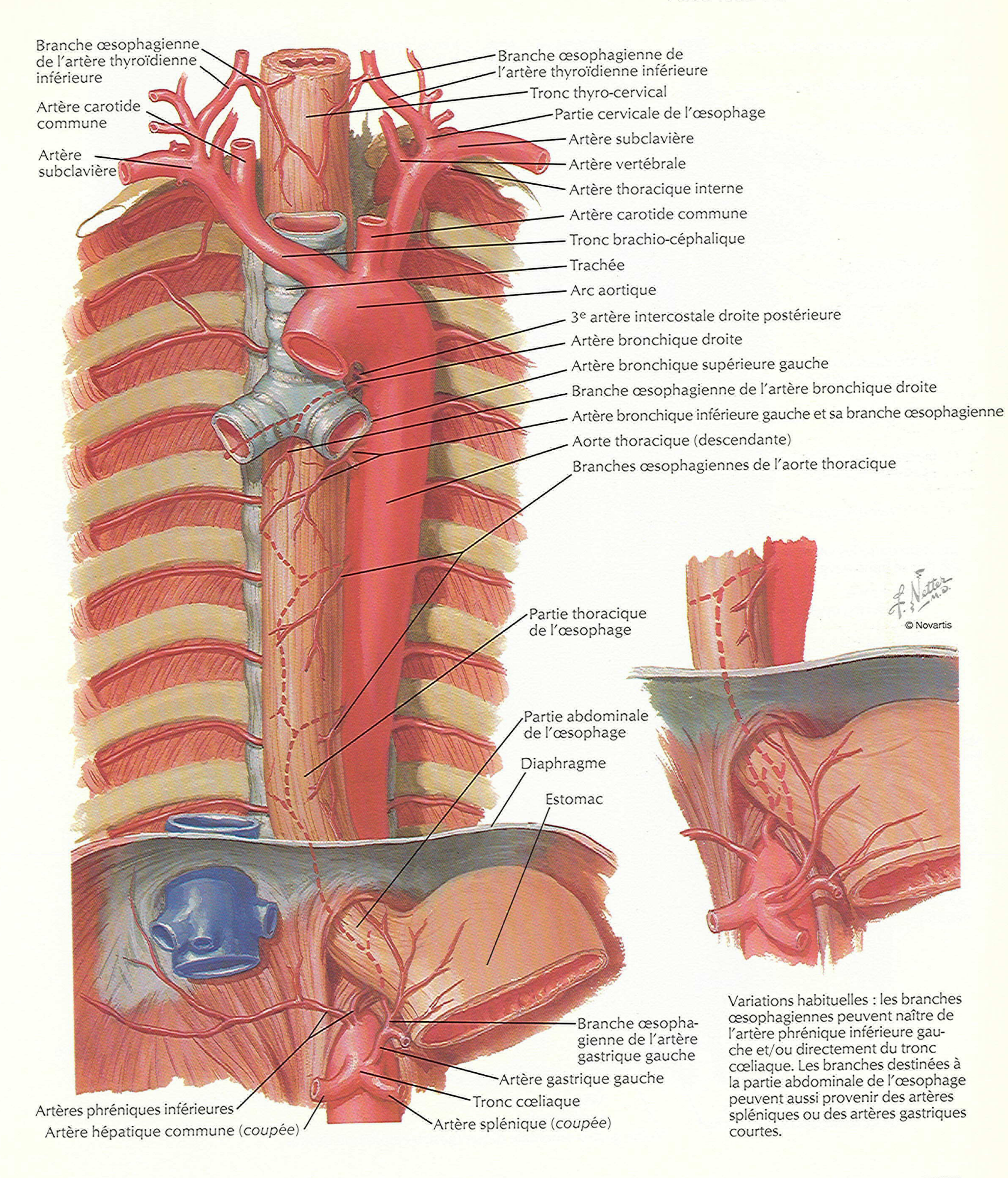
Vue postérieure : pharynx ouvert avec ablation de la muqueuse

Jonction gastro-œsophagienne



Artères de l'œsophage

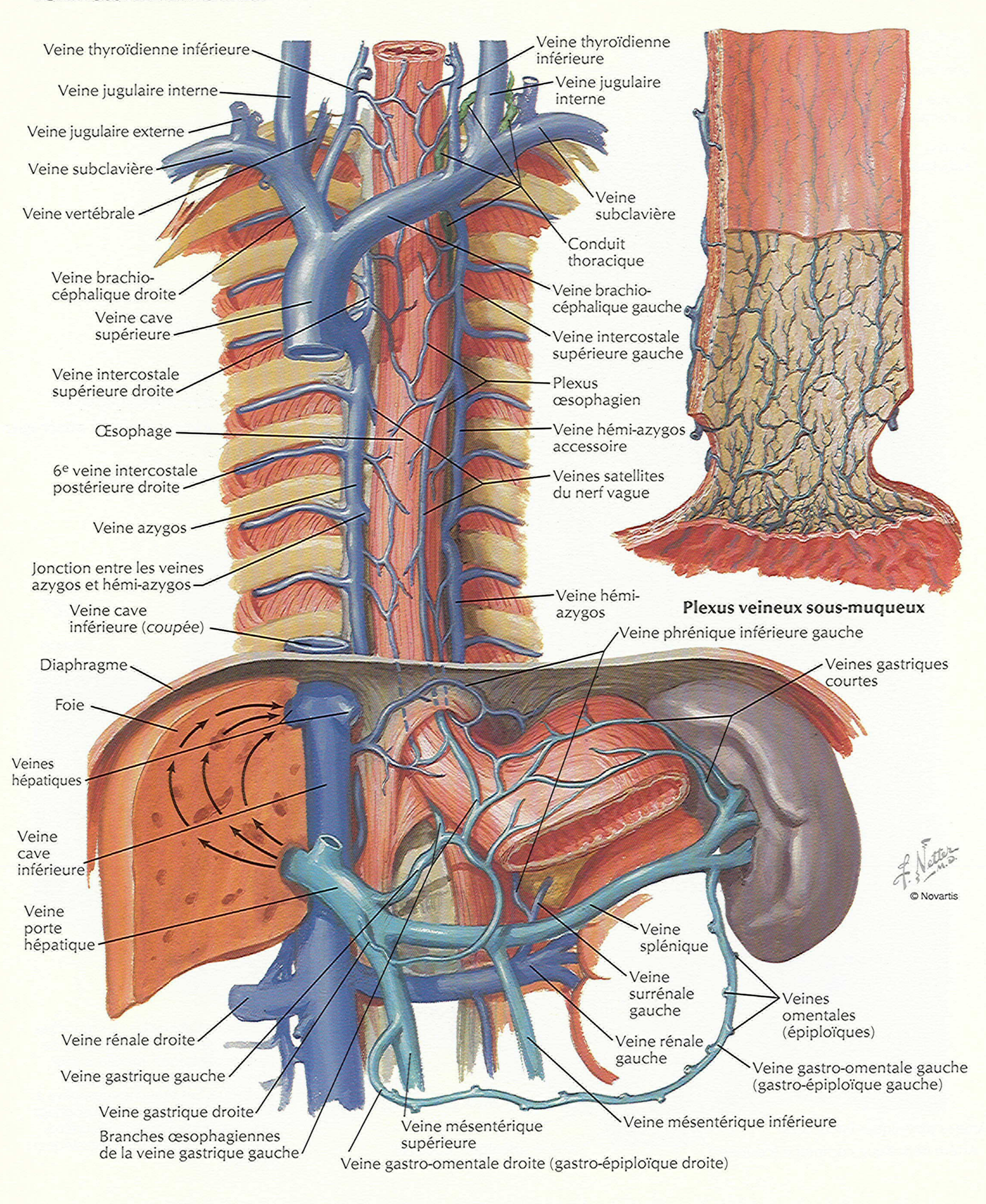
VOIR AUSSI LES PLANCHES 282, 283



Variations habituelles : les branches œsophagiennes peuvent naître de l'artère phrénique inférieure gauche et/ou directement du tronc cœliaque. Les branches destinées à la partie abdominale de l'œsophage peuvent aussi provenir des artères spléniques ou des artères gastriques courtes.

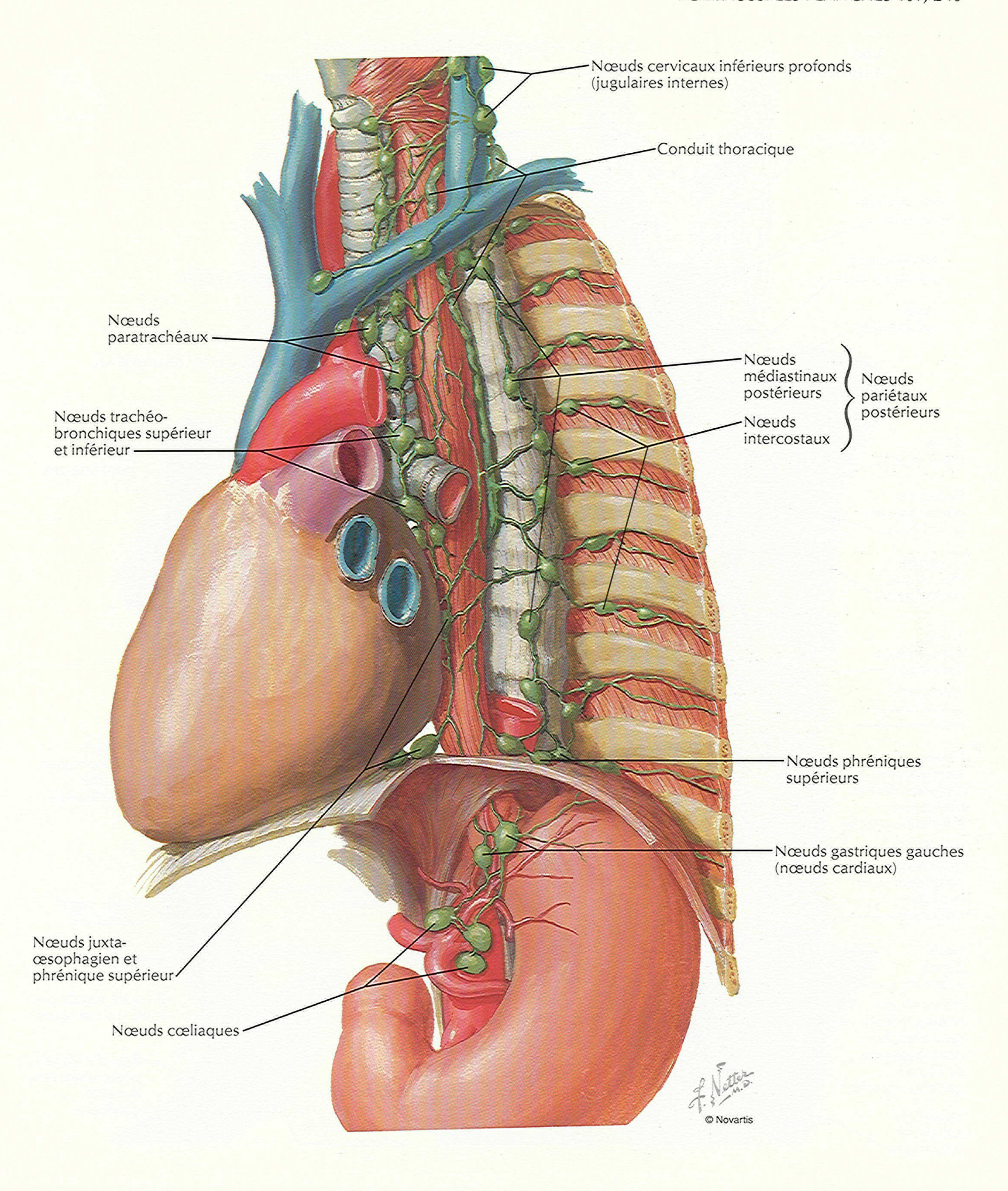
Veines de l'œsophage

VOIR AUSSI LA PLANCHE 297



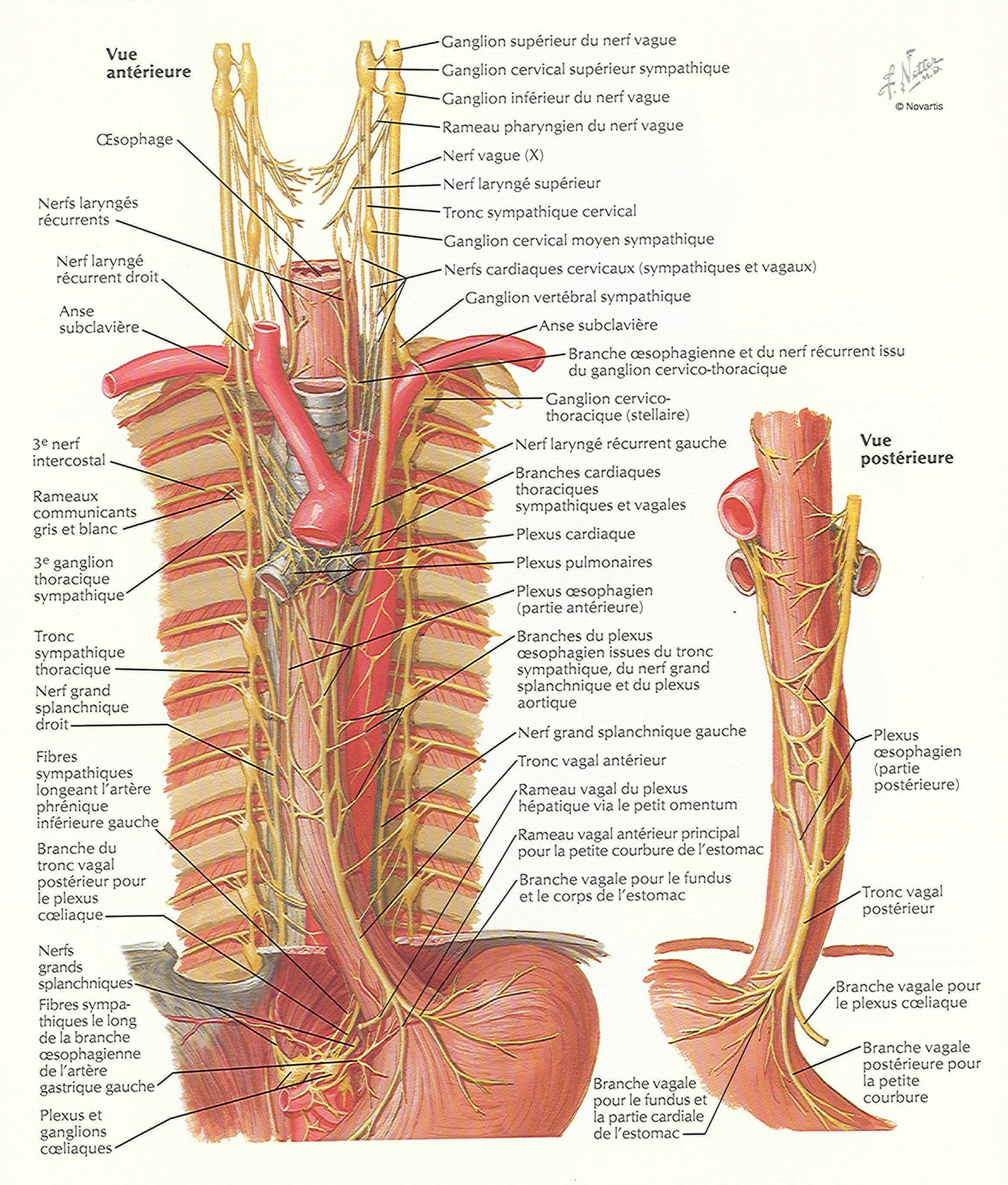
Vaisseaux et nœuds lymphatiques de l'œsophage

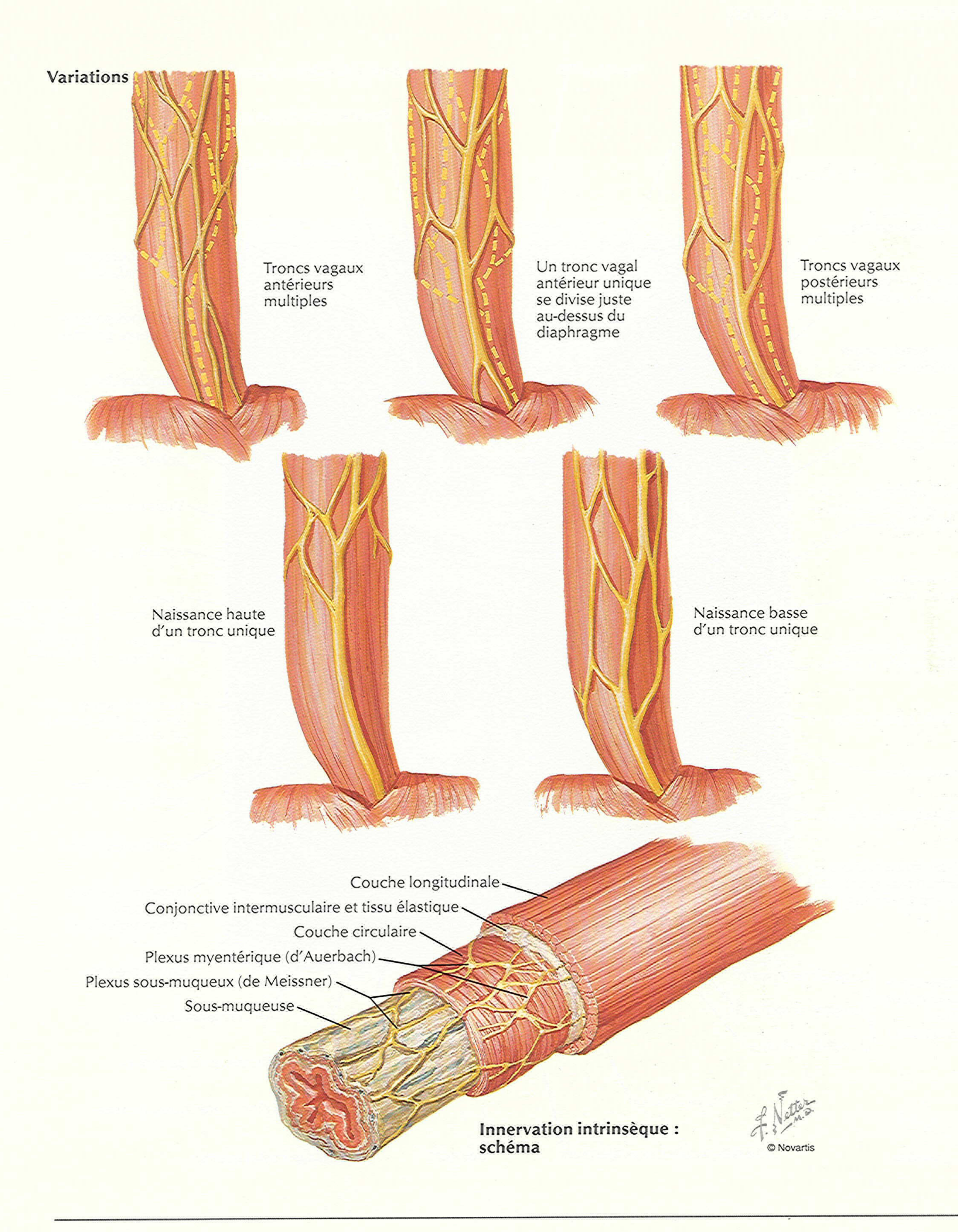
VOIR AUSSI LES PLANCHES 197, 249



Nerfs de l'œsophage

VOIR AUSSI LES PLANCHES 152, 198




Variations
Troncs vagaux antérieurs multiples
Un tronc vagal antérieur unique se divise juste au-dessus du diaphragme
Troncs vagaux postérieurs multiples
Naissance haute d'un tronc unique
Naissance basse d'un tronc unique
Couche longitudinale
Conjonctive intermusculaire et tissu élastique
Couche circulaire
Plexus myentérique (d'Auerbach)
Plexus sous-muqueux (de Meissner)
Sous-muqueuse
Innervation intrinsèque : schéma

Médiastin : coupe transversale (vue supérieure)

VOIR AUSSI LA PLANCHE 516

